

الجمهورية الجزائرية الديمقراطية الشعبية

République Algérienne Démocratique et Populaire

Ministère de L'Enseignement Supérieur et de la Recherche Scientifique



UNIVERSITÉ FERHAT ABBAS - SETIF1

FACULTÉ DE TECHNOLOGIE

THÈSE

Présentée au Département d'électrotechnique

Pour l'obtention du diplôme de

DOCTORAT

Domaine : Sciences et Technologie

Filière: Electrotechnique

Option: Automatique

Par

HACHANI Soufiane

THÈME

**Système de navigation d'un robot mobile
dans un environnement incertain utilisant
la logique floue type 2**

Soutenue le 09 / 07 / 2025 devant le Jury :

ABDELAZIZ Mourad	Professeur	Univ. Ferhat Abbas Sétif 1	Président
NECHADI Emira	MCA	Univ. Ferhat Abbas Sétif 1	Directeur de thèse
SAIT Belkacem	Professeur	Univ. Ferhat Abbas Sétif 1	Examineur
TERKI Nadjiba	Professeur	Univ. Mohamed Khider Biskra	Examineur
MESSAOUDI Abdelhamid	MCA	Univ. Mohamed Khider Biskra	Examineur
BENMAHAMMED Khier	Professeur	Univ. Ferhat Abbas Sétif 1	Invité d'honneur

Remerciements

Au nom de Dieu, le Tout Miséricordieux, le Très Miséricordieux.

Tout d'abord, je rends grâce à Dieu pour ses innombrables bénédictions et pour sa force m'ayant permis d'achever ce travail scientifique.

Mes parents, qui m'ont soutenu avec amour et générosité inébranlable.

Je tiens à exprimer ma sincère gratitude et mes remerciements à tous les membres du jury de soutenance, dont les efforts ont grandement contribué à la réussite de ce travail et à son orientation vers l'excellence :

Abdelaziz Mourad, Président du jury, Professeur à l'Université Ferhat Abbas Sétif 1, pour sa direction scientifique continue et son soutien précieux.

Emira Nechadi, Directrice de thèse, Professeur à l'Université Ferhat Abbas Sétif 1, pour son encadrement académique exceptionnel et ses conseils précieux.

Abdelkacem Sait, Professeur à l'Université Ferhat Abbas Sétif 1, pour ses remarques pertinentes et son grand intérêt pour ce travail.

Nadjiba Terki, Professeur à l'Université Mohamed Khider Biskra, pour son soutien académique et ses contributions scientifiques.

Abdelhamid Messaoudi, Maître de Conférences à l'Université Mohamed Khider Biskra, pour ses remarques enrichissantes et son soutien constant.

Khier Benhammed, Professeur à l'Université Ferhat Abbas Sétif 1, pour sa participation en tant qu'invité d'honneur et son soutien dans ce travail.

Je remercie également le **Dr. Oussama Boutalbi** pour son soutien précieux et ses conseils qui m'ont permis de surmonter de nombreuses difficultés tout au long de mon parcours.

Je tiens également à exprimer ma gratitude infinie envers ma famille, qui a toujours été une source d'inspiration et de soutien matériel et moral tout au long de mes études.

Mon frère et ami, Amine Bouhafs, qui a été mon plus grand soutien, tant sur le plan moral que matériel, et qui a joué un rôle essentiel dans mon parcours académique.

Je termine ces remerciements en exprimant ma profonde reconnaissance à toutes les personnes qui m'ont accompagné et soutenu durant ce parcours, et je prie Dieu de me permettre de rendre à tous leurs efforts.

Soufiane. HACHANI

Sétif, le : 09 / 07 /2025

Tables des matières

	Remerciements	i
	Abstract	ii
	Tables des matières	iv
	Liste des figures	vi
	Introduction générale	1
I.	Robotique et évitement d'obstacles	3
I.1.	Introduction	3
I.2.	Robotique	3
I.2.1.	Définition et histoire des robots.....	3
I.2.2.	Types de robots mobiles.....	6
I.2.2.1.	Robots à roues.....	6
I.2.2.2.	Robots à pattes.....	6
I.2.2.3.	Robots volants.....	6
I.2.2.4.	Robots marins.....	7
I.2.3.	Caractéristiques physiques du robot Pioneer 3-DX.....	7
I.2.4.	Composants principaux du Pioneer 3-DX.....	8
I.2.4.1.	Panneaux supérieurs pliables.....	8
I.2.4.2.	Boutons d'arrêt moteur.....	8
I.2.4.3.	Panneau de contrôle utilisateur.....	9
I.2.4.4.	Composants de communication.....	9
I.2.4.5.	Panneaux d'accès latéraux.....	9
I.2.5.	Caractéristiques principales	9
I.2.5.1.	Capteurs ultrasoniques	9
I.2.5.2.	Plage de détection.....	9

I.2.5.3.	Taux d'échantillonnage.....	10
I.2.5.4.	Moteurs, roues et encodeurs optiques du Pioneer 3-DX.....	10
I.2.6.	Applications dans le Pioneer 3-DX	12
I.2.7.	Les systèmes de sécurité du Pioneer 3-DX.....	12
I.2.7.1.	Système de surveillance de l'AIE (Automate Intelligent Embarqué).....	12
I.2.7.2.	Système d'arrêt d'urgence du moteur.....	12
I.2.7.3.	Protection contre la surcharge de la batterie.....	12
I.3.	Evitement d'obstacles	13
I.3.1.	Introduction à l'évitement d'obstacles dans la robotique mobile	13
I.3.2.	Les principes théoriques de la détection d'obstacles	14
I.3.3.	Les types de capteurs pour la détection d'obstacles dans des environnements dynamiques	14
I.3.3.1.	Capteurs ultrasoniques	14
I.3.3.2.	Capteurs LIDAR (Light Detection and Ranging)	15
I.3.3.3.	Capteurs visuels (caméras)	15
I.3.3.4.	Capteurs infrarouges (IR)	16
I.3.3.5.	Capteurs de proximité (Radar)	16
I.3.4.	Modèles théoriques d'évitement d'obstacles en temps réel	17
I.3.4.1.	Modèle de potentiel artificiel	17
I.3.4.2.	Modèle basé sur les méthodes de planification de trajectoire	17
I.3.4.3.	Approches basées sur l'intelligence artificielle (IA)	18
I.3.4.4.	Modèles basés sur les comportements	18
I.3.5.	L'adaptation du robot aux environnements non structurés	18
I.3.5.1.	Perception dynamique de l'environnement	19
I.3.5.2.	Planification et prise de décision en temps réel	19
I.3.5.3.	Adaptation comportementale	19
I.3.5.4.	Interaction avec des objets mobiles et imprévisibles	20

I.3.5.5.	Gestion des incertitudes et des erreurs de capteurs	20
I.3.6.	Les défis théoriques du contrôle de trajectoire dans des environnements inconnus	20
I.3.6.1.	Incertitude de l'environnement	21
I.3.6.2.	Modélisation de l'environnement dynamique	21
I.3.6.3.	Planification de trajectoire en temps réel	21
I.3.6.4.	Compensation des erreurs de capteurs	21
I.3.6.5.	Gestion de la dynamique des robots.....	22
I.3.6.6.	Optimisation en temps réel	22
I.3.7.	Les facteurs influençant l'efficacité des systèmes d'évitement d'obstacles ..	22
I.3.7.1.	Précision et portée des capteurs	23
I.3.7.2.	Fréquence de mise à jour des données (Taux d'échantillonnage)	23
I.3.7.3.	Algorithmes de traitement des données et de prise de décision	23
I.3.7.4.	Vitesse de déplacement du robot	24
I.3.7.5.	Complexité de l'environnement	24
I.3.7.6.	Erreurs et incertitudes des capteurs	24
I.3.7.7.	Interaction avec des obstacles mobiles	24
I.4.	Conclusion	25
II.	La logique floue et ses applications en robotique	26
II.1.	Introduction	26
II.2.	Contexte historique et origine de la logique floue	27
II.3.	Différence entre logique classique et logique floue.....	27
II.3.1.	Approche des valeurs	28
II.3.2.	Degré d'appartenance	28
II.3.3.	Traitement des incertitudes	29
II.3.4.	Systèmes d'inférence	29
II.3.5.	Exemples	30

II.4.	Importance et avantages de la logique floue	30
II.4.1.	Traitement de l'incertitude	30
II.4.2.	Flexibilité dans la prise de décision	31
II.4.3.	Modélisation des phénomènes complexes	31
II.4.4.	Simplicité des règles	31
II.4.5.	Capacités prédictives et adaptatives	32
II.4.6.	Amélioration de l'expérience utilisateur	32
II.5.	Logique floue de type 1	32
II.5.1.	Définition générale	33
II.5.2.	Caractéristiques principales	33
II.5.2.1.	Fonctions d'appartenance précises	33
II.5.2.2.	Système d'inférence floue	33
II.5.2.2.1.	Fuzzification	34
II.5.2.2.1.1.	Exemple.....	34
II.5.2.2.2.	Inférence	34
II.5.2.2.2.1.	Exemple.....	35
II.5.2.2.3.	Défuzzification	35
II.5.2.2.3.1.	Méthodes (centroïde, max, etc.).....	35
II.5.2.2.3.1.1.	Centre de gravité (Centroid).....	35
II.5.2.2.3.1.1.1.	Exemple.....	36
II.5.2.2.3.1.1.2.	Avantages de la méthode du Centre de Gravité	37
II.5.2.2.3.1.1.3.	Inconvénients de la méthode	37
II.5.2.2.3.1.2.	Méthode du Maximum (Max de la Hauteur).....	37
II.5.2.2.3.1.2.1.	Exemple	38
II.5.2.2.3.1.3.	Comparaison d'autres méthodes.....	39
II.5.2.2.4.	Système basé sur des règles linguistiques	39
II.5.2.2.5.	Applications précises	39

II.5.2.2.6.	Modèle simple et facile à implémenter	39
II.5.2.2.7.	Exemple	40
II.6.	Variables floues et fonctions d'appartenance	40
II.7.	Composants principaux d'un système flou de type 1	41
II.7.1.	Fonctions d'Appartenance	41
II.7.1.1.	Fonction Triangulaire	42
II.7.1.1.1.	Exemple.....	42
II.7.1.2.	Fonction Trapézoïdale	43
II.7.1.3.	Fonction Gaussienne	44
II.7.1.4.	Fonction sigmoïde	45
II.7.1.5.	Calcul des degrés d'appartenance	45
II.7.1.5.1.	Exemple	45
II.7.1.5.2.	Exemples de la fuzzification	46
II.7.1.6.	Importance des Fonctions d'Appartenance	46
II.7.1.6.1.	Représenter les concepts flous.....	47
II.7.1.6.2.	Transformer les données précises en données floues.....	47
II.7.1.6.3.	Faciliter le calcul.....	47
II.7.2.	Base de règles floues	47
II.7.2.1.	Structure d'une règle floue	47
II.7.2.1.1.	Explications des termes.....	48
II.7.2.1.2.	Exemple simple de base de règles floues	48
II.7.2.1.3.	Représentation mathématique des règles floues	48
II.7.2.1.3.1.	Exemple.....	49
II.7.3.	Opérations du moteur d'inférence floue	51
II.7.3.1.	Opération MIN	51
II.7.3.1.1.	Formule mathématique.....	51

II.7.3.1.2.	Exemple.....	51
II.7.3.1.3.	Interprétation.....	51
II.7.3.2.	Opération MAX	52
II.7.3.2.1.	Formule mathématique.....	52
II.7.3.2.1.1.	Exemple	52
II.7.3.2.3.	Interprétation.....	52
II.7.3.3.	Importance des opérations MIN et MAX	52
II.7.3.3.1.	L'Opération MIN (logique floue "ET").....	53
II.7.3.3.2.	L'Opération MAX (logique floue « OÙ »).....	53
II.7.3.4.	Comparaison entre MIN et MAX	53
II.8.	Conclusion	54
III.	Logique floue de type 2	56
III.1.	Introduction.....	56
III.2.	Structure de la LFT2.....	56
III.2.1.	Ensemble de base.....	56
III.2.2.	Fonction d'ensemble flou.....	56
III.3.	Application et exemple	56
III.4.	Limites de la logique floue de type 1.....	56
III.4.1.	Gestion limitée de l'incertitude.....	56
III.4.2.	Risque de sur-simplification.....	57
III.4.3.	Rigidité dans la conception des règles.....	57
III.4.4.	Inadaptation aux incertitudes linguistiques.....	57
III.5.	Motivation pour l'utilisation de la logique floue de type 2.....	57
III.5.1.	Meilleure gestion de l'incertitude.....	57
III.5.2.	Applications dans des environnements incertains	58
III.5.3.	Flexibilité accrue dans la conception des.....	58

III.5.4.	Gestion des incertitudes linguistiques.....	58
III.5.5.	Performance améliorée dans les systèmes complexes.....	58
III.6.	Concepts fondamentaux de la logique floue de type 2.....	58
III.6.1.	Définition mathématique	58
III.6.2.	Composition des Ensembles Floue de Type 2	59
III.6.3.	Visualisation d'un EFT2	59
III.6.4.	Exemple	60
III.6.5.	Avantage de la structure	60
III.7.	Fonctions d'appartenance floues de type 2	60
III.7.1.	Exemple Numérique	61
III.7.2.	Avantages des FAF2	61
III.8.	Types de logique floue de type 2 (générale vs intervalle)	61
III.8.1.	Logique Floue de Type 2 Générale (GT2)	61
III.8.1.1.	Caractéristiques.....	61
III.8.1.2.	Modèle Mathématique.....	62
III.8.2.	Logique Floue de Type 2 par Intervalles (IT2)	62
III.8.2.1.	Caractéristiques.....	62
III.8.2.2.	Modèle Mathématique.....	62
III.8.3.	Comparaison GT2 vs IT2	62
III.8.4.	Exemple	63
III.9.	Modélisation mathématique	64
III.9.1.	Représentation des fonctions d'appartenance floues	64
III.9.1.1.	Fonction d'Appartenance Floue Générale de Type 2	64
III.9.1.2.	Fonction d'Appartenance Floue par Intervalles	64
III.10.	Surface de Fonctions d'Appartenance	65
III.10.1.	Exemple Numérique	65

III.10.2.	Représentation Graphique.....	65
III.11.	Bande d'incertitude (Footprint of Uncertainty, FOU)	65
III.11.1.	Définition	65
III.11.2.	Expression mathématique	66
III.11.2.1.	Fonction d'appartenance supérieure.....	66
III.11.2.2.	Fonction d'appartenance inférieure.....	66
III.11.2.3.	Bande d'incertitude (FOU).....	66
III.11.2.4.	Exemple graphique	66
III.11.3.	Importance du FOU	67
III.11.3.1.	Gestion de l'incertitude.....	67
III.11.3.2.	Robustesse	67
III.11.3.3.	Applications variées.....	67
III.11.4.	Applications pratiques	67
III.11.4.1.	Robotique mobile.....	67
III.11.4.2.	Prise de décision en environnement incertain.....	67
III.12.	Formulation des degrés d'appartenance à deux niveaux	67
III.12.1.	Conception des Degrés d'Appartenance	68
III.12.2.	Applications dans la Navigation des Robots	68
III.12.2.1.	Capteurs incertains.....	68
III.12.2.2.	Planification des trajectoires.....	68
III.13.	Structure d'un système flou de type 2	69
III.13.1.	Fuzzification	69
III.13.1.1.	Objectif.....	69
III.13.1.2.	Processus.....	69
III.13.1.3.	Résultat.....	69
III.13.1.4.	Exemple.....	70

III.13.2.	Inférence	70
III.13.2.1.	Objectif.....	70
III.13.2.2.	Structure des règles.....	70
III.13.2.3.	Processus d'inférence.....	71
III.13.2.3.1.	Évaluation des prémisses.....	71
III.13.2.3.2.	Application des règles.....	71
III.13.2.3.3.	Génération des sorties floues.....	71
III.13.2.4.	Résultat.....	71
III.13.3.	Réduction du Type	71
III.13.3.1.	Objectif.....	72
III.13.3.2.	Processus.....	72
III.13.3.2.1.	Méthodes utilisées.....	72
III.13.3.2.2.	Étapes principales.....	72
III.13.3.3.	Résultat.....	72
III.13.4.	Défuzzification	72
III.13.4.1.	Objectif.....	73
III.13.4.2.	Méthodes courantes.....	73
III.13.4.2.1.	Moyenne pondérée.....	73
III.13.4.2.2.	Centre de gravité (CoG).....	73
III.13.4.3.	Exemple.....	74
III.13.4.4.	Résultat.....	74
III.13.5.	Rôle de la réduction du type	74
III.13.5.1.	Gestion des Incertitudes	74
III.13.5.2.	Simplification des Calculs	74
III.13.5.3.	Défuzzification Fiable	74
III.13.6.	Comparaison avec la structure d'un système flou de type 1	75

III.13.6.1.	Structure des Ensembles Flous Type 1.....	75
III.13.6.2.	Capacité à Gérer l’Incertitude	75
III.13.6.3.	Avantage.....	75
III.13.6.3.1.	Complexité des Calculs	75
III.13.6.3.2.	Défuzzification	76
III.14.	Applications pratiques de la logique floue de type 2.....	76
III.14.1.	Applications en Robotique (Navigation et Évitement d’Obstacles)	76
III.14.1.1.	Navigation autonome.....	76
III.14.1.2.	Évitement d’obstacles.....	76
III.14.1.3.	Applications dans la Prise de Décision en Environnement Incertain	77
III.14.2.	Gestion des risques.....	77
III.14.3.	Systèmes de santé.....	77
III.14.4.	Exemple d’une Étude de Cas : Navigation d’un Robot Mobile	77
III.14.4.1.	Problématique.....	77
III.14.4.2.	Solution.....	77
III.14.4.2.1.	Capteurs intégrés.....	77
III.14.4.2.2.	Planification et évitement.....	77
III.14.4.2.3.	Résultats.....	77
III.15.	Avantages et limites	77
III.15.1.	Avantages par Rapport à la Logique Floue de Type 1	78
III.15.1.1.	Meilleure gestion des incertitudes	78
III.15.1.2.	Flexibilité accrue dans les systèmes dynamiques	78
III.15.1.3.	Applications en fusion de données	78
III.15.2.	Défis d’Implémentation et Coûts de Calcul	78
III.15.2.1.	Complexité algorithmique accrue	78
III.15.2.2.	Consommation des ressources	78

III.15.2.3.	Difficulté de conception des règles	78
III.16.	Outils et algorithmes pour la logique floue de type 2	79
III.16.1.	Méthodes de Réduction du Type (Algorithmes Karnik-Mendel)	79
III.16.1.1.	Algorithme Karnik-Mendel classique.....	79
III.16.1.2.	Algorithme optimisé.....	79
III.16.2.	Outils Logiciels Supportant la Logique Floue de Type 2	79
III.16.2.1.	MATLAB (Fuzzy Logic Toolbox).....	80
III.16.2.2.	Java Fuzzy Logic (Juzzy).....	80
III.16.2.3.	Scilab.....	80
III.16.2.4.	Python (PyIT2FLS).....	80
III.16.3.	Techniques de Simplification des Calculs	80
III.16.3.1.	Approximation avec des ensembles flous intervalaires de type 2 (IT2FS)....	80
III.16.3.2.	Méthodes basées sur des règles simplifiées.....	81
III.16.3.3.	Utilisation de matériel dédié.....	81
III.17.	Conclusion et perspectives	81
IV.	Résultats et discussions	84
IV.1.	Problématique et Objectif du Chapitre	84
IV.1.1.	Problématique	84
IV.1.2.	Objectifs du chapitre	84
IV.1.3.	Importance du chapitre	85
IV.2.	Préliminaires et Formulation du Problème	85
IV.3.	Modèle du Robot Mobile Utilisé dans Notre Travail	86
IV.4.	Modèle Cinématique	87
III.5.	Comportement de navigation libre robot-cible	90
III.5.1.	Structures de base de notre contrôleur floue robot-cible	90
III.5.2.	Organigramme pour simuler la navigation libre d'une cible robot	91

III.5.3.	Fuzzification	92
IV.5.4.	Inférence Basée sur le Tableau	94
IV.5.5.	Défuzzification	96
IV.5.6.	Résultats de simulation	96
IV.5.6.1.	Programme mapper3	97
IV.5.6.2.	Programme MobileSim	97
IV.5.6.3.	Plan générale du programme	99
IV.5.6.4.	Étapes pour exécuter la simulation	100
IV.5.6.5.	Test 1	100
IV.5.6.6.	Conclusion.....	101
IV.6.	Comportement de navigation autonome d'un robot dans un environnement avec obstacles fixes à l'aide de la logique floue de type 2	102
IV.6.1.	Modèle Cinématique	102
IV.6.2.	Structures de contrôleur flou de navigation avec évitement d'obstacle	103
IV.6.3.	Organigramme pour simuler la navigation robot-obstacles-fixes.....	104
IV.6.4.	Fuzzification	106
IV.6.5.	Inférence Basée sur le Tableau	109
IV.6.6.	Défuzzification	110
IV.6.7.	Résultats de simulation	110
IV.6.7.1.	Test-1	110
IV.6.7.2.	Test-2	111
IV.6.7.3.	Test-3	112
IV.6.7.4.	Test-4.....	112
IV.6.5.	Conclusion	115
IV.7.	Validation expérimentale de la navigation robotique en environnement réel	115
IV.7.1.	Test-1	115
IV.8.	Conclusion.....	117

Conclusion générale

119

Liste des figures

I.1-	Robot Unimate 1956.....	4
I.2-	Robot mobile Pioneer 3-DX.....	6
I.3-	Dimensions physiques du robot pioneer 3-DX.....	7
I.4-	Panneaux supérieurs pliables du robot pioneer 3-DX.....	8
I.5-	Ordinateur P3-AT et commandes utilisateur du pioneer 3-DX.....	8
I.6-	Capteur ultrasonique du robot pioneer 3-DX	10
I.7-	Roues du robot pioneer 3-DX	11
II.1-	La différence entre logique classique et logique floue.....	28
II.2 -	Fonction d'appartenance triangulaire.....	42
II.3 -	Fonction d'appartenance trapézoïdale.....	43
II.4 -	Fonction d'appartenance gaussienne.....	44
II.5 -	Fonction d'appartenance sigmoïde.....	45
II.6 -	Exemples d'application de la fuzzification.....	46
II.7 -	Fonctions d'appartenance de la vitesse du ventilateur.....	50
III.1 -	Structure d'un ensemble flou de type-2.....	59
III.2 -	Fonctions d'appartenance floues de type 2	60
III.3-	Logique Floue de Type 2 Générale (GT2).....	63
III.4 -	Logique Floue de Type 2 par Intervalles (IT2).....	63
III.5 -	Ensemble Flou de Type 2 avec Bande d'Incertitude (FOU).....	66
IV.1 -	Un modèle simplifié d'un monocycle comme un robot.....	86
IV.2 -	Représentation géométrique et cinématique d'un robot mobile.....	87
IV.3 -	Structure du contrôleur de navigation robot-cible.....	81

IV.4 -	Organigramme de navigation libre robot-cible.....	92
IV.5 -	Fonctions d'appartenance de D_{rc} (entrée FLC_RC).....	93
IV.6 -	Fonctions d'appartenance de θ_{rc} (les entrée FLC_RC).....	93
IV.7 -	Fonctions d'appartenance de V_g (sortie FLC_RC).....	94
IV.8 -	Fonctions d'appartenance de V_d (sortie FLC_RC).....	94
IV.9 -	Programme mapper3 interface.....	97
IV.10 -	Programme MobileSim interface.....	98
IV.11 -	Navigation libre robot-cible toutes les directions.....	101
IV.12 -	Structure du contrôleur de navigation avec évitement d'obstacle.....	103
IV.13 -	Organigramme de navigation avec évitement d'obstacle.....	105
IV.14 -	Fonctions d'appartenance de D_{ro} (entrée FLC_RO).....	107
IV.15 -	Fonctions d'appartenance de θ_{ro} (entrée FLC_RO).....	107
IV.16 -	Fonctions d'appartenance de V_g (sortie FLC_RO).....	108
IV.17 -	Fonctions d'appartenance de V_d (sortie FLC_RO).....	108
IV.18 -	Navigation avec l'évitement d'obstacle test-1.....	111
IV.19 -	Navigation avec l'évitement d'obstacle forme U test-2.....	111
IV.20 -	Navigation dans le laboratoire LSI-univ-setif test-3.....	112
IV.21 -	Navigation dans le laboratoire LSI univ-setif test-4.....	113
IV.22 -	Coin 1.....	114
IV.23 -	Coin 2.....	114
IV.24 -	Navigation robotique en environnement réel.....	116

Liste des tableaux

II.1 -	Comparaison entre les deux méthodes.....	39
II.2 -	Comparaison entre MIN et MAX.....	54
III.1 -	Comparaison GT2 vs IT2.....	62
III.2 -	Comparaison entre FLC1 et FLC2.....	76
III.3 -	Comparatif des Avantages et Limites.....	79
III.4 -	Comparatif des Outils Logiciels.....	80
IV.1 -	Ensembles de règles floues Robot-Cible FLC_RC.....	95
IV.2 -	Ensembles de règles floues Robot-Obstacle FLC_RO.....	109

Introduction générale

Récemment, le domaine de la robotique a connu une évolution remarquable grâce à l'intégration de technologies intelligentes et autonomes. Parmi les avancées les plus significatives, on note le développement de robots mobiles capables d'intervenir dans des environnements variés et complexes. Cette tendance s'explique par la multiplication des applications potentielles des machines intelligentes, notamment dans les secteurs industriel, médical, agricole, ou encore dans les missions de sauvetage. Les robots sont ainsi sollicités pour exécuter des tâches difficiles, gagner du temps ou encore accomplir des missions dangereuses, voire impossibles pour l'homme, telles que la plongée sous-marine, l'exploration aérienne, l'accès à des espaces confinés, ou l'intervention dans des zones sinistrées [1–31].

Malgré les progrès réalisés, l'un des défis majeurs auxquels sont confrontés les robots mobiles reste la navigation autonome, en particulier dans des environnements incertains, dynamiques ou partiellement inconnus. Cette navigation nécessite une capacité d'adaptation continue aux changements de l'environnement, sans intervention humaine. Les systèmes de navigation classiques souffrent encore de limitations importantes : forte dépendance à la modélisation de l'environnement, lourdeur computationnelle, et difficulté d'adaptation aux situations imprévues [32] – [82]. Cela pose la question suivante : comment concevoir un système de navigation robuste, flexible et intelligent permettant à un robot mobile d'éviter les obstacles dans un environnement incertain en temps réel ?

L'objectif principal de ce travail est de développer une approche de navigation autonome basée sur la logique floue de type 2 (Type-2 Fuzzy Logic), permettant au robot mobile de se déplacer de manière sûre et efficace en évitant les obstacles dans des environnements incertains. Cette approche vise à améliorer la prise de décision du robot en intégrant des mécanismes de gestion de l'imprécision et de l'ambiguïté présentes dans les données sensorielles [83].

Afin d'atteindre cet objectif, une architecture de contrôle comportementale fondée sur la logique floue de type 2 a été adoptée. Cette méthode repose sur des systèmes d'inférence flous capables de modéliser les incertitudes et de générer des trajectoires sûres pour le robot. Le système proposé est évalué à travers des simulations numériques ainsi que des tests pratiques

sur un robot mobile réel (Pioneer 3-DX), En comparant les résultats de la simulation avec ceux des expériences réalisées en conditions réelles [84]-[120].

Cette thèse est structurée en quatre chapitres principaux :

Chapitre 1 : Robotique mobile et évitement d'obstacles

Présente les concepts fondamentaux de la robotique mobile avec un focus sur le robot Pioneer 3-DX, les capteurs utilisés (ultrasons, LIDAR, caméras), ainsi que les algorithmes actuels de planification de trajectoire et d'évitement d'obstacles.

Chapitre 2 : La logique floue et ses applications en robotique

Introduit la logique floue de type 1 comme outil de gestion de l'incertitude dans les systèmes robotiques, en mettant en évidence ses applications dans la prise de décision et le contrôle adaptatif.

Chapitre 3 : La logique floue de type 2

Décrit les fondements théoriques de la logique floue de type 2 et ses avantages dans la modélisation de l'incertitude complexe, particulièrement en robotique mobile.

Chapitre 4 : Résultats et discussions

Présente les résultats obtenus à travers les simulations et les expérimentations, ainsi qu'une analyse comparative des performances, les limites du système proposé et les perspectives d'amélioration futures.

En somme, cette recherche s'inscrit dans une démarche visant à améliorer les capacités décisionnelles et adaptatives des robots mobiles dans des environnements incertains. L'intégration de la logique floue de type 2 représente une solution prometteuse pour surmonter les limitations des approches classiques. Les chapitres suivants détailleront les fondements théoriques, la méthodologie mise en œuvre ainsi que les résultats expérimentaux de cette étude.

I. Robotiques et évitement d'obstacles

I.1. Introduction :

L'évitement d'obstacles constitue un défi majeur dans le domaine de la robotique, en particulier pour les robots mobiles autonomes évoluant dans des environnements complexes et dynamiques. La capacité à détecter et à éviter les obstacles en temps réel est essentielle pour assurer la sécurité du robot, la précision de ses déplacements et son efficacité dans l'exécution de tâches variées. Cette technologie est d'autant plus cruciale dans des applications telles que la navigation autonome, la robotique de service, ou encore l'intervention dans des environnements dangereux ou difficiles d'accès. L'évolution des capteurs, des algorithmes de traitement de données et des systèmes de commande a permis des progrès significatifs dans ce domaine. Dans ce chapitre, nous avons abordé les concepts liés aux robots, en mettant particulièrement l'accent sur le robot utilisé dans notre étude ainsi que sur les techniques d'évitement d'obstacles.

I.2. Robotique :

I.2.1. Définition et histoire des robots :

La robotique est un domaine multidisciplinaire qui comprend la conception, la construction, le fonctionnement et l'utilisation de robots. Un robot peut être défini comme un système autonome ou semi-autonome, capable d'effectuer des tâches complexes, remplaçant parfois les humains dans des environnements dangereux ou inaccessibles. L'objectif principal des robots est d'effectuer des opérations qui nécessitent des capacités humaines, comme manipuler des objets, naviguer dans des environnements complexes ou effectuer des tâches de manière autonome. Les robots modernes sont souvent équipés de capteurs (comme la vision ou la détection de proximité), d'actionneurs pour se déplacer ou interagir avec leur environnement, et de systèmes de contrôle qui leur permettent de s'adapter aux changements de leur environnement [127].

L'histoire des robots remonte à l'Antiquité. Les premiers automates, machines capables d'effectuer des actions de manière indépendante, ont été conçus par des inventeurs tels qu'Archytas de Tarente, qui a créé un oiseau mécanique propulsé à la vapeur, ou Hiéron

d'Alexandrie, qui a conçu plusieurs appareils utilisant de la vapeur et de l'air comprimé pour effectuer des tâches automatiques dans son pays. Thèse Pneumatique [128], [131].

Bien que ces inventions soient innovantes pour leur époque, elles ne sont pas considérées comme des robots modernes, car il s'agit avant tout de mécanismes simples.

Le terme « robot » apparaît pour la première fois en 1920 dans la pièce R.U.R. (Rossum's Universal Robots) de Karel Čapek, mais son frère Josef Čapek en est le véritable inventeur, d'après une lettre de Karel au Oxford English Dictionary, citant robota (labeur forcé) comme origine. La pièce a été jouée pour la première fois en janvier 1921 et le mot s'est rapidement répandu dans la langue anglaise dès 1923 [129].

Le premier véritable robot industriel (Figure I.1) ; fut le bras robotique Unimate, inventé par George C. Devol (brevet déposé en 1954, accordé en 1961) et commercialisé avec Joseph F. Engelberger via la société Unimation. Bien que développé en 1956, il fut installé pour la première fois en 1961 dans l'usine Ternstedt de General Motors à Ewing, New Jersey, pour extraire des pièces d'un moule de fonderie et les déposer dans des bains de refroidissement. Cet événement marque le début de l'automatisation industrielle moderne [132].

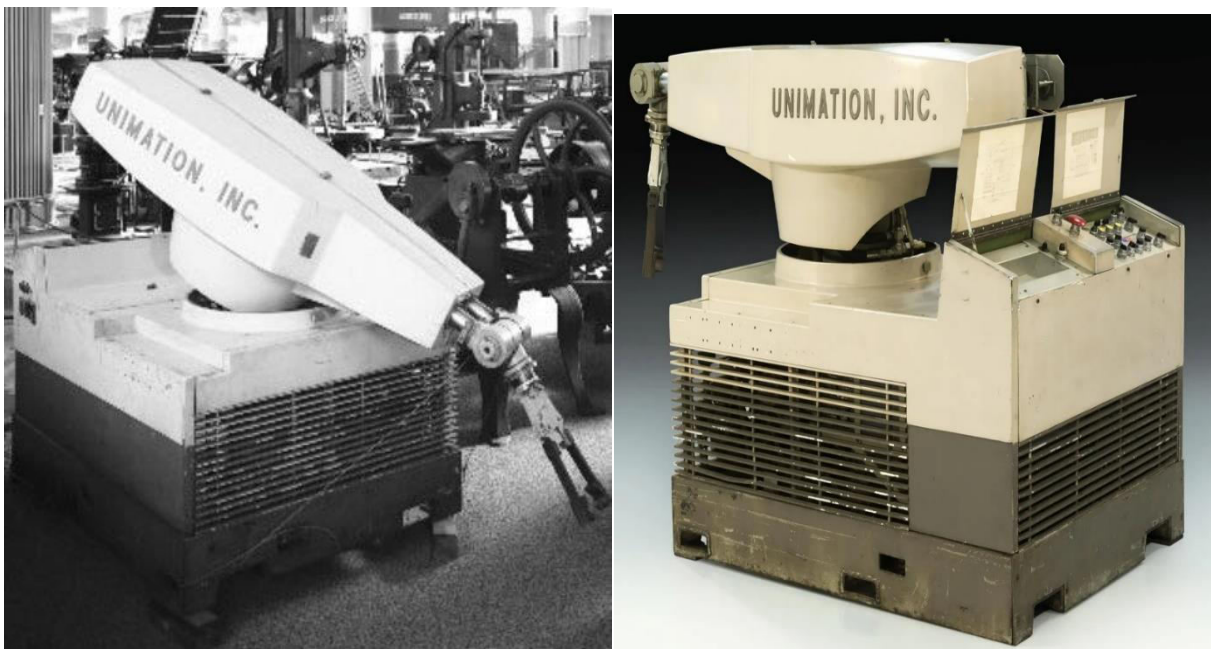


Figure I.1 - Robot Unimate 1956

Au cours des décennies suivantes, la robotique a évolué pour inclure des applications dans divers domaines, tels que la médecine et l'exploration spatiale. Par exemple, les robots

chirurgicaux, comme le système Da Vinci, ont permis des interventions plus précises et moins invasives. Parallèlement, la NASA a déployé des rovers robotiques, tels que Spirit et Opportunity, à la surface de Mars dans les années 2000, pour explorer la planète rouge et transmettre des données importantes sur l'environnement martien [75].

Aujourd'hui, la robotique continue d'évoluer à un rythme rapide, intégrant des technologies avancées telles que l'intelligence artificielle, l'apprentissage automatique et la vision par ordinateur. Ces avancées permettent aux robots d'effectuer des tâches de plus en plus complexes. Les véhicules autonomes, par exemple, sont des robots capables de se déplacer sans intervention humaine, utilisant des algorithmes complexes pour interpréter les données des capteurs et planifier leurs trajectoires de manière optimale. De plus, les progrès de la robotique mobile permettent désormais de développer des robots capables d'interagir de manière autonome avec leur environnement, sans avoir besoin de lignes de contrôle prédéfinies [133]-[142].

Les systèmes de navigation robotique jouent un rôle fondamental dans la mobilité autonome des robots, leur permettant de se déplacer de manière sûre et efficace dans des environnements complexes et parfois incertains. Ces systèmes reposent sur des algorithmes avancés qui intègrent la perception de l'environnement, la planification des trajectoires et le contrôle en temps réel. L'un des défis majeurs est la gestion de l'incertitude due à l'imprécision des capteurs, aux obstacles imprévus ou aux changements soudains dans l'environnement. Pour surmonter ces difficultés, les approches classiques basées sur des modèles déterministes ont été complétées par des approches probabilistes et par l'introduction de la logique floue. Ces approches permettent une prise de décision plus robuste dans des environnements dynamiques [81]. Par ailleurs, l'essor de l'intelligence artificielle et de l'apprentissage automatique a permis d'améliorer les capacités de navigation autonome, notamment dans les domaines de la robotique mobile et des véhicules autonome. Des exemples notables incluent les robots de livraison autonomes, les robots d'inspection industrielle et les rovers martiens déployés par la NASA. Ces avancées technologiques ouvrent la voie à de nouvelles applications dans les domaines de la logistique, de l'exploration spatiale et de la mobilité urbaine [143] – [146].

Dans cette thèse, le robot Pioneer 3-DX (Figure I.2) ; a été choisi comme plateforme de recherche pour développer et valider un système de navigation avancé avec évitement d'obstacles dans un environnement incertain. Ce choix repose sur sa large utilisation académique et industrielle, sa compatibilité avec divers capteurs et outils de développement,

ainsi que son intégration avec des environnements de simulation comme ROS. Le Pioneer 3-DX est équipé de capteurs à ultrasons, de caméras et de lidars, facilitant la perception de l'environnement et l'évitement d'obstacles. Il a fait ses preuves dans de nombreuses études sur la navigation robotique, notamment pour la planification de trajectoires et l'évitement d'obstacles dans des environnements partiellement observables [147] – [148].

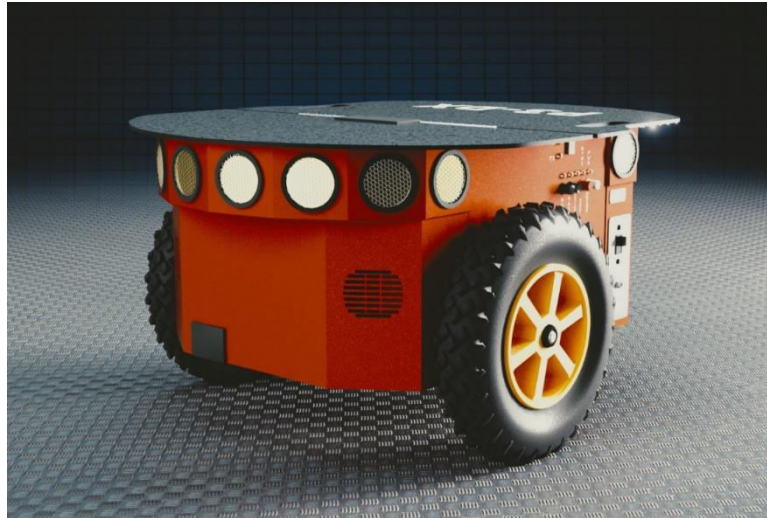


Figure I.2 - Robot mobile Pioneer 3-DX

I.2.2. Types de robots mobiles :

Les robots mobiles peuvent être classés en fonction de leur mode de déplacement :

I.2.2.1. Robots à roues :

Comme le robot Pioneer 3-DX, qui utilise des roues offrant une mobilité rapide sur des surfaces planes. Ces robots sont souvent utilisés dans des environnements intérieurs, comme les usines ou les hôpitaux [1] - [7], [10], [13].

I.2.2.2. Robots à pattes :

Inspirés des animaux, ces robots sont conçus pour naviguer dans des environnements accidentés où les roues sont inefficaces [65], [68].

I.2.2.3. Robots volants :

Plus communément appelés drones, ils sont utilisés dans des missions nécessitant une vue aérienne ou un accès à des endroits difficiles [16] - [17].

I.2.2.4. Robots marins :

Dédiés aux explorations sous-marines, ils sont essentiels pour la recherche océanographique et la surveillance environnementale [72], [78].

I.2.3. Caractéristiques physiques du robot Pioneer 3-DX :

Le robot Pioneer 3-DX présente des caractéristiques physiques qui le rendent adapté aux environnements de recherche, éducatifs et industriels. Sa structure en aluminium allie légèreté et robustesse, permettant une navigation aisée dans des espaces confinés [128].

- Poids total : 9 kg avec une seule batterie.
- Capacité de charge utile : Jusqu'à 23 kg.

La légèreté du robot facilite son déploiement rapide et améliore son efficacité énergétique, ce qui est crucial pour les expérimentations sur le terrain. Sa capacité à transporter jusqu'à 23 kg de charge utile permet l'ajout d'équipements comme des capteurs, des caméras ou des dispositifs de communication, élargissant ainsi ses possibilités d'application [146] – [148].

Les dimensions du robot Pioneer 3-DX sont les suivantes :

- Longueur : 45.5 cm.
- Largeur : 38.1 cm.
- Hauteur : 23.7 cm.

Ces dimensions (Figure I.3) compactes permettent au Pioneer 3-DX de naviguer dans des environnements encombrés et de passer par des passages étroits. La faible hauteur du robot contribue à sa stabilité, réduisant les risques de renversement lors de déplacements dans des environnements complexes tels que les laboratoires, les usines de production ou les salles de formation [157 - 159].

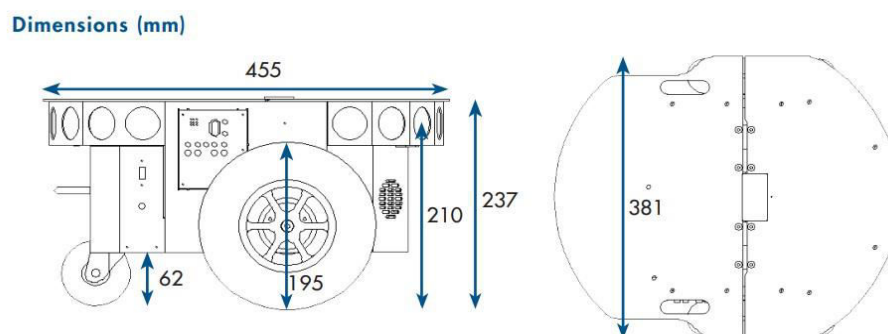


Figure I.3 - Dimensions physiques du robot pioneer 3-DX

I.2.4. Composants principaux du Pioneer 3-DX :

Le robot Pioneer 3-DX est équipé de plusieurs composants essentiels qui assurent sa performance, sa sécurité et sa facilité d'utilisation dans des environnements variés.

I.2.4.1. Panneaux supérieurs pliables :

Ces panneaux (Figure I.4) offrent un accès rapide et facile aux composants internes, simplifiant la maintenance et les ajustements. Ils sont fabriqués à partir de matériaux robustes, garantissant une protection efficace contre la poussière, les chocs et la surchauffe, tout en permettant une ventilation adéquate. Leur conception compacte et optimisée permet de maximiser l'espace interne du robot [146] – [148].

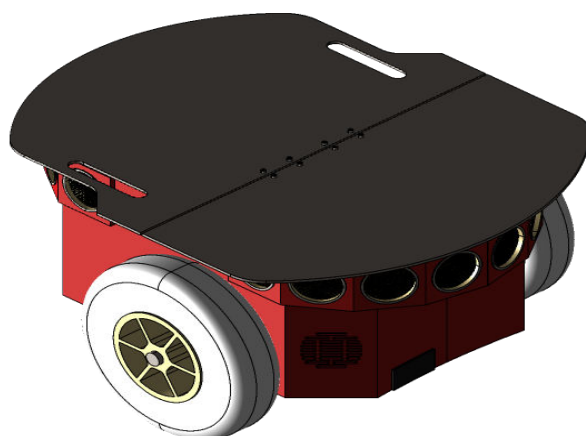


Figure I.4 - Panneaux supérieurs pliables du robot pioneer 3-DX

I.2.4.2. Boutons d'arrêt moteur :

Placés de manière stratégique, ces boutons (Figure I.5) ; permettent de désactiver rapidement les moteurs en cas d'urgence, garantissant ainsi la sécurité des opérateurs et de l'environnement de travail. Leur accessibilité et leur robustesse assurent une intervention rapide dans des situations critiques [146] – [148].

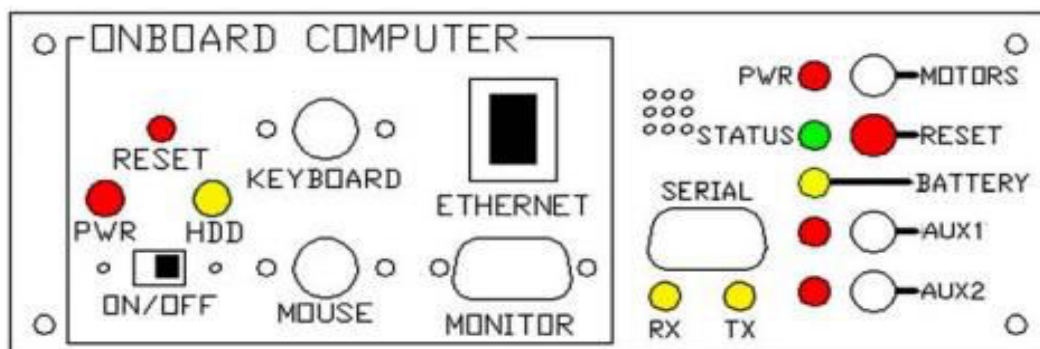


Figure I.5 - Ordinateur P3-AT et commandes utilisateur du pioneer 3-DX

I.2.4.3. Panneau de contrôle utilisateur :

Le panneau de contrôle (Figure I.5), est équipé de voyants LED indiquant l'état du robot (alimentation, statut, batterie) et d'un buzzer pour signaler les alertes importantes. Il inclut également plusieurs boutons essentiels, comme ceux pour l'alimentation des connecteurs et la réinitialisation du microcontrôleur. Ce panneau permet une gestion intuitive des fonctions critiques et assure une surveillance en temps réel de l'état du robot [146] – [148].

I.2.4.4. Composants de communication :

Le port série RS-232 (Figure 1.5), permet une communication bidirectionnelle entre le robot et un ordinateur externe, facilitant les mises à jour et les diagnostics. Il partage des fonctionnalités avec le port HOST pour connecter des périphériques externes [146] – [148].

I.2.4.5. Panneaux d'accès latéraux :

Ces panneaux amovibles permettent l'ajout de connecteurs supplémentaires pour l'intégration d'écrans, claviers ou autres périphériques. Sur les modèles AT, un panneau supérieur offre un accès direct au panneau de contrôle et aux commandes internes [146] – [148].

En résumé, ces composants sont conçus pour améliorer la flexibilité, la durabilité et la facilité de maintenance du Pioneer 3-DX, en faisant une plateforme idéale pour des applications de recherche et industrielles, tout en garantissant la sécurité et l'efficacité des opérations.

I.2.5. Caractéristiques principales :

I.2.5.1. Capteurs ultrasoniques :

Le robot Pioneer 3-DX est équipé de 16 capteurs ultrasoniques disposés uniformément sur son châssis (Figure I.6), avec un angle de 22,5 degrés entre chaque capteur, garantissant ainsi une couverture complète à 360 degrés pour naviguer dans des environnements complexes [146] – [148].

I.2.5.2. Plage de détection :

- Distance minimale détectable : 10 cm.
- Distance maximale détectable : plus de 4 mètres.

- Ces spécifications permettent une détection précise des obstacles à différentes distances, améliorant ainsi la capacité d'adaptation du robot [146] – [148].

I.2.5.3. Taux d'échantillonnage :

- Fréquence de mesure : 25 Hz par capteur.
- Temps d'acquisition : 40 ms par lecture.
- Ces paramètres garantissent une réactivité élevée et une adaptation en temps réel à l'environnement [146] – [148].

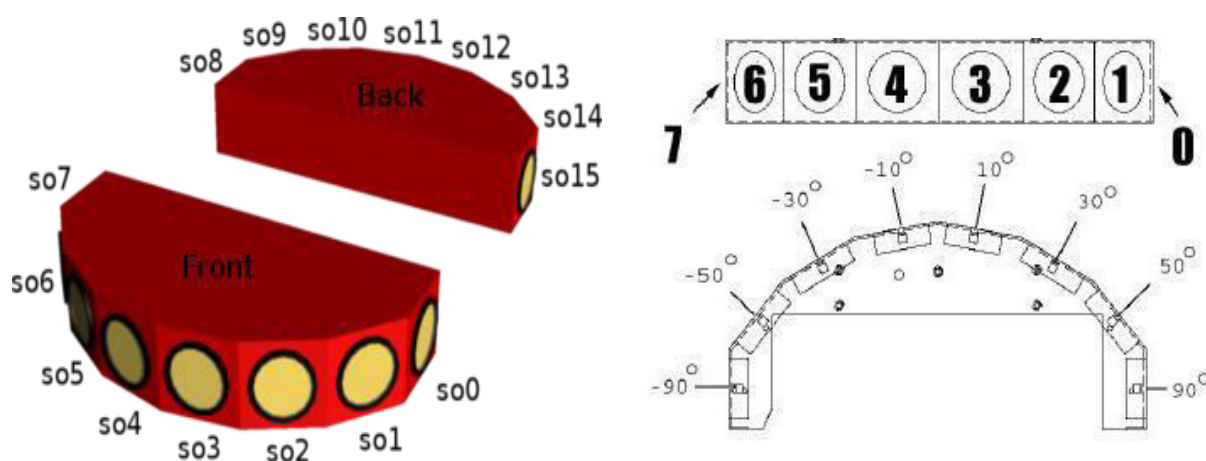


Figure I.6 - Capteur ultrasonique du robot pioneer 3-DX

I.2.5.4. Moteurs, roues et encodeurs optiques du Pioneer 3-DX :

Le Pioneer 3-DX est équipé de moteurs à courant continu (DC) réversibles et de roues omnidirectionnelles (Figure I.7), assurant une mobilité fluide et précise, même dans des environnements restreints. Les moteurs permettent un contrôle précis des mouvements et une vitesse constante sur différents terrains, tandis que les roues, équipées de rouleaux inclinés à 45°, offrent une maniabilité optimale dans toutes les directions. Les pneus en caoutchouc garantissent une adhérence fiable sur diverses surfaces.

Les encodeurs optiques intégrés aux roues du Pioneer 3-DX mesurent la vitesse de rotation et la position du robot, assurant ainsi une trajectoire stable et une navigation précise. Ces capteurs sont essentiels pour des applications comme la cartographie, le SLAM et l'évitement d'obstacles, permettant au robot de s'adapter rapidement aux conditions changeantes.

Un encodeur optique est composé d'un disque rotatif avec des fentes espacées, d'une source de lumière (LED) et d'un photo-détecteur. Lorsque le disque tourne, la lumière traverse les fentes et génère des impulsions électriques, utilisées pour calculer la vitesse angulaire (ω) et la position linéaire (d) du robot :

- Vitesse angulaire (ω (rad/s)) :

$$\omega = \frac{N2\pi}{N_p \Delta t} \quad (I.1)$$

Où :

N est le nombre d'impulsions détectées durant l'intervalle de temps Δt .

N_p est le nombre total d'impulsions par tour complet du disque.

Δt est le temps écoulé en secondes.

- Position linéaire (d) :

$$d = \frac{N}{N_p} \cdot C \quad (I.2)$$

Où :

C est la circonférence de la roue,

N est le nombre total d'impulsions détectées,

N_p est le nombre total d'impulsions par tour complet.

Ces mesures permettent au robot de maintenir une trajectoire stable et de s'adapter aux environnements dynamiques, garantissant ainsi une navigation réactive et précise, essentielle pour des environnements complexes comme les laboratoires ou les zones industrielle (SLAM (Simultaneous Localization and Mapping)) [60].

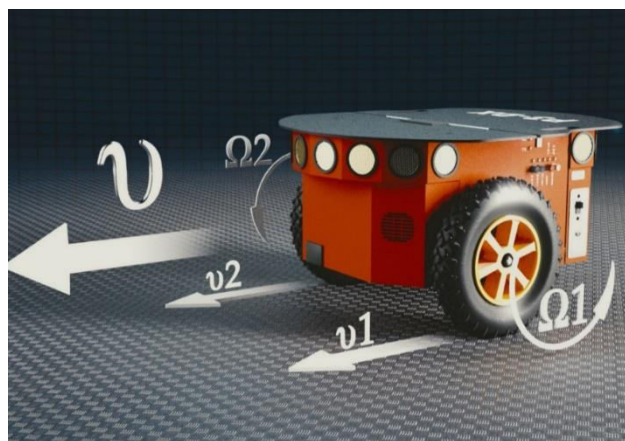


Figure I.7 - Roues du robot pioneer 3-DX

I.2.6. Applications dans le Pioneer 3-DX :

Le Pioneer 3-DX intègre plusieurs applications avancées pour améliorer sa navigation autonome, en particulier dans des environnements complexes :

- Évitement d'obstacles : Ajustement de la trajectoire en temps réel grâce aux données des capteurs ultrasoniques.
- Cartographie : Création de cartes précises pour faciliter la navigation autonome.
- SLAM : Intégration dans des algorithmes de localisation et de cartographie simultanées pour améliorer la précision dans des environnements inconnus [60].

I.2.7. Les systèmes de sécurité du Pioneer 3-DX :

Le Pioneer 3-DX est équipé de plusieurs systèmes de sécurité avancés visant à garantir un fonctionnement autonome et sûr, tout en réduisant les risques pour les utilisateurs et l'environnement.

I.2.7.1. Système de surveillance de l'AIE (Automate Intelligent Embarqué) :

Le système Watch-Dog surveille constamment la communication entre le client et le serveur interne du robot. En cas de perte de communication, il interrompt immédiatement toutes les activités du robot pour prévenir des comportements imprévisibles ou dangereux, assurant ainsi la sécurité des opérateurs [32].

I.2.7.2. Système d'arrêt d'urgence du moteur :

Des boutons d'arrêt d'urgence sont accessibles manuellement pour couper instantanément l'alimentation des moteurs en cas de danger ou d'incident imprévu, notamment dans des environnements à forte interaction humaine comme les laboratoires et les sites industriels [128], [148].

I.2.7.3. Protection contre la surcharge de la batterie :

Le système de gestion de l'énergie régule l'utilisation de la batterie pour prévenir les surcharges et les décharges excessives, protégeant ainsi contre la surchauffe et les pannes. Cette fonctionnalité prolonge la durée de vie des batteries et optimise la fiabilité globale du robot [148].

En résumé, ces systèmes de sécurité garantissent une protection complète du robot, de ses utilisateurs et de son environnement, offrant ainsi une sécurité robuste et un fonctionnement optimal dans divers environnements complexes.

I.3. Evitement d'obstacles :

I.3.1. Introduction à l'évitement d'obstacles dans la robotique mobile :

L'évitement d'obstacles constitue une capacité fondamentale pour tout robot mobile souhaitant évoluer de manière autonome dans un environnement réel. Il repose sur deux composantes essentielles : la détection des obstacles à l'aide de capteurs, et la réaction en temps réel à ces obstacles via des algorithmes de contrôle de trajectoire.

Les capteurs, tels que les capteurs ultrasoniques ou les lidars, permettent de mesurer la distance entre le robot et les objets environnants. Cette distance (d) peut être estimée à partir du temps (t) que met un signal pour faire l'aller-retour jusqu'à l'obstacle, selon la formule suivante :

$$d = \frac{v t}{2} \quad (\text{I.3})$$

Où :

d : La distance à l'obstacle,

v : La vitesse du signal (par exemple, la vitesse du son ou de la lumière),

t : Le temps que prend le signal pour aller et revenir vers le capteur.

Une fois l'obstacle détecté, le robot doit ajuster sa trajectoire. La planification locale consiste à calculer un nouvel angle de déplacement θ à partir des positions relatives du robot (x_r, y_r) et de l'obstacle (x_o, y_o) :

$$\theta = \tan^{-1}\left(\frac{y-y_o}{x-x_o}\right) \quad (\text{I.4})$$

Ce nouvel angle permet de définir une trajectoire d'évitement. L'algorithme vise à minimiser l'écart entre la trajectoire prévue et la trajectoire corrigée, en utilisant une fonction d'erreur E telle que :

$$E = |\theta_d - \theta| \quad (\text{I.5})$$

Où :

θ_d est l'angle de direction souhaité sans obstacle, et θ est l'angle corrigé.

Grâce à ces mécanismes, le robot peut réagir de manière dynamique aux changements dans son environnement, ce qui est essentiel pour naviguer dans des espaces non structurés [1], [31].

I.3.2. Les principes théoriques de la détection d'obstacles :

La détection d'obstacles est un aspect fondamental pour les robots mobiles afin d'assurer une navigation autonome et sécurisée dans des environnements complexes. Elle repose sur l'utilisation de capteurs pour mesurer la distance entre le robot et les objets environnants. Les principes théoriques de cette détection peuvent être modélisés à travers plusieurs approches, en fonction du type de capteur utilisé.

Les algorithmes de détection tels que la détection de contours et la segmentation d'image permettent de définir les obstacles en utilisant des seuils de couleur, d'intensité ou de forme.

Ainsi, les capteurs tels que les ultrasons, lidars, et caméras visuelles fournissent des données essentielles pour le calcul de la distance et la détection des obstacles, qui sont ensuite traitées par des algorithmes de planification pour ajuster la trajectoire du robot et éviter les collisions [31], [149].

I.3.3. Les types de capteurs pour la détection d'obstacles dans des environnements dynamiques :

Dans des environnements dynamiques, où les obstacles peuvent se déplacer ou apparaître soudainement, le choix du capteur est essentiel pour garantir une détection fiable et rapide. Différents types de capteurs sont utilisés pour répondre à ce défi, chacun ayant des avantages spécifiques selon le contexte d'utilisation [149].

I.3.3.1. Capteurs ultrasoniques :

Les capteurs ultrasoniques sont largement utilisés pour détecter les obstacles à courte distance dans des environnements relativement simples. Ils fonctionnent en émettant des ondes sonores et en mesurant le temps qu'il faut pour que l'écho revienne après avoir frappé un obstacle, ce qui permet de calculer la distance à cet obstacle. Cette méthode est particulièrement utile pour la détection d'obstacles statiques dans des environnements tels que des couloirs étroits ou des pièces confinées [53]. La distance d à un obstacle peut être déterminée par la formule suivante :

$$d = \frac{v \cdot t}{2} \quad (\text{I.6})$$

Où :

v : La vitesse du son dans l'air (≈ 343 m/s).

t : Le temps que prend l'onde sonore pour aller et revenir.

I.3.3.2. Capteurs LIDAR (Light Detection and Ranging) :

Les capteurs LIDAR utilisent des faisceaux laser pour mesurer la distance entre le capteur et un obstacle. En envoyant des impulsions lumineuses et en mesurant le temps de retour de ces impulsions, ces capteurs offrent une précision élevée et peuvent détecter des obstacles à des distances allant de quelques centimètres à plusieurs centaines de mètres. La détection repose sur la réflexion des rayons laser, et la distance d est calculée en mesurant le temps t nécessaire au rayon laser pour revenir après avoir frappé l'obstacle. Cette méthode est similaire à celle utilisée par les capteurs ultrasoniques. L'un des avantages majeurs des LIDAR est leur capacité à créer des cartes en 3D détaillées des environnements, ce qui est crucial pour la navigation autonome dans des espaces ouverts ou complexes [103], [149]. La distance d peut donc être déterminée par la formule suivante :

$$d = \frac{c \cdot t}{2} \quad (\text{I.7})$$

Où :

c : La vitesse de la lumière (3×10^8 m/s).

t : Le temps de vol du rayon laser.

I.3.3.3. Capteurs visuels (caméras) :

Les caméras sont souvent utilisées dans les systèmes de détection d'obstacles pour fournir des informations visuelles détaillées sur l'environnement. Les caméras stéréoscopiques ou 3D exploitent des algorithmes de traitement d'image pour détecter et localiser les obstacles en analysant les différences entre les images capturées par deux capteurs placés à une certaine distance. Cette approche basée sur la triangulation permet de calculer la profondeur d des objets détectés. Ces capteurs sont capables de détecter des obstacles à des distances moyennes et longues, offrant ainsi une large couverture. Ils sont particulièrement utiles dans des environnements complexes où les obstacles peuvent changer rapidement de position ou se

déplacer de manière imprévisible [143], [150]. La profondeur d peut être calculée à l'aide de la formule suivante :

$$d = \frac{f \times b}{x} \quad (I.8)$$

Où :

f : La focale de la caméra,

b : La distance entre les deux objectifs de la caméra (base stéréoscopique),

x : La différence de position de l'objet entre les deux images.

I.3.3.4. Capteurs infrarouges (IR) :

Les capteurs infrarouges fonctionnent en détectant la chaleur émise par les objets, ce qui les rend particulièrement efficaces pour détecter des obstacles dans des environnements sombres ou à faible visibilité. Ces capteurs sont souvent utilisés en complément des autres capteurs pour offrir une couverture accrue, notamment lors de la détection de personnes ou d'animaux dans un environnement donné [151].

I.3.3.5. Capteurs de proximité (Radar) :

Les radars sont particulièrement adaptés pour les environnements extérieurs et pour la détection d'obstacles à longue distance. Ils émettent des ondes radio qui rebondissent sur les objets et permettent de calculer leur distance. Le radar est particulièrement efficace pour détecter des obstacles à longue portée dans des conditions météorologiques difficiles, telles que le brouillard ou la pluie.

Dans des environnements dynamiques, le choix du capteur dépend de plusieurs facteurs tels que la portée, la précision, la vitesse de réaction et la capacité à fonctionner dans diverses conditions environnementales. L'utilisation combinée de ces capteurs, souvent en intégrant des données provenant de différentes sources, permet d'améliorer la fiabilité du système de détection d'obstacles et d'assurer une navigation autonome et sécurisée dans des environnements complexes [152].

I.3.4. Modèles théoriques d'évitement d'obstacles en temps réel :

L'évitement d'obstacles en temps réel constitue un domaine clé dans la robotique autonome, où le robot doit prendre des décisions instantanées pour ajuster sa trajectoire en réponse à des obstacles imprévus. Les modèles théoriques utilisés pour l'évitement d'obstacles visent à intégrer des informations provenant des capteurs et à appliquer des stratégies de contrôle qui permettent au robot de réagir rapidement tout en optimisant ses déplacements [124].

I.3.4.1. Modèle de potentiel artificiel :

L'un des modèles théoriques les plus utilisés pour l'évitement d'obstacles est le modèle de potentiel artificiel. Ce modèle simule chaque obstacle comme un point de potentiel répulsif, tandis que l'objectif du robot est traité comme un point d'attraction. L'interaction entre ces deux forces (attractive et répulsive) permet au robot de naviguer en ajustant sa trajectoire pour éviter les obstacles tout en se dirigeant vers sa cible. Le modèle de potentiel artificiel peut être représenté par la fonction de potentiel suivante :

$$U_{totale} = U_{attraction} + U_{répulsion} \quad (I.9)$$

Où :

$U_{attraction}$: Représente l'attraction vers la cible.

$U_{répulsion}$: Représente la répulsion des obstacles.

Ce modèle est efficace pour des environnements simples et prévisibles, mais il peut rencontrer des problèmes dans des environnements complexes où les obstacles sont nombreux ou mobiles.

I.3.4.2. Modèle basé sur les méthodes de planification de trajectoire :

Un autre modèle théorique couramment utilisé est celui des méthodes de planification de trajectoire. Ces modèles reposent sur l'idée de diviser l'espace en une série de sous-espaces, où chaque mouvement est calculé pour éviter les obstacles tout en optimisant la trajectoire globale du robot. Des algorithmes tels que A* (A-star) et RRT (Rapidly-exploring Random Trees) sont utilisés pour planifier les trajets tout en prenant en compte les obstacles. Ces approches sont adaptées aux environnements plus complexes, car elles permettent de générer des trajectoires efficaces même dans des espaces à haute densité d'obstacles [153]-[154].

I.3.4.3. Approches basées sur l'intelligence artificielle (IA) :

Les algorithmes basés sur l'intelligence artificielle (IA), tels que les réseaux de neurones et l'apprentissage par renforcement, peuvent également être utilisés pour l'évitement d'obstacles. Ces modèles permettent au robot d'apprendre et de s'adapter en fonction de son expérience avec l'environnement. Par exemple, un robot peut utiliser un réseau neuronal profond (Deep Neural Network) pour analyser les données des capteurs et prédire les obstacles à venir, ajustant ainsi sa trajectoire de manière proactive. Ces méthodes sont particulièrement utiles dans des environnements dynamiques où les obstacles peuvent changer de position ou se déplacer de manière imprévisible [155].

I.3.4.4. Modèles basés sur les comportements :

Les **modèles basés sur les comportements** utilisent une approche décentralisée dans laquelle différents comportements sont combinés pour réaliser une tâche spécifique, comme l'évitement d'obstacles. Un exemple est l'approche de commande de comportements (Behavioral Control), qui combine plusieurs comportements simples, tels que l'évitement d'obstacles, la navigation vers une cible, et l'évitement des collisions. Ces comportements sont souvent pilotés par des règles floues qui permettent au robot de réagir à son environnement de manière souple et efficace.

Les modèles théoriques d'évitement d'obstacles en temps réel jouent un rôle essentiel dans la robotique mobile, permettant aux robots d'interagir de manière autonome avec leur environnement. L'utilisation de modèles comme le potentiel artificiel, la planification de trajectoire, et les approches basées sur l'intelligence artificielle permet aux robots de naviguer efficacement et de s'adapter à des situations imprévues, garantissant ainsi une navigation fluide et sécurisée dans des environnements complexes et dynamiques [6].

I.3.5. L'adaptation du robot aux environnements non structurés :

L'adaptation d'un robot aux environnements non structurés représente un défi majeur pour la robotique mobile, car ces environnements sont imprévisibles, dynamiques et souvent désorganisés. Contrairement à des environnements structurés, où les obstacles et les chemins sont bien définis, les environnements non structurés ne suivent aucune règle fixe, ce qui rend la navigation plus complexe. Cela inclut des espaces ouverts, des terrains accidentés, des

environnements urbains ou même des sites industriels où les obstacles peuvent être mobiles, imprévus et variés [52], [156].

I.3.5.1. Perception dynamique de l'environnement :

L'un des aspects clés de l'adaptation à un environnement non structuré est la capacité du robot à percevoir de manière dynamique et en temps réel les éléments de son environnement. Les robots utilisent des capteurs multiples, tels que des lidars, des caméras, des capteurs ultrasoniques et des radars, pour détecter les obstacles et évaluer leur environnement en permanence. Les données recueillies par ces capteurs sont ensuite traitées par des algorithmes qui permettent au robot de mettre à jour en continu sa représentation de l'environnement, un processus connu sous le nom de cartographie dynamique [157] - [160].

I.3.5.2. Planification et prise de décision en temps réel :

Dans un environnement non structuré, le robot doit être capable de réagir rapidement à des informations imprévues, comme un obstacle soudain ou un changement dans le terrain. Les algorithmes de planification de trajectoire dynamique permettent au robot de recalculer instantanément son itinéraire en fonction des nouvelles données, garantissant ainsi une navigation fluide. L'utilisation d'algorithmes de recherche heuristique, comme A* ou RRT, permet d'ajuster la trajectoire du robot en temps réel, en optimisant le chemin tout en évitant les obstacles [161] - [164].

I.3.5.3. Adaptation comportementale :

Les robots mobiles doivent également adapter leur comportement en fonction des variations de leur environnement. Cela peut inclure des ajustements de vitesse, de direction, et même de stratégie de navigation en fonction des obstacles détectés ou des conditions du terrain. L'adoption de modèles comportementaux, tels que l'évitement d'obstacles ou la réaction dynamique aux changements, permet au robot de modifier ses actions en fonction de l'environnement immédiat. L'intégration de logiques floues ou d'apprentissage par renforcement permet au robot de s'adapter de manière flexible et autonome, en apprenant de ses expériences passées pour améliorer ses décisions futures [165] - [16].

I.3.5.4. Interaction avec des objets mobiles et imprévisibles :

L'un des défis majeurs dans des environnements non structurés est la présence d'obstacles mobiles. Ces obstacles peuvent inclure des humains, des véhicules ou des animaux qui se déplacent de manière imprévisible. L'adaptation du robot à ces obstacles nécessite des algorithmes prédictifs qui peuvent anticiper le mouvement des obstacles en fonction de leur trajectoire actuelle et ajuster la trajectoire du robot pour éviter les collisions [167].

I.3.5.5. Gestion des incertitudes et des erreurs de capteurs :

Les environnements non structurés sont également marqués par des incertitudes liées à la perception et à la prise de décision. Les capteurs peuvent rencontrer des erreurs dues à des conditions environnementales telles que l'éclairage faible, les interférences électromagnétiques, ou même des objets partiellement visibles. Les robots doivent être capables de gérer ces incertitudes à l'aide d'algorithmes robustes qui intègrent la fusion de données et les estimations probabilistes, comme les filtres de Kalman, pour améliorer la précision de leur perception [168].

L'adaptation des robots aux environnements non structurés est essentielle pour garantir leur efficacité dans des situations réelles et dynamiques. Cela repose sur des technologies avancées de perception, des algorithmes de planification en temps réel et une capacité à interagir de manière flexible avec un environnement en constante évolution. L'utilisation combinée de ces approches permet au robot de s'adapter et de naviguer de manière autonome, même dans les environnements les plus complexes et imprévisibles.

I.3.6. Les défis théoriques du contrôle de trajectoire dans des environnements inconnus :

Le contrôle de trajectoire dans des environnements inconnus représente l'un des plus grands défis théoriques en robotique mobile, en raison de l'incertitude et de la variabilité des conditions environnementales. Dans des situations où le robot évolue sans connaître à l'avance l'agencement exact de son environnement, des modèles de contrôle robustes et adaptatifs sont nécessaires pour maintenir une navigation précise et sécurisée. Voici les principaux défis théoriques rencontrés dans ce domaine [169].

I.3.6.1. Incertitude de l'environnement :

Dans des environnements inconnus, les robots ne disposent pas d'une carte préalable ni de données complètes sur les obstacles ou les chemins disponibles. Cette incertitude requiert des algorithmes de contrôle capables d'agir de manière réactive et de mettre à jour en continu la perception de l'environnement. La capacité du robot à estimer sa position avec des informations incomplètes est essentielle pour déterminer un chemin fiable, d'où la nécessité de méthodes telles que les filtres de Kalman ou les techniques de fusion de capteurs [168].

I.3.6.2. Modélisation de l'environnement dynamique :

Les environnements inconnus sont souvent dynamiques, avec des obstacles mobiles qui peuvent changer de position à tout moment. La modélisation en temps réel de ces changements est complexe, car elle nécessite une estimation constante des trajectoires des obstacles et une mise à jour dynamique de la carte de l'environnement. Les modèles basés sur des méthodes probabilistes, comme les champs de potentiel dynamiques, sont souvent utilisés pour représenter et éviter ces obstacles mobiles [170].

I.3.6.3. Planification de trajectoire en temps réel :

L'un des plus grands défis dans des environnements inconnus est la planification de trajectoire en temps réel. Les algorithmes de planification doivent être capables de calculer des chemins efficaces tout en prenant en compte les obstacles détectés et les changements imprévus dans l'environnement. Les méthodes de planification comme A* ou RRT (Rapidly-exploring Random Trees) sont couramment utilisées pour générer des trajectoires optimales tout en évitant les collisions, mais elles nécessitent souvent des ajustements dynamiques lorsqu'un obstacle est détecté en cours de route [161].

I.3.6.4. Compensation des erreurs de capteurs :

Les erreurs de capteurs sont inévitables dans des environnements inconnus, ce qui rend la localisation et la cartographie précises particulièrement difficiles. Les erreurs peuvent résulter de bruits dans les données des capteurs, d'une mauvaise calibration, ou d'interférences dans l'environnement. L'une des stratégies pour compenser ces erreurs est l'utilisation de systèmes de contrôle robuste, qui garantissent que le robot peut toujours prendre des décisions appropriées même en présence de données de capteurs imprécises. Les algorithmes adaptatifs

et les modèles de contrôle basés sur la rétroaction sont utilisés pour minimiser les effets de ces erreurs [171] - [173].

I.3.6.5. Gestion de la dynamique des robots :

Les robots mobiles sont soumis à des forces dynamiques qui peuvent influencer leur trajectoire, notamment la friction des roues, l'accélération, et la vitesse. La gestion de ces contraintes dynamiques dans un environnement inconnu est un défi majeur pour garantir une trajectoire stable. Les modèles de dynamique du robot doivent être intégrés dans les algorithmes de contrôle pour ajuster les commandes en fonction de la vitesse, de la position et des caractéristiques physiques du robot [174].

I.3.6.6. Optimisation en temps réel :

L'optimisation des trajectoires en temps réel dans des environnements inconnus nécessite une capacité à réévaluer rapidement les stratégies de navigation en fonction des nouvelles informations disponibles. Cela inclut l'optimisation des consommations énergétiques, du temps de déplacement, et de l'évitement d'obstacles tout en maintenant une trajectoire précise. Les techniques de planification de mouvement basée sur l'optimisation utilisent des critères de performance, comme la minimisation du temps de trajet ou de l'énergie consommée, pour ajuster la trajectoire en fonction des conditions observées.

Le contrôle de trajectoire dans des environnements inconnus présente de nombreux défis théoriques, notamment en matière d'incertitude, de modélisation dynamique et de gestion des erreurs de capteurs. L'adaptation en temps réel, l'optimisation des trajectoires et la gestion des erreurs sont des éléments clés pour garantir une navigation autonome et efficace. Ces défis nécessitent des approches théoriques avancées et des algorithmes de contrôle robustes qui permettent aux robots de fonctionner de manière fiable même dans des conditions imprévues [175].

I.3.7. Les facteurs influençant l'efficacité des systèmes d'évitement d'obstacles :

L'efficacité des systèmes d'évitement d'obstacles dans les robots mobiles est déterminée par une combinaison de facteurs qui influencent la capacité du robot à naviguer de manière autonome et sécurisée dans des environnements complexes et dynamiques. Ces facteurs sont

essentiels pour assurer non seulement la performance du robot, mais aussi sa sécurité et sa fiabilité. Voici les principaux facteurs qui influencent l'efficacité de ces systèmes :

I.3.7.1. Précision et portée des capteurs :

La qualité et la précision des capteurs utilisés pour détecter les obstacles jouent un rôle fondamental dans le succès des systèmes d'évitement d'obstacles. Les capteurs tels que les lidars, radars, caméras, et capteurs ultrasoniques doivent être capables de détecter les obstacles à différentes distances et avec un degré de précision élevé. Plus la portée et la précision des capteurs sont grandes, plus le robot pourra anticiper les obstacles à une distance suffisante pour prendre des décisions en temps réel. Les capteurs à courte portée sont souvent efficaces dans des espaces confinés, tandis que les capteurs à longue portée sont nécessaires pour naviguer dans des environnements ouverts ou avec des obstacles mobiles [156].

I.3.7.2. Fréquence de mise à jour des données (Taux d'échantillonnage) :

La fréquence à laquelle les capteurs du robot mettent à jour les données est également un facteur clé pour l'efficacité du système. Un taux d'échantillonnage élevé permet au robot de réagir rapidement aux changements dans l'environnement et d'ajuster sa trajectoire en conséquence. Par exemple, dans des environnements à haute dynamique, tels que les zones industrielles ou les environnements urbains avec des objets mobiles, un taux de mise à jour rapide est nécessaire pour éviter les collisions imprévues.

I.3.7.3. Algorithmes de traitement des données et de prise de décision :

L'efficacité du traitement des données et des algorithmes de prise de décision influencent directement la capacité du robot à éviter les obstacles. Les algorithmes doivent être capables de traiter rapidement et efficacement les données des capteurs pour générer des décisions de navigation en temps réel. Les techniques de **planification de trajectoire** comme **A***, **RRT**, ou les approches basées sur le **calcul de champs de potentiel** sont couramment utilisées pour générer des trajectoires sûres. De plus, les **algorithmes de fusion de données** permettent de combiner les informations provenant de plusieurs capteurs pour obtenir une vision plus complète et précise de l'environnement [153], [163] - [164].

I.3.7.4. Vitesse de déplacement du robot :

La vitesse à laquelle un robot se déplace dans son environnement a un impact direct sur son efficacité d'évitement d'obstacles. À des vitesses élevées, un robot a moins de temps pour réagir aux obstacles et peut être amené à prendre des décisions moins précises, augmentant ainsi le risque de collision. Les systèmes d'évitement d'obstacles doivent être capables de réduire la vitesse ou d'adopter une approche plus conservatrice lorsqu'un obstacle est détecté à proximité. À l'inverse, à des vitesses plus faibles, le robot peut effectuer des ajustements plus précis et réagir rapidement.

I.3.7.5. Complexité de l'environnement :

L'environnement dans lequel le robot évolue joue un rôle crucial dans l'efficacité de l'évitement d'obstacles. Les environnements simples, comme une pièce dégagée, sont plus faciles à naviguer avec des algorithmes de détection d'obstacles simples. En revanche, des environnements plus complexes et dynamiques, tels que des espaces industriels, urbains ou extérieurs, exigent des algorithmes plus sophistiqués capables de gérer des obstacles mobiles, des changements d'environnement rapides et des obstacles imprévus. La capacité à s'adapter aux variations environnementales et à intégrer des obstacles nouveaux est un facteur déterminant dans l'efficacité du système [153], [162].

I.3.7.6. Erreurs et incertitudes des capteurs :

Les erreurs de capteurs, telles que des lectures incorrectes dues à des interférences électromagnétiques, des conditions d'éclairage variables, ou des obstacles partiellement détectés, peuvent affecter la précision de la détection d'obstacles. L'efficacité du système d'évitement d'obstacles dépend de la capacité à gérer ces erreurs et à compenser l'incertitude. Les systèmes de détection et de prise de décision doivent être capables de travailler avec des données imprécises et de prendre des décisions sécurisées en dépit de ces erreurs, en utilisant des algorithmes de contrôle robuste et des filtres d'estimation comme le filtre de Kalman [151] - [153].

I.3.7.7. Interaction avec des obstacles mobiles :

Dans des environnements dynamiques, la capacité du robot à interagir avec des obstacles mobiles est essentielle. Les robots doivent être capables d'anticiper les mouvements d'obstacles

comme les humains, les véhicules ou d'autres robots. Cela nécessite des algorithmes de prévision de trajectoire qui peuvent estimer la direction de déplacement des obstacles en fonction de leur vitesse actuelle et ajuster la trajectoire du robot en conséquence. Ce processus est souvent rendu plus complexe par la variabilité du mouvement des obstacles et les incertitudes liées à leur comportement.

L'efficacité des systèmes d'évitement d'obstacles dépend de plusieurs facteurs interdépendants, tels que la qualité des capteurs, la fréquence de mise à jour des données, l'algorithme de traitement des données, et la capacité du robot à gérer des environnements complexes. Ces facteurs doivent être soigneusement intégrés pour assurer une navigation autonome fiable et sécurisée dans des environnements dynamiques et non structurés. L'optimisation de ces systèmes est essentielle pour garantir que le robot puisse éviter efficacement les obstacles tout en maintenant une performance optimale dans des scénarios variés [163] [170], [174] - [175].

I.4. Conclusion :

En conclusion, l'évitement d'obstacles constitue un enjeu central dans le domaine de la robotique mobile, conditionnant la capacité des robots à évoluer de manière autonome et sécurisée dans des environnements réels, souvent complexes et dynamiques. Grâce aux progrès significatifs dans le développement des capteurs, des algorithmes de détection et de planification, les robots sont désormais capables de percevoir leur environnement et d'ajuster leurs trajectoires en temps réel pour éviter les collisions. Néanmoins, les défis liés à l'incertitude, à la dynamique des obstacles, et aux erreurs de mesure persistent, nécessitant des approches robustes et adaptatives. Le succès futur de la robotique autonome dépendra donc de l'amélioration continue de ces technologies et de leur intégration harmonieuse dans des systèmes capables de s'adapter à des situations imprévues. Ainsi, l'évitement d'obstacles reste une problématique active, moteur d'innovation et de recherche, indispensable pour faire progresser la robotique vers des applications toujours plus performantes et fiables.

II. logique floue et ses applications en robotique

II.1. Introduction :

La logique floue constitue une avancée majeure dans le traitement des données incertaines et imprécises, en étendant la logique classique au-delà du binaire « vrai » ou « faux ». Elle introduit la notion d'appartenance partielle, permettant de modéliser des concepts linguistiques et des situations ambiguës avec une grande flexibilité.

Proposée pour la première fois par Lotfi A. Zadeh en 1965 dans son article fondateur *Fuzzy Sets*, cette approche offre un cadre théorique robuste pour la gestion de l'incertitude dans divers domaines.

Dans le contexte des systèmes robotiques, la logique floue se révèle particulièrement efficace. Elle permet d'optimiser la navigation, de mieux intégrer les données des capteurs, et de renforcer la prise de décision face à des environnements dynamiques et ambigus. Des recherches récentes ont intégré des approches avancées comme les systèmes neuro-flous adaptatifs [176], le contrôle prédictif robuste basé sur des modèles flous [177], et la commande floue hybride avec des techniques de type Sliding Mode [178].

Ces contributions ont montré des résultats prometteurs dans des domaines variés tels que les véhicules autonomes terrestres [176] - [179], les véhicules de surface marins (USV) [180], [181], et les drones à voilure tournante [182], [183]. Par ailleurs, l'intégration de la logique floue dans la fusion de capteurs et la détection d'obstacles en temps réel a également permis d'améliorer la fiabilité des systèmes intelligents [184], [185]. Ces avancées confirment la polyvalence et la pertinence croissante de la logique floue dans les systèmes autonomes modernes.

II.2. Contexte historique et origine de la logique floue :

La logique floue a été initialement proposée par Lotfi A. Zadeh en 1965 dans son article pionnier *Fuzzy Sets* [186]. Cette approche théorique repose sur le concept d'appartenance partielle, permettant une modélisation fine des incertitudes et des informations imprécises qui échappent à la logique binaire traditionnelle.

Au fil des décennies, la logique floue s'est largement développée, notamment grâce aux avancées technologiques et informatiques récentes, ce qui a favorisé son adoption dans des systèmes complexes et adaptatifs. Son application s'est étendue à divers domaines, en particulier la robotique, où elle joue un rôle clé dans l'amélioration de la navigation, la gestion intelligente des capteurs et la prise de décision en contexte d'ambiguïté.

Les recherches contemporaines démontrent la pertinence accrue de la logique floue dans les véhicules autonomes et les systèmes industriels intelligents, confirmant ainsi son rôle incontournable dans la gestion des incertitudes [176], [185].

II.3. Différence entre logique classique et logique floue :

La logique classique (Figure II.1) fonctionne sur un principe binaire, où les propositions sont soit vraies, soit fausses, sans état intermédiaire. En revanche, la logique floue introduit la notion de degrés d'appartenance variant continuellement entre 0 et 1, ce qui permet de représenter plus précisément des informations imprécises ou partiellement vraies [186]. Cette flexibilité offre un outil puissant pour modéliser des phénomènes complexes et ambigus, difficiles à traiter avec la logique classique.

Des recherches récentes ont approfondi l'application de cette modélisation flexible dans des systèmes autonomes et intelligents, notamment à travers des contrôleurs flous adaptatifs et des systèmes neuro-flous, permettant de mieux gérer l'incertitude et l'imprécision des données en temps réel [177], [181], [183].

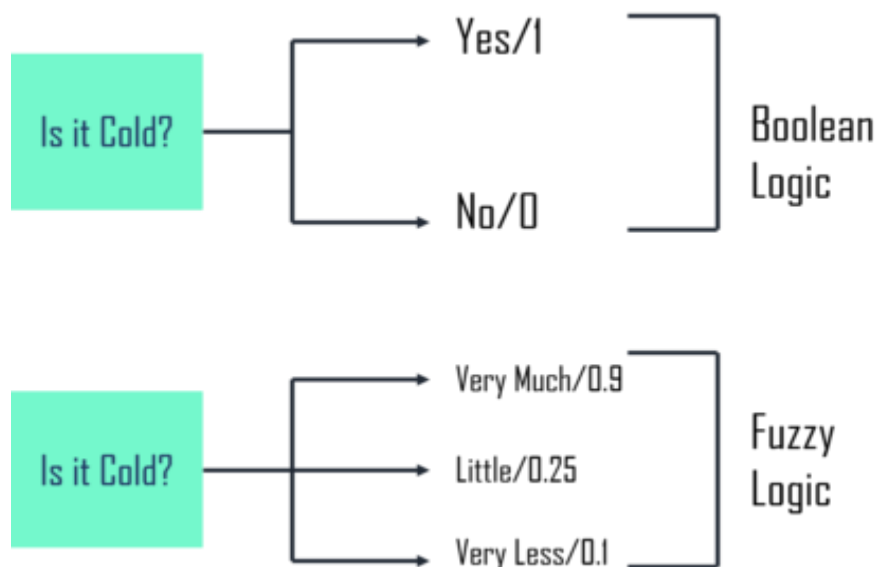


Figure II.1- La différence entre logique classique et logique floue

II.3.1. Approche des valeurs :

Dans la logique classique, les propositions ne peuvent prendre que deux états : « vrai » ou « faux ». Par exemple, une température est considérée comme strictement « chaude » ou « non chaude », sans nuance intermédiaire. En revanche, la logique floue permet d'exprimer des degrés de vérité : une température donnée peut être qualifiée de « chaude » à 0,7 et de « modérée » à 0,3, traduisant ainsi une transition progressive entre les états [186], [187].

Cette capacité à représenter des valeurs continues rend la logique floue particulièrement adaptée aux systèmes réels, où les frontières entre catégories sont souvent floues ou arbitraires. Elle offre ainsi un cadre plus souple pour modéliser les incertitudes dans des applications telles que la régulation de température, la reconnaissance vocale ou la conduite autonome [181], [183].

II.3.2. Degré d'appartenance :

Contrairement à la logique classique, où un élément est soit entièrement dans un ensemble soit totalement en dehors, la logique floue introduit la notion de degré d'appartenance. Cela signifie qu'un même objet peut appartenir partiellement à plusieurs ensembles à des degrés différents. Par exemple, une position peut être considérée comme « proche » à 0,8 et « loin » à 0,2 selon une échelle floue définie [186], [187].

Cette approche est essentielle pour modéliser des notions imprécises telles que la proximité, la vitesse ou la luminosité, notamment dans des systèmes intelligents où les données sont souvent incomplètes ou incertaines [181], [183].

II.3.3. Traitement des incertitudes :

La logique classique se montre limitée face aux situations où les données sont imprécises, incomplètes ou bruitées. Elle ne permet pas une modélisation progressive de l'incertitude. En revanche, la logique floue a été conçue précisément pour répondre à ces contraintes en offrant un cadre souple et tolérant aux imprécisions [186], [187].

Cette capacité est particulièrement précieuse dans des domaines tels que la reconnaissance d'images, où les frontières entre objets peuvent être vagues, ou encore dans les systèmes autonomes, où les décisions doivent être prises malgré des données capteurs partiellement fiables [177], [183], [188].

II.3.4. Systèmes d'inférence :

Les systèmes d'inférence classiques reposent sur des règles strictes de type « SI... ALORS... », basées sur des conditions précises et déterministes. Par exemple :

SI la température > 30 °C ALORS activer le ventilateur.

À l'inverse, les systèmes flous utilisent des règles plus souples, intégrant des notions linguistiques comme :

SI la température est chaude ALORS augmenter la vitesse du ventilateur.

Ici, le terme *chaud* est interprété selon un degré d'appartenance à un ensemble flou, ce qui permet des ajustements progressifs et plus adaptés aux variations réelles [186], [187].

Ce mécanisme rend les systèmes d'inférence flous particulièrement utiles dans les environnements dynamiques, comme les systèmes domotiques, les régulateurs intelligents ou la robotique adaptative [177], [181], [189].

II.3.5. Exemples :

La logique floue est couramment utilisée dans des systèmes modernes où les données imprécises et les environnements dynamiques dominent. Parmi les applications typiques, on trouve :

- Les climatiseurs intelligents qui ajustent automatiquement la température.
- Les machines à laver qui adaptent leurs cycles en fonction de la charge.
- Les systèmes de navigation autonome pour les robots.
- Les systèmes d'aide à la décision.

La logique classique, quant à elle, reste mieux adaptée aux environnements où les règles sont strictement définies et peu sujettes à l'incertitude.

II.4. Importance et avantages de la logique floue :

La logique floue joue un rôle central dans la conception de systèmes capables de fonctionner efficacement malgré des données incertaines ou incomplètes. Sa capacité à intégrer des jugements approximatifs et des connaissances linguistiques permet de développer des modèles plus proches du raisonnement humain.

Elle est particulièrement avantageuse dans les environnements dynamiques, où les conditions changent en temps réel et où une prise de décision rapide mais flexible est requise. C'est pourquoi elle est largement adoptée dans des domaines tels que l'automatisation industrielle, la robotique, les véhicules autonomes, et les systèmes intelligents de gestion d'énergie [181], [189] - [191].

En dépassant les limites rigides de la logique classique, la logique floue offre un compromis performant entre précision mathématique et adaptabilité contextuelle

II.4.1. Traitement de l'incertitude :

La logique floue se distingue par sa capacité à modéliser l'incertitude de manière souple et contextuelle. Contrairement aux approches classiques qui imposent des décisions strictes, elle permet une évaluation progressive des situations incertaines à travers des degrés d'appartenance multiples.

Cette approche est particulièrement efficace dans les domaines où les informations sont partielles ou ambiguës, comme le diagnostic médical, la reconnaissance de formes ou encore les systèmes d'aide à la décision. En intégrant une logique plus proche du raisonnement humain, la logique floue améliore significativement la précision et la robustesse de ces systèmes [181], [188] - [191].

II.4.2. Flexibilité dans la prise de décision :

L'un des avantages majeurs de la logique floue réside dans sa capacité à traduire des connaissances humaines en règles linguistiques simples permettant de formuler des décisions complexes. Grâce à cette approche, les systèmes peuvent adapter dynamiquement leurs réponses en fonction des variations de l'environnement, sans recourir à des seuils rigides.

Cette flexibilité est essentielle dans les systèmes de contrôle adaptatifs tels que les climatiseurs intelligents, les lave-linges automatisés, les feux de signalisation intelligents, ou encore les véhicules autonomes. Elle permet une réactivité accrue face aux changements contextuels, tout en restant interprétable et compréhensible [181], [189] - [191], [193].

II.4.3. Modélisation des phénomènes complexes :

La logique floue excelle dans la modélisation des phénomènes complexes caractérisés par des relations non linéaires entre variables. Contrairement aux approches classiques, elle permet de capturer la dynamique subtile de systèmes réels sans nécessiter de modèles mathématiques rigides.

Cette capacité est particulièrement précieuse en robotique, où les robots mobiles doivent naviguer dans des environnements incertains à l'aide de capteurs imprécis. Grâce à des règles floues adaptatives, ils peuvent évaluer des situations ambiguës, éviter des obstacles et ajuster leur comportement en temps réel [181], [183], [189], [191], [194].

II.4.4. Simplicité des règles :

Les systèmes de logique floue reposent sur des règles linguistiques simples du type « SI... ALORS... », formulées souvent par des experts du domaine. Cette approche intuitive élimine la nécessité de modèles mathématiques complexes, ce qui facilite grandement la conception et l'implémentation de systèmes intelligents.

Cette simplicité est un atout majeur dans les systèmes de contrôle adaptatifs où les comportements doivent évoluer en fonction des conditions variables d'entrée, permettant une adaptation rapide et une maintenance simplifiée [181], [183], [193], [195].

II.4.5. Capacités prédictives et adaptatives :

La logique floue, grâce à ses capacités prédictives et adaptatives, s'impose dans plusieurs domaines à forte incertitude et dynamique changeante. Par exemple, dans les véhicules autonomes, elle permet d'ajuster la vitesse et d'éviter efficacement les obstacles en temps réel [176], [177].

Dans la gestion énergétique, les modèles flous sont utilisés pour prédire la demande en énergie ou la consommation d'eau, en intégrant les fluctuations et incertitudes inhérentes à ces systèmes [180], [182]. Ces applications illustrent comment la logique floue facilite l'intégration de systèmes à la fois réactifs et prédictifs, adaptés aux environnements complexes et évolutifs [193], [196].

II.4.6. Amélioration de l'expérience utilisateur :

La logique floue joue un rôle clé dans l'optimisation de l'expérience utilisateur au sein des appareils électroniques grand public. Par exemple, elle permet un ajustement automatique de la luminosité et de la mise au point dans les téléviseurs et caméras numériques, garantissant des images de meilleure qualité en fonction des conditions ambiantes.

De même, dans les consoles de jeux, la logique floue facilite des réglages intuitifs qui améliorent le confort et la satisfaction des utilisateurs. Ces fonctionnalités augmentent la praticité et la convivialité des appareils, favorisant ainsi leur adoption dans la vie quotidienne [183], [193], [197].

II.5. Logique floue de type 1 :

La logique floue de type 1, introduite par Lotfi A. Zadeh en 1965 [186], représente la forme la plus classique et la plus utilisée de la logique floue. Elle permet de modéliser l'imprécision en assignant des degrés d'appartenance précis, compris entre 0 et 1, à chaque élément d'un ensemble flou. Cette caractéristique garantit une simplicité conceptuelle tout en offrant une base solide pour le traitement des systèmes complexes où l'incertitude est présente.

Cette approche constitue encore aujourd'hui le fondement des nombreuses applications en robotique, contrôle adaptatif et systèmes intelligents [181], [183], [193].

II.5.1. Définition générale :

Dans la logique floue de type 1, chaque élément d'un ensemble flou est associé à un degré d'appartenance unique, défini par une fonction d'appartenance précise. L'incertitude dans ce modèle résulte uniquement de l'imprécision des données d'entrée, tandis que la fonction d'appartenance reste déterministe et bien définie [187].

Par exemple, pour la variable « température », une valeur de 30°C peut être représentée par un degré d'appartenance de 0,7 au concept « chaude » et 0,3 au concept « très chaude ». Cette méthode offre une modélisation directe et intuitive des phénomènes flous, facilitant ainsi leur traitement dans divers systèmes [181], [183].

II.5.2. Caractéristiques principales :

II.5.2.1. Fonctions d'appartenance précises :

Dans la logique floue de type 1, les fonctions d'appartenance sont définies par des valeurs fixes et déterministes. Chaque élément est associé à une unique valeur comprise dans l'intervalle $[0, 1]$, assurant ainsi une interprétation claire et sans ambiguïté des degrés d'appartenance.

Les fonctions d'appartenance les plus courantes comprennent les formes triangulaires, trapézoïdales et gaussiennes. Le choix de la fonction dépend des besoins spécifiques du système et des caractéristiques des données traitées [178], [193], [198].

II.5.2.2. Système d'inférence floue :

Les systèmes d'inférence floue de type 1 exploitent des règles conditionnelles de la forme « SI... ALORS... » pour modéliser des situations complexes et incertaines. Par exemple, une règle typique pourrait être :

« SI la température est chaude, ALORS augmenter la vitesse du ventilateur ».

Ces systèmes traitent les données imprécises ou ambiguës via trois étapes clés : la fuzzification, qui convertit les entrées numériques en degrés d'appartenance flous ; l'inférence,

qui applique les règles floues pour déduire des conclusions ; et enfin la défuzzification, qui transforme les résultats flous en valeurs précises utilisables pour la prise de décision [178], [194], [199].

II.5.2.2.1. Fuzzification :

La fuzzification est le processus de transformation des valeurs précises (crisp values) en valeurs floues (fuzzy values) à l'aide de fonctions d'appartenance. Ce procédé permet d'exprimer des données quantitatives sous forme qualitative floue, facilitant ainsi la modélisation des phénomènes imprécis.

II.5.2.2.1.1. Exemple :

Pour une température de 30°C, les fonctions d'appartenance peuvent attribuer :

Un degré d'appartenance de 0,7 à l'ensemble "chaud".

Un degré d'appartenance de 0,3 à l'ensemble "très chaud".

II.5.2.2.2. Inférence :

L'étape d'inférence consiste à appliquer les règles floues définies dans le système pour produire une sortie floue. Chaque règle prend la forme :

SI x est A ALORS y est B

L'application des règles repose sur les opérations floues comme la conjonction (AND), la disjonction (OR) et la complémentarité (NOT). Les opérateurs les plus utilisés sont :

Conjonction (AND) :

$$\min(\mu_A(x), \mu_B(x)) = \mu_{A \cap B}(x) \quad (\text{II.1})$$

Disjonction (OR) :

$$\max(\mu_A(x), \mu_B(x)) = \mu_{A \cup B}(x) \quad (\text{II.2})$$

Complément (NOT) :

$$\mu_A(x) - 1 = \mu_{\bar{A}}(x) \quad (\text{II.3})$$

II.5.2.2.2.1. Exemple :

Pour une règle "SI température est chaude ET humidité est élevée, ALORS diminuer la vitesse du ventilateur", les degrés d'appartenance pour "chaude" et "élevée" sont combinés à l'aide de l'opérateur AND [200].

II.5.2.2.3. Défuzzification :

La défuzzification constitue l'étape finale du processus d'un système d'inférence floue. Elle permet de convertir les sorties floues générées par le moteur d'inférence en valeurs précises (crisp), exploitables par les utilisateurs ou par des systèmes automatiques [186], [194]. Cette conversion est essentielle pour traduire les résultats flous en actions concrètes ou décisions tangibles dans les applications pratiques.

II.5.2.2.3.1. Méthodes (centroïde, max, etc.) :**II.5.2.2.3.1.1. Centre de gravité (Centroid) :**

La méthode du centre de gravité, également appelée Centre of Gravity (COG), est l'une des méthodes les plus utilisées pour la défuzzification. Elle convertit une sortie floue en une valeur précise unique, souvent nécessaire dans les systèmes de contrôle flous pour produire une commande exploitable par une machine ou un système [201].

Le principe repose sur le calcul du centre de masse de la surface délimitée par la courbe de la fonction d'appartenance de la sortie floue. Cette approche est analogue au calcul du centre de gravité d'un objet physique, où la position du centre reflète la valeur précise résultante à partir de l'ensemble flou [197].

La valeur de sortie y^* est donnée par la relation suivante :

$$y^* = \frac{\int_x x \mu_C(x) dx}{\int_x \mu_C(x) dx} \quad (\text{II.4})$$

Explications des symboles :

- x : La variable de sortie.
- $\mu_C(x)$: La fonction d'appartenance de la sortie x dans l'ensemble flou C .

- y^* : La valeur précise obtenue après défuzzification.
- \int_x : Intégrale définie sur le domaine de la variable x .

Numérateur = $\int_x x \mu_C(x) dx$:

- Cette partie calcule le moment de la surface de la fonction d'appartenance.
- Chaque point x est pondéré par son degré d'appartenance $\mu_C(x)$.

Dénominateur = $\int_x \mu_C(x) dx$:

- Il calcule l'aire totale de la surface de la fonction d'appartenance.
- Cette aire est utilisée pour normaliser la position du centre de gravité.

Résultat :

- La valeur y^* représente la position du centre de gravité de la surface définie par la fonction d'appartenance.
- C'est la valeur "moyenne pondérée" de la fonction d'appartenance.

II.5.2.2.3.1.1.1. Exemple :

Un système de contrôle de la vitesse d'un ventilateur produit une sortie floue définie par la fonction d'appartenance triangulaire entre 20% et 60% avec un maximum à 40%.

Fonction d'appartenance triangulaire :

$$\int_{x=20}^{60} x \cdot \mu_C(x) dx = \int_{20}^{40} x \cdot \frac{x-20}{20} dx + \int_{40}^{60} x \cdot \frac{60-x}{20} dx$$

Calculer : $\int_{20}^{40} x \cdot \frac{x-20}{20} dx$

$$\int_{20}^{40} x \cdot \frac{x-20}{20} dx = \frac{1}{20} \int_{20}^{40} x \cdot (x-20) dx$$

Calculer : $\int_{40}^{60} x \cdot \frac{60-x}{20} dx$

$$\int_{40}^{60} x \cdot \frac{60-x}{20} dx = \frac{1}{20} \int_{40}^{60} x \cdot (60-x) dx$$

Calcul du numérateur :

$$\int_{x=20}^{60} \mu C(x) dx = \int_{20}^{40} \frac{x-20}{20} dx + \int_{40}^{60} \frac{60-x}{20} dx$$

Calculer : $\int_{20}^{40} \frac{x-20}{20} dx$

$$\int_{20}^{40} \frac{x-20}{20} dx = \frac{1}{20} \int_{20}^{40} (x-20) dx$$

Calculer : $\int_{40}^{60} \frac{60-x}{20} dx$

$$\int_{40}^{60} \frac{60-x}{20} dx = \frac{1}{20} \int_{40}^{60} (60-x) dx$$

II.5.2.2.3.1.1.2. Avantages de la méthode du Centre de Gravité :

- Précision : Elle fournit une valeur moyenne pondérée qui prend en compte toutes les sorties floues [197].
- Applicabilité : Elle est largement utilisée dans les systèmes de contrôle flous [197], [198].
- Raisonnement intuitif : La méthode est proche de la logique humaine de prise de décision [198].

II.5.2.2.3.1.1.3. Inconvénients de la méthode :

- Complexité de calcul : Le calcul des intégrales peut être difficile, surtout si la fonction d'appartenance a une forme complexe [197].
- Coût de calcul : Elle est plus coûteuse en termes de temps de calcul que d'autres méthodes de défuzzification, comme la méthode du maximum [202].

II.5.2.2.3.1.2. Méthode du Maximum (Max de la Hauteur) :

La méthode du maximum de la hauteur est une autre approche utilisée pour la défuzzification. Elle est plus simple que la méthode du centre de gravité et consiste à sélectionner la valeur précise correspondant au degré d'appartenance maximal [203].

Formule mathématique :

$$y^* = \arg \max_x \mu_C(x) \quad (\text{II.5})$$

Explications :

- $\mu_C(x)$: La fonction d'appartenance de la sortie x dans l'ensemble flou C .
- y^* : La valeur précise où $\mu_C(x)$ atteint son maximum.

II.5.2.2.3.1.2.1. Exemple :

La fonction d'appartenance de la sortie floue est définie comme suit :

$$\mu_C(x) = \begin{cases} \frac{x-20}{20}, & \text{pour } 20 \leq x \leq 40 \\ \frac{60-x}{20}, & \text{pour } 40 \leq x \leq 60 \\ 0, & \text{autrement} \end{cases}$$

Calculer :

La fonction atteint son maximum ($\mu_C(x) = 1$) lorsque $x = 40$.

Par conséquent, la valeur de sortie est : $y^* = 40$

Avantages :

- Simplicité : Facile à mettre en œuvre car elle ne nécessite pas de calcul intégral.
- Rapidité : Moins coûteuse en temps de calcul que la méthode du centre de gravité.

Inconvénients :

- Perte d'information : Ignore les autres parties de la fonction d'appartenance.
- Moins précis : Moins représentatif des données lorsque plusieurs valeurs atteignent des degrés d'appartenance proches du maximum.

La méthode du maximum de la hauteur est adaptée aux systèmes nécessitant une défuzzification rapide et simple. Elle est idéale pour des systèmes où la précision n'est pas

critique, mais elle peut être moins fiable dans les scénarios complexes où plusieurs sorties floues sont significatives [204].

II.5.2.2.3.1.3. Comparaison d'autres méthodes :

Tableau II.1 – Comparaison entre les deux méthodes

Méthode	Principe	Complexité	Précision
Centre de gravité	Calcule le centre de masse	Élevée	Élevée
Max de la hauteur	Prend la position du maximum	Faible	Moyenne

La méthode du centre de gravité (COG) est la plus couramment utilisée dans les systèmes flous pour convertir une sortie floue en une valeur précise. Elle est basée sur le calcul du centre de gravité de la surface des degrés d'appartenance. Bien qu'elle soit plus coûteuse en termes de calcul que d'autres méthodes, elle offre une grande précision. Cette méthode est particulièrement utile dans les **systèmes de contrôle** tels que la climatisation, les machines à laver intelligentes et la robotique [205].

II.5.2.2.4. Système basé sur des règles linguistiques :

Les systèmes flous utilisent des règles linguistiques pour exprimer des relations entre les variables, rendant la logique floue intuitive et proche du raisonnement humain. Par exemple : "SI la température est chaude, ALORS diminuer la vitesse du ventilateur". Ces termes linguistiques tels que « chaud », « froid », « rapide », ou « lent » permettent de modéliser des concepts subjectifs qui sont difficiles à exprimer par des équations strictes [206].

II.5.2.2.5. Applications précises :

La logique floue de type 1 est largement exploitée dans plusieurs domaines :

- Le contrôle industriel pour gérer des processus complexes.
- Les appareils électroniques domestiques, tels que les climatiseurs et machines à laver, qui adaptent automatiquement leurs paramètres.
- La navigation autonome des robots basée sur l'intégration des données issues des capteurs, offrant une meilleure adaptation aux environnements changeants [207].

II.5.2.2.6. Modèle simple et facile à implémenter :

La logique floue de type 1 se distingue par sa simplicité. Comparée à la logique floue de type 2, elle est :

- Facile à concevoir.
- Moins exigeante en termes de calculs.

Cela la rend idéale pour les systèmes embarqués et les appareils nécessitant une prise de décision rapide et efficace [208].

II.5.2.2.7. Exemple :

Prenons l'exemple d'un système de contrôle de vitesse pour un robot mobile :

Entrée : Distance à l'obstacle (proche, moyenne, éloignée).

Sortie : Vitesse du robot (lente, moyenne, rapide).

Règles floues définies :

SI la distance est proche, ALORS la vitesse est lente.

SI la distance est moyenne, ALORS la vitesse est moyenne.

SI la distance est éloignée, ALORS la vitesse est rapide.

Dans ce cas, les degrés d'appartenance permettent au robot de déterminer sa position par rapport aux ensembles définis (proche, moyenne, éloignée). Par exemple :

Une distance de 1,5 m pourrait appartenir à 0,7 à l'ensemble proche et à 0,3 à l'ensemble moyenne.

Cela permet au robot d'ajuster sa vitesse progressivement, garantissant une navigation fluide et sécurisée, sans transitions brusques [209].

II.6. Variables floues et fonctions d'appartenance :

Les variables floues diffèrent des variables classiques par leur capacité à prendre des valeurs continues dans l'intervalle $[0, 1]$, au lieu des valeurs binaires strictes (0 ou 1). Cette caractéristique permet de modéliser des concepts linguistiques comme "froid", "chaud", ou "température moyenne" de manière fluide et précise [210], [211].

Chaque variable floue est associée à une fonction d'appartenance, qui définit le degré d'appartenance d'un élément à un ensemble flou. Par exemple :

Une température de 25°C pourrait être considérée comme :

- "modérée" à 0,8.
- "chaude" à 0,2.

Ces degrés d'appartenance sont utilisés pour représenter les incertitudes et les gradations dans des systèmes où les limites entre les catégories ne sont pas strictes [212].

II.7. Composants principaux d'un système flou de type 1 :

Les systèmes flous reposent sur plusieurs composants essentiels, dont les fonctions d'appartenance. Ces dernières jouent un rôle central dans la logique floue en permettant de transformer des valeurs précises en valeurs floues, facilitant ainsi le traitement des données incertaines ou ambiguës [213], [214].

II.7.1. Fonctions d'Appartenance :

Une fonction d'appartenance attribue à chaque élément x de l'ensemble des valeurs possibles X un degré d'appartenance compris dans l'intervalle $[0,1]$. Cela peut être défini mathématiquement comme suit :

$$\mu_A(x) : X \rightarrow [0, 1] \quad (\text{II.6})$$

Où :

- x est la variable d'entrée (valeur précise).
- $\mu_A(x)$ est le degré d'appartenance de x à l'ensemble flou A .
- X est l'ensemble des valeurs possibles de la variable x .

Les fonctions d'appartenance courantes comprennent les fonctions triangulaire, trapézoïdale, gaussienne, et sigmoïde. Ces fonctions sont choisies en fonction des caractéristiques et des exigences du système flou à modéliser [215], [216].

II.7.1.1. Fonction Triangulaire :

La fonction triangulaire (Figure II.2) est l'une des fonctions d'appartenance les plus simples et les plus utilisées grâce à sa facilité de calcul. Elle est définie par :

$$\mu_A(x) = \begin{cases} 0, & \text{si } x < a \\ \frac{x-a}{b-a}, & \text{si } a \leq x \leq b \\ \frac{c-x}{c-b}, & \text{si } b \leq x \leq c \\ 0, & \text{si } x > c \end{cases} \quad (\text{II.7})$$

Où a , b et c sont les paramètres déterminant la largeur et la position du triangle. La hauteur est fixée à 1 [217], [218].

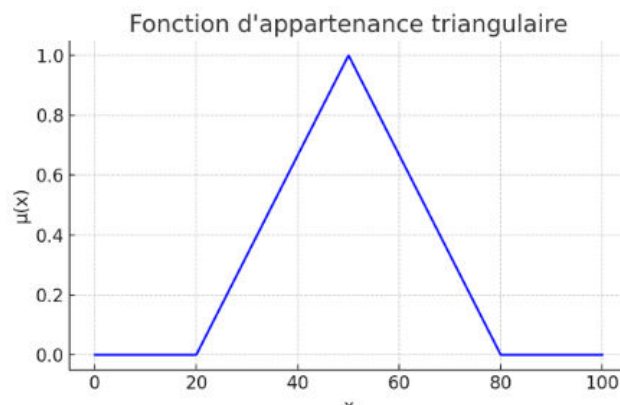


Figure II.2 - Fonction d'appartenance triangulaire

II.7.1.1.1. Exemple :

Une température de $x = 30^\circ\text{C}$ appartenant à un ensemble flou "chaud" défini par $a = 20$, $b = 30$, et $c = 40$ donnera :

$$\mu_{chaud}(30) = \frac{20 - 30}{20 - 30} = 1$$

Cela signifie que 30°C appartient complètement à l'ensemble "chaud".

II.7.1.2. Fonction Trapézoïdale :

La fonction trapézoïdale (Figure II.3) est une extension de la fonction triangulaire. Elle est définie par :

$$\mu_A(x) = \begin{cases} 0, & \text{si } x < a \\ \frac{x-a}{b-a}, & \text{si } a \leq x \leq b \\ 1, & \text{si } b \leq x \leq c \\ \frac{d-x}{d-c}, & \text{si } c \leq x \leq d \\ 0, & \text{si } x > c \end{cases} \quad (\text{II.8})$$

Où a, b, c et d définissent les points de contrôle de la fonction.

Cette fonction est très utilisée pour modéliser des phénomènes où une plage de valeurs est totalement incluse dans l'ensemble flou [219], [220].

Elle est utilisée lorsqu'une plage de valeurs doit avoir un degré d'appartenance maximal.

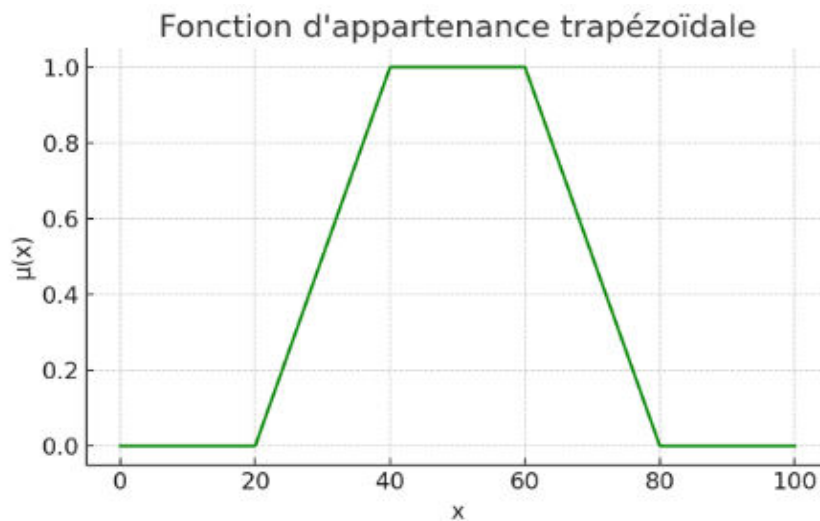


Figure II.3 - Fonction d'appartenance trapézoïdale

II.7.1.3. Fonction Gaussienne :

La fonction gaussienne (Figure II.4) est utilisée lorsque nous souhaitons obtenir une transition douce et progressive entre les valeurs. Cette fonction est souvent utilisée dans la modélisation de données naturelles et la reconnaissance de formes [216], [220].

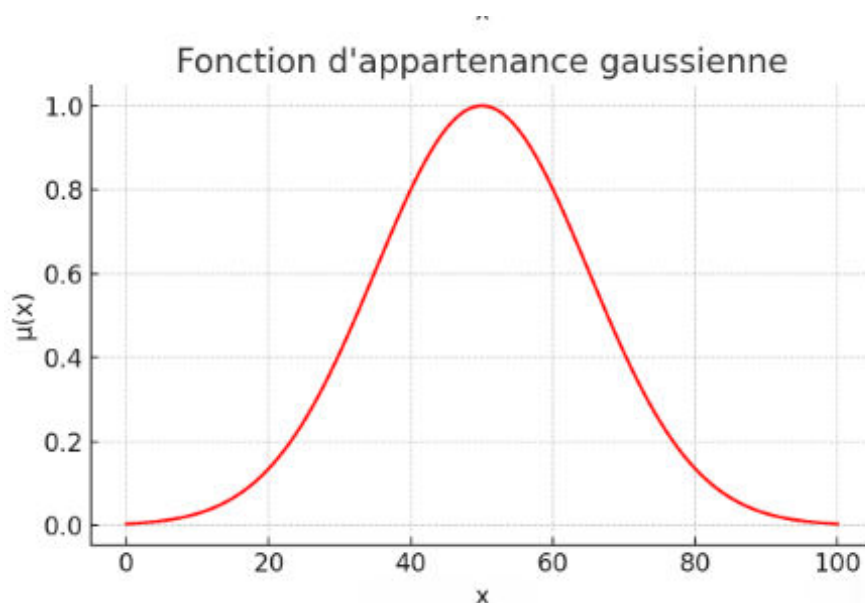


Figure II.4 - Fonction d'appartenance gaussienne

La fonction gaussienne est lisse et continue. Il est défini par :

$$\mu_A(x) = \exp\left(-\frac{(x-c)^2}{2\sigma^2}\right) \quad (\text{II.9})$$

Où :

c : est le centre (ou la moyenne) de la fonction gaussienne.

σ : est l'écart-type qui contrôle la largeur de la cloche.

La valeur maximale de $\mu_A(x)$ est de 1, atteinte en $x = c$.

II.7.1.4. Fonction sigmoïde :

La fonction sigmoïde (Figure II.5) est utilisée pour représenter une transition progressive d'un état à un autre.

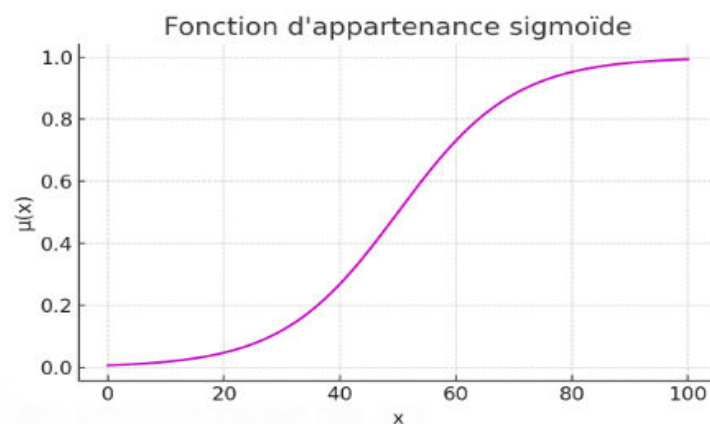


Figure II.5 - Fonction d'appartenance sigmoïde

Sa forme est la suivante :

$$\mu_A(x) = 1/(1 - \exp(-k(x - x_0))) \quad (\text{II.10})$$

Où :

x_0 est le point d'inflexion, c'est-à-dire le point où la courbe change de concavité.

k est un paramètre qui contrôle la pente de la transition.

Cette fonction est largement utilisée dans les réseaux de neurones et les systèmes adaptatifs [219], [220].

II.7.1.5. Calcul des degrés d'appartenance :

Pour calculer le degré d'appartenance d'une valeur x à un ensemble flou A , il suffit d'utiliser l'une des fonctions d'appartenance mentionnées ci-dessus.

II.7.1.5.1. Exemple :

Supposons que la température x .

x est de 35°C et qu'elle appartient à un ensemble flou "chaud" modélisé par une fonction triangulaire définie par $a = 25$, $b = 35$ et $c = 45$. On peut calculer le degré d'appartenance $\mu_{chaud}(35)$ comme suit :

$$\mu_{chaud}(35) = \frac{35 - 25}{35 - 25} = 1$$

Cela signifie que 35 °C appartient complètement à l'ensemble "tempéré".

II.7.1.5.2. Exemples de la fuzzification :

Les courbes des fonctions d'appartenance (Figure II.6) pour les trois exemples d'application de la fuzzification sont présentées ci-dessus :

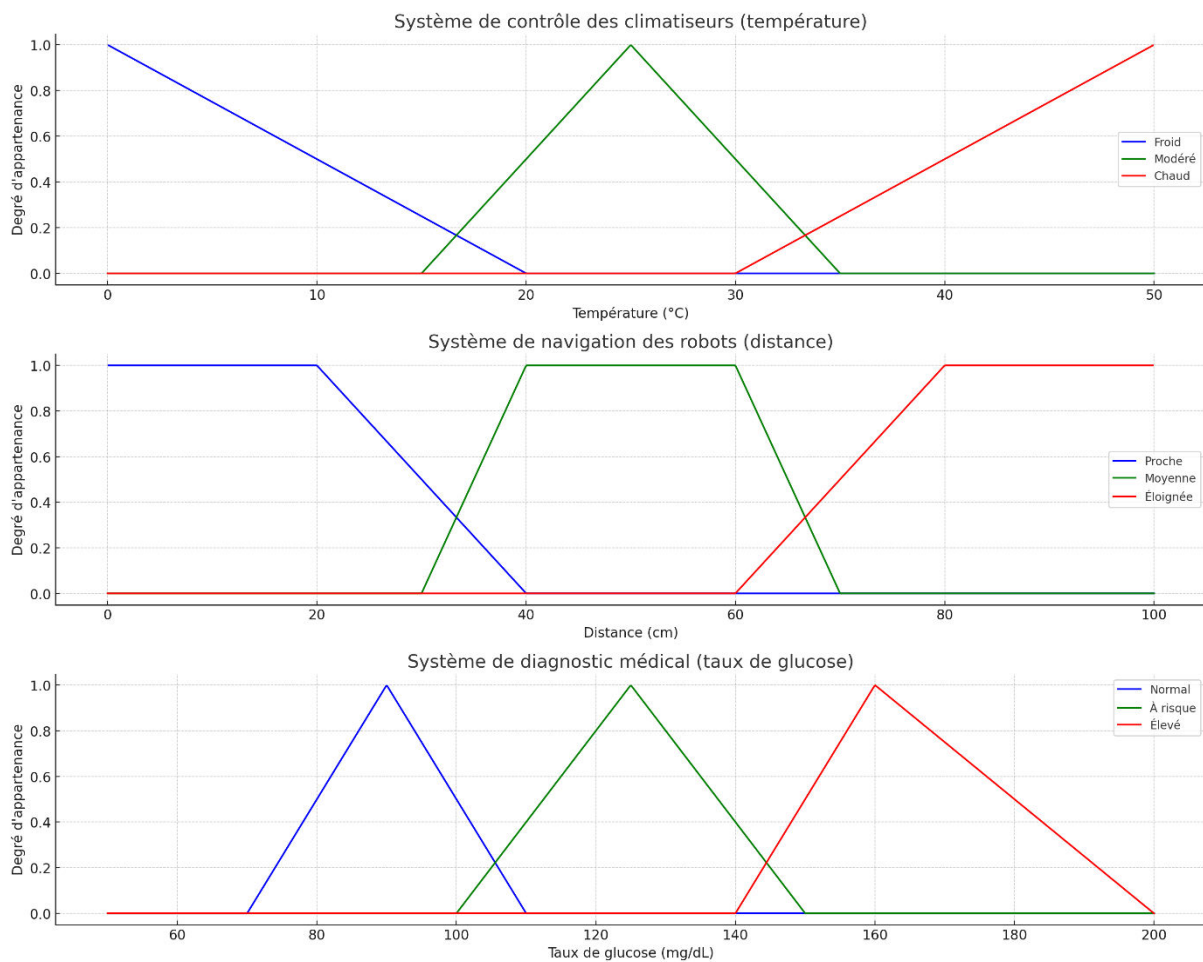


Figure II.6 - Exemples d'application de la fuzzification

II.7.1.6. Importance des Fonctions d'Appartenance :

Les fonctions d'appartenance occupent une place centrale dans les systèmes flous grâce à leur capacité à :

II.7.1.6.1. Représenter les concepts flous :

Elles permettent de modéliser la nature imprécise et graduelle des concepts linguistiques tels que « chaud », « froid » ou « moyen », qui ne peuvent être exprimés par des valeurs binaires strictes [216], [220].

II.7.1.6.2. Transformer les données précises en données floues :

Elles jouent un rôle fondamental dans la fuzzification en convertissant les valeurs numériques précises des variables d'entrée en degrés d'appartenance flous exploitables par le système [221].

II.7.1.6.3. Faciliter le calcul :

Les fonctions d'appartenance simples, comme les fonctions triangulaires et trapézoïdales, offrent un compromis idéal entre précision et efficacité, notamment dans les systèmes embarqués où les ressources de calcul sont limitées [219], [222].

II.7.2. Base de règles floues :

La base de règles floues contient un ensemble de règles linguistiques exprimées sous la forme "SI... ALORS...". Ces règles relient les entrées floues aux sorties floues et permettent de modéliser le comportement du système [223].

Exemple :

SI la température est chaude, ALORS la vitesse du ventilateur est moyenne.

L'objectif principal de cette base est de fournir une structure intuitive et proche du raisonnement humain, rendant les systèmes flous adaptatifs et faciles à interpréter.

II.7.2.1. Structure d'une règle floue :

Chaque règle floue suit la structure suivante :

SI X est A ALORS Y est B

Degré d'activation des sorties Y est calculé comme suit :

$$\mu_A(x) = \mu_B(y) \quad (\text{II.11})$$

Où :

$\mu_A(x)$: Degré d'appartenance de x à l'ensemble flou A .

$\mu_B(y)$: Degré d'appartenance de y à l'ensemble flou B .

II.7.2.1.1. Explications des termes :

- **SI** : Déclencheur de la règle.
- **Prémisse** : Condition d'entrée floue (par exemple, "la température est chaude").
- **ET/OU** : Opérateurs logiques flous pour combiner plusieurs prémisses.
- **Conséquence** : Action à exécuter ou valeur de sortie (par exemple, "la vitesse du ventilateur est moyenne").

II.7.2.1.2. Exemple simple de base de règles floues :

Considérons un système de contrôle de la vitesse d'un ventilateur en fonction de la température. Les règles suivantes peuvent être définies :

- **Règle 1** : SI la température est "fraîche", ALORS la vitesse du ventilateur est "lente".
- **Règle 2** : SI la température est "chaude", ALORS la vitesse du ventilateur est "moyenne".
- **Règle 3** : SI la température est "très chaude", ALORS la vitesse du ventilateur est "rapide".

Ces règles permettent de transformer des entrées floues (température) en sorties floues (vitesse).

II.7.2.1.3. Représentation mathématique des règles floues :

Soit la variable d'entrée (température) et la variable de sortie (vitesse du ventilateur). Les degrés d'appartenance d'aux ensembles flous "fraîche", "chaude" et "très chaude" sont notés, et. De même, la vitesse appartient à plusieurs ensembles flous notés, et.

La relation mathématique de la règle 2 est exprimée ainsi :

De même, pour la règle 3, on a :

Ces relations permettent d'obtenir les degrés d'appartenance de la sortie (vitesse) en fonction des degrés d'appartenance de l'entrée (température).

II.7.2.1.3.1. Exemple :

Représentation des règles floues pour la température (°C) :

- Température fraîche (T_{fraiche}) :

$$\mu_{\text{fraiche}}(x) = \begin{cases} 1, & \text{si } x \leq 0 \\ \frac{20-x}{20}, & \text{si } 0 < x \leq 20 \\ 0, & \text{si } x > 20 \end{cases}$$

- Température chaude (T_{chaude}) :

$$\mu_{\text{chaude}}(x) = \begin{cases} 0, & \text{si } x \leq 10 \\ \frac{x-10}{15}, & \text{si } 10 < x \leq 25 \\ \frac{40-x}{15}, & \text{si } 25 < x \leq 40 \\ 0, & \text{si } x > 40 \end{cases}$$

- Température très chaude ($T_{\text{très-chaude}}$) :

$$\mu_{\text{très-chaude}}(x) = \begin{cases} 0, & \text{si } x \leq 30 \\ \frac{x-30}{20}, & \text{si } 30 < x \leq 50 \\ 1, & \text{si } x > 50 \end{cases}$$

Représentation des règles floues pour la vitesse (%) :

Les fonctions d'appartenance de la vitesse sont définies comme suit :

Vitesse lente (V_{lente}) :

$$\mu_{lente}(x) = \begin{cases} 1, & \text{si } x \leq 0 \\ \frac{40-x}{40}, & \text{si } 0 < x \leq 40 \\ 0, & \text{si } x > 40 \end{cases}$$

Vitesse lente ($V_{moyenne}$) :

$$\mu_{moyenne}(x) = \begin{cases} 0, & \text{si } x \leq 20 \\ \frac{x-20}{30}, & \text{si } 20 < x \leq 50 \\ \frac{80-x}{30}, & \text{si } 50 < x \leq 80 \\ 0, & \text{si } x > 80 \end{cases}$$

Vitesse lente (V_{rapide}) :

$$\mu_{rapide}(x) = \begin{cases} 0, & \text{si } x \leq 60 \\ \frac{x-60}{40}, & \text{si } 60 < x \leq 100 \\ 1, & \text{si } x > 100 \end{cases}$$

[223], [224], [225], [226], [227].

Nous allons tracer les courbes (Figure II.7) associées aux ensembles flous de la température et de la vitesse du ventilateur. La température est divisée en "fraîche", "chaude" et "très chaude", tandis que la vitesse du ventilateur est divisée en "lente", "moyenne" et "rapide".

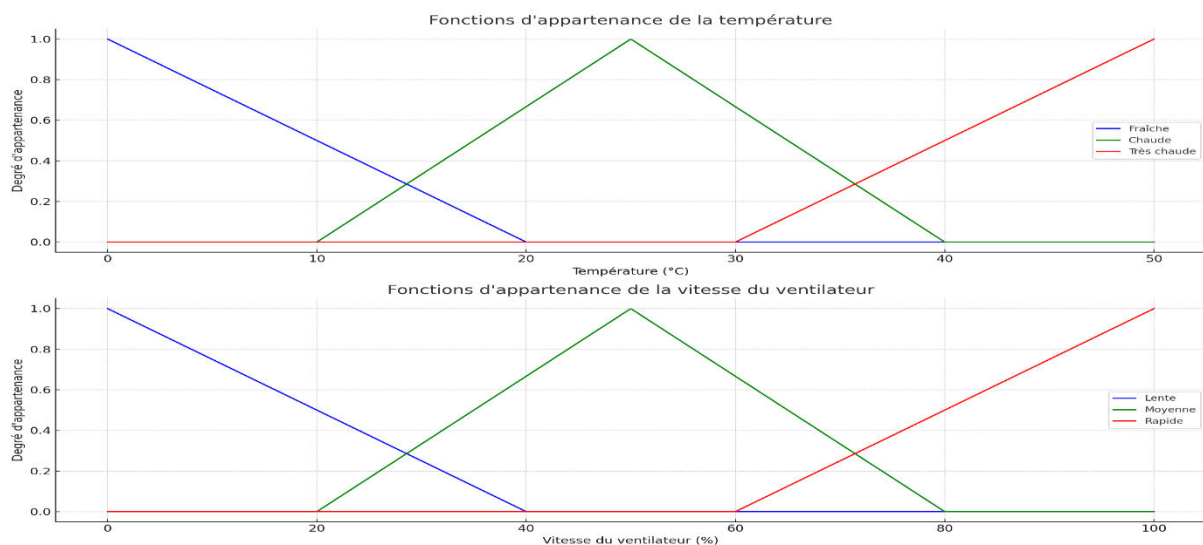


Figure II.7 - Fonctions d'appartenance de la vitesse du ventilateur

La base de règles floues constitue le cœur d'un système flou. Elle relie les entrées floues aux sorties floues à l'aide de règles linguistiques du type "SI... ALORS...". Chaque règle est mathématiquement exprimée par une relation entre les degrés d'appartenance des entrées et des sorties. Cette structure permet de modéliser des systèmes complexes de manière intuitive et compréhensible.

II.7.3. Opérations du moteur d'inférence floue :

Le moteur d'inférence floue repose sur deux opérations principales pour combiner les entrées et sorties floues : MIN et MAX. Ces opérations permettent de modéliser des relations logiques floues comme "ET" et "OU" dans le contexte des systèmes flous [223], [228] [229].

II.7.3.1. Opération MIN :

L'opération MIN est utilisée pour combiner des entrées floues liées par "ET" (logique floue AND). Elle calcule le minimum des degrés d'appartenance associés aux ensembles flous concernés [205], [230], [231], [232].

II.7.3.1.1. Formule mathématique :

$$\mu_C(y) = \min(\mu_{A_1}(x_1), \mu_{A_2}(x_2), \dots, \mu_{A_n}(x_n)) \quad (\text{II.12})$$

Où :

- $\mu_{A_i}(x_i)$ représente le degré d'appartenance de l'entrée x_i à l'ensemble flou A_i .
- $\mu_C(y)$ est le degré d'appartenance de la sortie y à l'ensemble flou C .

II.7.3.1.2. Exemple :

- SI la température est "*chaude*" ($\mu_{chaude}(T) = 0.7$) ET l'humidité est "*élevée*" ($\mu_{élevée}(H) = 0.5$), ALORS activer la climatisation.

Calcul : $\mu_C(y) = \min(0.7, 0.5) = 0.5$

II.7.3.1.3. Interprétation :

Le moteur d'inférence considère que la sortie "activer la climatisation" est activée à un degré d'appartenance de 0.5 (c'est la plus petite valeur entre 0.7 et 0.5).

II.7.3.2. Opération MAX :

L'opération MAX est utilisée pour combiner des sorties floues provenant de plusieurs règles ou des entrées floues liées par "OU" (logique floue OR). Elle calcule le maximum des degrés d'appartenance associés aux ensembles flous concernés [205], [230] - [232].

II.7.3.2.1. Formule mathématique :

$$\mu_C(y) = \max(\mu_{A_1}(x_1), \mu_{A_2}(x_2), \dots, \mu_{A_n}(x_n)) \quad (\text{II.13})$$

Où :

- $\mu_{A_i}(x_i)$ représente le degré d'appartenance de l'entrée x_i à l'ensemble flou A_i .
- $\mu_C(y)$ est le degré d'appartenance de la sortie y à l'ensemble flou C .

II.7.3.2.1.1. Exemple :

- SI la température est "*chaude*" ($\mu_{chaude}(T) = 0.6$) OU la vitesse du vent est "*forte*" ($\mu_{forte}(V) = 0.8$) ALORS augmenter la vitesse du ventilateur.

Calcul :

$$\mu_C(y) = \max(0.6, 0.8) = 0.8.$$

II.7.3.2.3. Interprétation :

Le moteur d'inférence considère que la sortie "augmenter la vitesse du ventilateur" est activée à un degré d'appartenance de 0.8 (c'est la plus grande valeur entre 0.6 et 0.8) [205].

II.7.3.3. Importance des opérations MIN et MAX :

Les opérations **MIN** et **MAX** sont fondamentales dans le fonctionnement des systèmes flous, notamment dans le moteur d'inférence. Elles traduisent les opérateurs logiques flous "ET" et "OU", et permettent une prise de décision souple, proche du raisonnement humain.

II.7.3.3.1. L'Opération MIN (logique floue "ET") :

Elle est utilisée pour implémenter des relations conditionnelles strictes. Lorsqu'une règle floue comprend plusieurs prémisses, l'opération MIN permet de déterminer le degré global de satisfaction de la règle en prenant le plus petit des degrés d'appartenance. Cela garantit que la règle n'est activée que si toutes les conditions sont partiellement ou totalement vraies. Par exemple, pour une règle du type "SI température est chaude ET humidité est élevée", le moteur d'inférence évalue la règle en prenant le **minimum** entre les deux degrés d'appartenance [230].

II.7.3.3.2. L'Opération MAX (logique floue « OÙ ») :

Elle est utilisée pour agréger les résultats de plusieurs règles qui produisent des conclusions similaires. Dans ce cas, on retient la valeur maximale parmi les degrés d'activation. Cela permet de prendre en compte la règle la plus favorable ou la plus dominante dans le processus décisionnel [205], [231], [232]. Cette opération est essentielle dans les systèmes complexes où plusieurs scénarios peuvent influencer une même sortie.

Ces deux opérations assurent une **flexibilité** et une **adaptabilité** dans la modélisation des systèmes de décision, en particulier lorsque les entrées sont imprécises ou sujettes à des variations [230].

II.7.3.4. Comparaison entre MIN et MAX :

Le moteur d'inférence floue est essentiel pour le raisonnement flou. En utilisant des opérations telles que le MIN et le MAX, il combine les degrés d'appartenance des entrées et des règles pour produire une sortie floue. Ces méthodes permettent de modéliser des systèmes complexes et d'adapter les sorties aux situations réelles.

Tableau II.2 - Comparaison entre MIN et MAX

Critère	Opération MIN	Opération MAX
Objectif	Combine les entrées liées par "ET"	Combine les sorties de plusieurs règles ou les entrées liées par "OU"
Principe	Prend la plus petite valeur parmi les degrés d'appartenance	Prend la plus grande valeur parmi les degrés d'appartenance
Utilisation	Pour les règles avec ET	Pour les règles avec OU
Formule mathématique	$\mu_C(y) = \min(\mu_{A1}(x1), \mu_{A2}(x2))$	$\mu_C(y) = \max(\mu_{A1}(x1), \mu_{A2}(x2))$
Exemple	SI (Température élevée ET Humidité élevée) ALORS Activer la climatisation	SI (Température élevée OU Vitesse du vent élevée) ALORS Augmenter la ventilation
Valeur de sortie	Prend la plus faible des valeurs des entrées	Prend la plus grande des valeurs des entrées

II.8. Conclusion :

La logique floue de type 1 représente un outil mathématique puissant et polyvalent, particulièrement efficace dans la modélisation et le traitement des systèmes complexes soumis à des incertitudes ou des imprécisions. Grâce à sa capacité à reproduire le raisonnement humain à travers des règles linguistiques simples, elle permet d'améliorer considérablement la prise de décision dans des environnements dynamiques.

Ses domaines d'application sont nombreux et variés, parmi lesquels on peut citer :

- **Les systèmes de contrôle adaptatifs**, tels que le régulateur de température, les climatiseurs intelligents et autres dispositifs électroniques domestiques [232], [233].
- **Les systèmes de navigation autonome**, utilisés notamment dans les véhicules intelligents, les drones et les robots mobiles [205], [231].
- **Les systèmes robotiques avancés**, où la logique floue permet d'améliorer la réactivité et la flexibilité dans des situations imprévues [205].

Son intégration dans ces technologies contribue non seulement à l'amélioration de la performance et de l'autonomie des systèmes, mais aussi à leur capacité à s'adapter en temps réel aux variations de l'environnement.

Ainsi, la logique floue de type 1 s'impose aujourd'hui comme une approche incontournable dans la conception de systèmes intelligents et robustes face à l'incertitude.

III. Logique floue de type 2

III.1. Introduction :

La logique floue de type 2 (LFT2) est une extension de la logique floue classique (type 1) introduite par Lotfi A. Zadeh en 1975. Elle a été développée pour surmonter les limites de la logique floue de type 1 dans des environnements où l'incertitude est plus élevée et les données sont imprécises. Contrairement à la logique floue de type 1, où chaque valeur possède un degré d'appartenance unique dans l'intervalle $[0, 1]$, la LFT2 permet de modéliser l'incertitude associée à ces degrés d'appartenance par des ensembles flous eux-mêmes. Cette caractéristique est particulièrement utile pour les systèmes confrontés à des incertitudes complexes [234].

III.2. Structure de la LFT2 :

III.2.1. Ensemble de base :

Représente les degrés d'appartenance possibles.

III.2.2. Fonction d'ensemble flou :

Définit l'incertitude associée à ces degrés.

III.3. Application et exemple :

Dans des domaines tels que la robotique et la navigation autonome, la logique floue de type 2 est utilisée pour modéliser des obstacles dont la position ou la forme sont incertaines, améliorant ainsi les performances des algorithmes d'évitement [235].

III.4. Limites de la logique floue de type 1 :

La logique floue de type 1 (LFT1) a été largement utilisée pour modéliser des systèmes complexes et incertains, mais elle présente certaines limites dans des situations où l'incertitude est élevée ou mal définie. Ces limitations concernent principalement la manière dont elle traite l'incertitude et la précision des modèles qu'elle génère [236].

III.4.1. Gestion limitée de l'incertitude :

La logique floue de type 1 (LFT1) repose sur des fonctions d'appartenance définies avec des valeurs fixes entre 0 et 1. Cependant, dans de nombreux cas réels, l'incertitude affectant les

données ne peut pas être représentée par un seul degré d'appartenance. Par exemple, dans des environnements dynamiques et bruyants, la LFT1 ne parvient pas à capturer l'incertitude liée aux variations ou aux imprécisions des données d'entrée [237].

III.4.2. Risque de sur-simplification :

La simplification des fonctions d'appartenance en des formes fixes (comme des triangles ou des trapèzes) réduit la capacité du modèle à représenter fidèlement les relations complexes entre les variables. Cela peut entraîner des résultats moins précis et une performance diminuée dans des systèmes caractérisés par une forte incertitude [238].

III.4.3. Rigidité dans la conception des règles :

Les systèmes basés sur la logique floue de type 1 (LFT1) nécessitent des règles définies manuellement par des experts, ce qui pose des problèmes dans des applications à grande échelle où le nombre de règles peut croître de manière exponentielle. De plus, ces règles ne parviennent pas toujours à prendre en compte les multiples incertitudes présentes dans des systèmes complexes [239].

III.4.4. Inadaptation aux incertitudes linguistiques :

Dans la logique floue de type 1 (LFT1), les termes linguistiques utilisés pour définir les fonctions d'appartenance sont rigides. Cela limite sa capacité à gérer des variations linguistiques ou des imprécisions supplémentaires, fréquentes dans des systèmes complexes, tels que ceux rencontrés en robotique ou dans des environnements imprévisibles [240].

Ces limitations ont motivé le développement de la logique floue de type 2, qui offre une approche plus flexible pour représenter et gérer l'incertitude dans des systèmes complexes.

III.5. Motivation pour l'utilisation de la logique floue de type 2 :

La logique floue de type 2 (LFT2) a été développée pour répondre aux limites de la logique floue de type 1 dans des contextes où les systèmes sont confrontés à une incertitude accrue, des données imprécises ou des environnements dynamiques. Les motivations pour l'utilisation de la LFT2 sont multiples [241].

III.5.1. Meilleure gestion de l'incertitude :

Contrairement à la logique floue de type 1, qui repose sur des degrés d'appartenance fixes, la LFT2 introduit des fonctions d'appartenance floues. Celles-ci permettent de représenter l'incertitude non seulement dans les données, mais aussi dans les degrés d'appartenance eux-mêmes, offrant ainsi une modélisation plus riche et robuste [242].

III.5.2. Applications dans des environnements incertains :

Dans des domaines tels que la robotique, la navigation autonome et le contrôle des systèmes complexes, les données collectées sont souvent bruitées ou imprécises. La logique floue de type 2 (LFT2) permet d'incorporer cette incertitude directement dans le modèle, ce qui améliore la performance et la prise de décision dans ces systèmes [243].

III.5.3. Flexibilité accrue dans la conception des systèmes :

La LFT2 offre une meilleure adaptabilité aux variations des environnements dynamiques. Par exemple, dans le cas d'un robot mobile, elle permet de gérer des incertitudes liées à la détection des obstacles ou aux imprécisions dans les mesures des capteurs, réduisant ainsi les risques d'erreur et améliorant la fiabilité du système [244].

III.5.4. Gestion des incertitudes linguistiques :

Dans des contextes où des termes linguistiques sont utilisés pour décrire des concepts imprécis (par exemple, "rapide" ou "lent" en robotique), la LFT2 permet de capturer l'incertitude associée à ces descriptions linguistiques, ce qui est difficilement réalisable avec la logique floue de type 1 [245].

III.5.5. Performance améliorée dans les systèmes complexes :

En intégrant des degrés d'incertitude supplémentaires, la LFT2 améliore la précision et la performance globale des systèmes de contrôle et de prise de décision, particulièrement dans des environnements hautement incertains et variables [246].

III.6. Concepts fondamentaux de la logique floue de type 2 :

La structure des ensembles flous de type 2 (EFT2) constitue l'élément central de cette logique. Contrairement aux ensembles flous de type 1, où chaque élément a un degré d'appartenance unique, les EFT2 sont caractérisés par un degré d'appartenance incertain, représenté par un ensemble flou lui-même [247].

III.6.1. Définition mathématique

Un ensemble flou de type 2 \tilde{A} dans un univers X est défini par une fonction d'appartenance $\mu_{\tilde{A}}(x, u)$, où $x \in X$ et $u \in J_x \subseteq [0,1]$. Formellement [247] :

$$\tilde{A} = \{(x, u), \mu_{\tilde{A}}(x, u) \mid x \in X, u \in J_x, \mu_{\tilde{A}}(x, u) \in [0,1]\} \quad (\text{III.1})$$

x : Élément de l'univers X .

u : Valeur du degré d'appartenance dans l'ensemble flou primaire.

J_x : Ensemble support défini pour chaque x , représentant les degrés d'incertitude.

III.6.2. Composition des Ensembles Floue de Type 2

Un EFT2 peut être décomposé en deux parties [247] :

Ensemble Primaire (J_x) : Définit les valeurs possibles du degré d'appartenance d'un élément x .

Ensemble Secondaire ($\mu_{\bar{A}}(x, u)$) : Définit l'incertitude associée à chaque valeur u .

III.6.3. Visualisation d'un EFT2

Pour représenter un EFT2 (Figure III.1) ; on utilise souvent une structure tridimensionnelle où :

L'axe x représente les éléments de l'univers.

L'axe y représente les degrés d'appartenance primaire.

L'axe z (ou hauteur) représente l'incertitude secondaire $\mu_{\bar{A}}(x, u)$.

Voici une illustration typique :

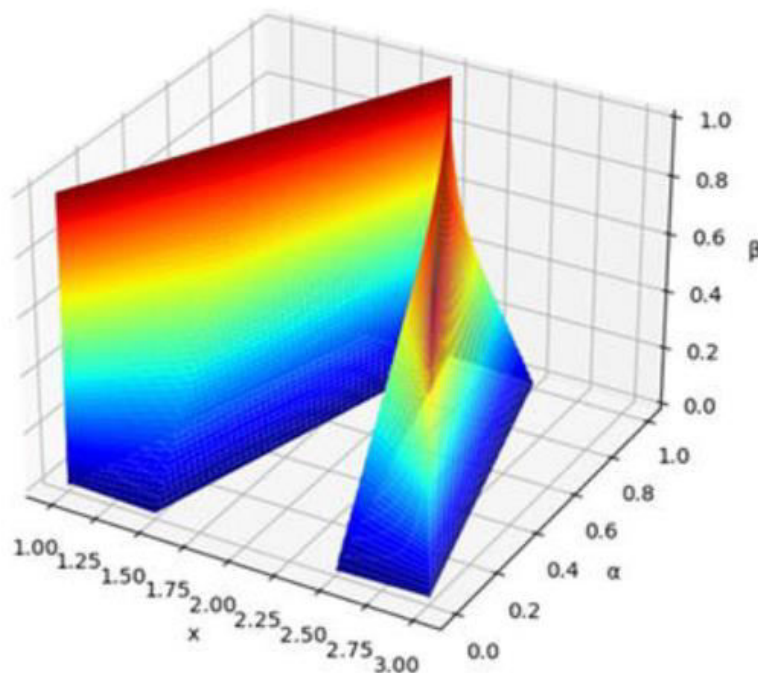


Figure III.1 - Structure d'un ensemble flou de type-2

III.6.4. Exemple :

Supposons un système de classification utilisant la notion de « température chaude ». Avec un ensemble flou de type 1, une température de 30 °C pourrait avoir un degré d'appartenance de 0,8. Cependant, dans un EFT2, ce degré de 0,8 peut être incertain et représenté par un intervalle (par exemple, [0,7 ; 0,9]), avec une fonction d'appartenance secondaire pour modéliser cette incertitude [246].

III.6.5. Avantage de la structure :

Cette structure permet de gérer des incertitudes supplémentaires liées :

Aux mesures des capteurs.

À la variabilité des données.

Aux variations contextuelles [244].

III.7. Fonctions d'appartenance floues de type 2 :

Les fonctions d'appartenance floues de type 2 (FAF2) (Figure III.2) ; jouent un rôle clé dans la représentation des incertitudes supplémentaires dans les systèmes flous. Elles permettent de modéliser non seulement l'appartenance des éléments à un ensemble mais aussi l'incertitude liée à cette appartenance.

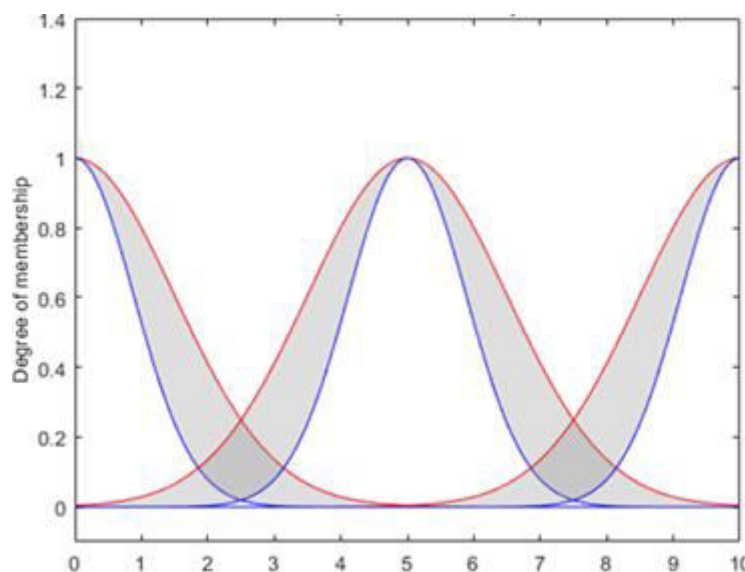


Figure III.2 - Fonctions d'appartenance floues de type 2

III.7.1. Exemple Numérique :

Pour un univers $X = [0,10]$, supposons que l'ensemble flou de type 2 représente la notion de "température modérée" [248].

À $x = 5$, la valeur de u pourrait varier entre $[0,6 ; 0,8]$, avec une incertitude secondaire donnée par :

$$\mu_{\tilde{A}}(5, u) = \begin{cases} 0.5 & \text{si } u=0.6, \\ 1.0 & \text{si } u = 0.7, \\ 0.5 & \text{si } u = 0.8. \end{cases}$$

III.7.2. Avantages des FAF2 :

Meilleure précision dans les environnements incertains : Permettent une représentation plus réaliste des données bruitées ou imprécises.

Flexibilité accrue : Capturent des relations complexes entre les données, impossibles à modéliser avec des FAF1 [247], [246].

III.8. Types de logique floue de type 2 (générale vs intervalle) :

La logique floue de type 2 se divise en deux catégories principales : la logique floue de type 2 générale (General Type-2 Fuzzy Logic, GT2) et la logique floue de type 2 par intervalles (Interval Type-2 Fuzzy Logic, IT2). Ces deux types diffèrent dans leur manière de représenter les incertitudes associées aux fonctions d'appartenance [243].

III.8.1. Logique Floue de Type 2 Générale (GT2) :

La logique floue de type 2 générale est la version complète du cadre flou de type 2. Dans ce modèle, les ensembles flous secondaires (J_x) ne sont pas restreints, ce qui permet de représenter une incertitude plus complexe [239].

III.8.1.1. Caractéristiques :

- Les fonctions d'appartenance secondaires peuvent prendre n'importe quelle forme floue entre 0 et 1.
- Les calculs associés sont plus complexes en raison de la flexibilité de représentation.

- Utilisée pour des applications où les données présentent une incertitude hautement variable ou asymétrique.

III.8.1.2. Modèle Mathématique :

Pour tout $x \in X$, la fonction d'appartenance secondaire $\mu_{\tilde{A}}(x, u)$ est définie comme :

$$\mu_{\tilde{A}}(x, u) \in [0,1], \forall u \in J_x \quad (\text{III.2})$$

III.8.2. Logique Floue de Type 2 par Intervalles (IT2) :

La logique floue de type 2 par intervalles est une simplification de la version générale. Dans ce modèle, les fonctions d'appartenance secondaires sont limitées à des intervalles de valeurs fixes [243].

III.8.2.1. Caractéristiques :

- Plus simple à calculer que la GT2 grâce à la réduction des degrés de liberté.
- Les fonctions secondaires prennent uniquement des valeurs maximales et minimales (u_{min}, u_{max}).
- Convient pour des systèmes où l'incertitude est symétrique ou modérément complexe.

III.8.2.2. Modèle Mathématique :

Pour tout $x \in X$, la fonction d'appartenance secondaire est définie comme :

$$J_x = [u_{min}, u_{max}], \text{ ou } \mu_{\tilde{A}}(x, u) = 1, \forall u \in J_x \quad (\text{III.3})$$

III.8.3. Comparaison GT2 vs IT2 :

Tableau III.1 - Comparaison GT2 vs IT2

Aspect	Logique Générale (GT2)	Logique par Intervalles (IT2)
Complexité	Élevée	Modérée
Représentation	Incertitude générale	Incertitude limitée aux intervalles
Calculs	Complexes	Plus simples
Applications	Systèmes hautement dynamiques	Systèmes modérément incertains

III.8.4. Exemple :

- GT2 : Une surface floue en 3D où chaque point peut avoir une fonction secondaire (Figure III.3) complexe.

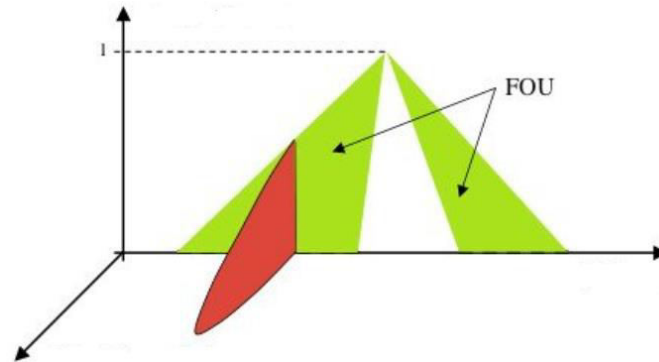


Figure III.3- Logique Floue de Type 2 Générale (GT2)

- IT2 : Une bande d'incertitude en 2D ou 3D, avec des limites supérieures et inférieures claires (Figure III.4).

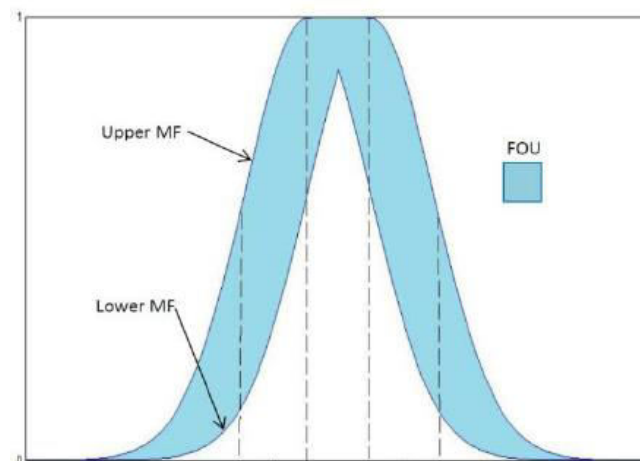


Figure III.4 - Logique Floue de Type 2 par Intervalles (IT2)

Illustration :

GT2 : Fonction secondaire non linéaire complexe.

IT2 : Intervalle représenté par deux courbes parallèles.

III.9. Modélisation mathématique :

III.9.1. Représentation des fonctions d'appartenance floues :

Les fonctions d'appartenance floues sont des outils essentiels pour représenter la nature incertaine des données dans les systèmes flous. Pour les ensembles flous de type 2, les fonctions d'appartenance incorporent à la fois des degrés d'appartenance primaires et des incertitudes secondaires [247].

III.9.1.1. Fonction d'Appartenance Floue Générale de Type 2 :

La fonction d'appartenance floue générale de type 2 $\mu_{\tilde{A}}(x, u)$ est définie comme suit :

$$\mu_{\tilde{A}}(x, u) : X \times J_x \rightarrow [0, 1] \quad (\text{III.4})$$

Où :

$x \in X$: Élément de l'univers de discours X .

$u \in J_x \subseteq [0, 1]$: Valeur du degré d'appartenance primaire.

$\mu_{\tilde{A}}(x, u)$: Degré d'appartenance secondaire, représentant l'incertitude associée à chaque valeur u [247].

III.9.1.2. Fonction d'Appartenance Floue par Intervalles :

Pour simplifier les calculs, la logique floue par intervalles (Figure III.3) utilise une fonction d'appartenance réduite, définie par des bornes supérieure et inférieure. Forme mathématique :

$$\tilde{A}(x) = \cup_{u \in J_x} [\mu_{inf}(x), \mu_{sup}(x)] \quad (\text{III.5})$$

Où :

$\mu_{inf}(x)$: Limite inférieure de l'appartenance primaire.

$\mu_{sup}(x)$: Limite supérieure de l'appartenance primaire [247].

III.10. Surface de Fonctions d'Appartenance :

La représentation des fonctions d'appartenance floues de type 2 peut être visualisée sous forme de surfaces en 3D :

L'axe x représente les éléments de l'univers.

L'axe y représente le degré d'appartenance primaire u .

L'axe z montre l'incertitude secondaire $\mu_{\bar{A}}(x, u)$ [247].

III.10.1. Exemple Numérique :

Pour un ensemble de type 2 général, supposons un univers $X = [0,10]$ représentant une variable linguistique « Température ».

Pour $x = 5$, le degré d'appartenance primaire u peut varier dans l'intervalle $[0.6,0.8]$, avec une incertitude secondaire $\mu_{\bar{A}}(x, u)$ comprise entre 0.4 et 1.0 [247].

Pour un ensemble intervalle, à $x = 5$, la fonction d'appartenance peut être représentée par un intervalle $\mu_{\bar{A}}(x) = [0.6,0.8]$ avec incertitude nulle [248].

III.10.2. Représentation Graphique :

- Fonctions d'appartenance 2D : Courbes avec des bandes représentant les intervalles d'incertitude.
- Fonctions d'appartenance 3D : Surface illustrant les relations entre x, u , et $\mu_{\bar{A}}(x, u)$ [246].

III.11. Bande d'incertitude (Footprint of Uncertainty, FOU) :

III.11.1. Définition :

La bande d'incertitude, ou Footprint of Uncertainty (FOU), est un concept fondamental dans la logique floue de type 2. Elle représente la région d'incertitude entre les fonctions d'appartenance supérieures et inférieures d'un ensemble flou. La FOU est essentielle pour modéliser les incertitudes liées aux données et aux connaissances dans un système flou [247], [248].

III.11.2. Expression mathématique :

III.11.2.1. Fonction d'appartenance supérieure :

Cette fonction donne la valeur maximale de l'appartenance d'un élément x à l'ensemble flou A , en tenant compte de l'incertitude.

$$\mu_{A+}(x) = \max(\mu_A(x, \alpha)) \text{ pour } \alpha \in [0,1] \quad (\text{III.6})$$

Où :

$\mu_A(x, \alpha)$: la fonction d'appartenance floue de type 2.

α : représente l'élément d'incertitude (ou le degré de flou).

III.11.2.2. Fonction d'appartenance inférieure :

Cette fonction donne la valeur minimale de l'appartenance d'un élément x à l'ensemble flou A , en tenant compte de l'incertitude.

$$\mu_{A-}(x) = \min(\mu_A(x, \alpha)) \text{ pour } \alpha \in [0,1] \quad (\text{III.7})$$

III.11.2.3. Bande d'incertitude (FOU) :

La bande d'incertitude est définie comme la région située entre la fonction d'appartenance supérieure et la fonction d'appartenance inférieure, c'est-à-dire l'intervalle :

$$FOU(x) = [\mu_{A-}(x), \mu_{A+}(x)] \quad (\text{III.8})$$

III.11.2.4. Exemple graphique :

Un ensemble flou triangulaire de type 1 (Figure III.5) est élargi en un ensemble flou de type 2 avec une bande d'incertitude entre les frontières supérieure et inférieure. Ce graphique illustre l'étendue de l'incertitude modélisée par le FOU.

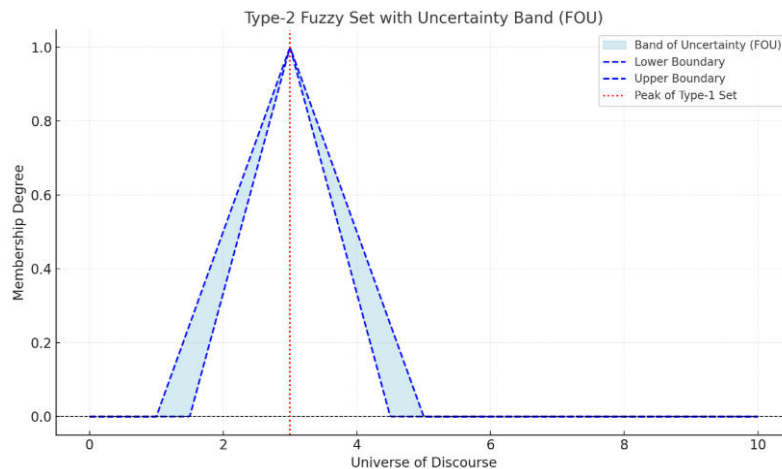


Figure III.5 - Ensemble Flou de Type 2 avec Bande d'Incertainitude (FOU)

III.11.3. Importance du FOU :

La bande d'incertitude (FOU) permet de capturer des incertitudes supplémentaires que les systèmes flous de type 1 ne peuvent pas gérer, offrant ainsi une meilleure modélisation des données imprécises et bruitées [238]. Cette capacité rend les systèmes basés sur la FOU plus robustes face aux données incertaines ou bruitées, améliorant ainsi leur fiabilité dans des environnements complexes [246]. En conséquence, la FOU est largement utilisée dans des domaines variés tels que la robotique, la prise de décision, et les systèmes de contrôle où la gestion fine de l'incertitude est essentielle [238], [246].

III.11.3.1. Gestion de l'incertitude :

La bande d'incertitude (FOU) permet de modéliser et de capturer des incertitudes additionnelles que les systèmes flous de type 1 ne peuvent pas prendre en compte, offrant ainsi une meilleure représentation des données imprécises.

III.11.3.2. Robustesse :

Les systèmes qui intègrent la FOU gagnent en robustesse, car ils sont capables de fonctionner efficacement même en présence de données bruitées ou de mesures imprécises.

III.11.3.3. Applications variées :

La FOU trouve des applications dans de nombreux domaines, notamment la robotique, la prise de décision, ainsi que dans les systèmes de contrôle, où la gestion fine de l'incertitude est cruciale.

III.11.4. Applications pratiques :

III.11.4.1. Robotique mobile :

Par exemple, pour un robot comme le Pioneer 3-DX, les données incertaines provenant des capteurs peuvent être modélisées efficacement grâce au FOU, ce qui améliore la navigation et l'évitement d'obstacles [243], [244].

III.11.4.2. Prise de décision en environnement incertain :

En gestion des risques ou en finance, la FOU aide à modéliser les incertitudes des prédictions ou des données d'entrée [246].

III.12. Formulation des degrés d'appartenance à deux niveaux :

La logique floue de type 2 (« Type-2 Fuzzy Logic ») étend les concepts de la logique floue classique (type 1) pour traiter des incertitudes supplémentaires en utilisant des degrés

d'appartenance à deux niveaux. Cette extension permet de modéliser non seulement l'imprécision des valeurs d'appartenance mais aussi l'incertitude qui les entoure, offrant ainsi une représentation plus complète et robuste des données incertaines [234][242].

III.12.1. Conception des Degrés d'Appartenance :

Dans un système de logique floue de type 2, les degrés d'appartenance sont formulés à l'aide de deux composantes principales [247] :

La fonction d'appartenance primaire (« Primary Membership Function ») : Elle définit les valeurs possibles de degrés d'appartenance dans l'intervalle, où et représentent respectivement les bornes inférieure et supérieure du degré d'appartenance.

La fonction d'appartenance secondaire (« Secondary Membership Function ») : Elle représente la densité ou le degré de confiance associé à chaque valeur de l'intervalle primaire [247].

La fonction d'appartenance $\mu_A(x)$ d'un ensemble flou de type 2 est une fonction floue qui dépend d'un paramètre supplémentaire α représentant l'incertitude. Les fonctions d'appartenance supérieure et inférieure, $\mu_{A^+}(x)$ et $\mu_{A^-}(x)$, donnent respectivement les valeurs maximales et minimales de cette fonction pour chaque élément x . La bande d'incertitude (FOU) est la zone entre ces deux fonctions, permettant de modéliser l'incertitude inhérente au système flou.

III.12.2. Applications dans la Navigation des Robots :

Dans des environnements incertains, les degrés d'appartenance à deux niveaux sont essentiels pour modéliser les perceptions imprécises du robot mobile ainsi que ses interactions avec les obstacles. Par exemple :

III.12.2.1. Capteurs incertains :

Les distances mesurées par des capteurs ultrasoniques sont souvent bruitées et peuvent être modélisées efficacement comme des degrés d'appartenance flous de type 2, permettant ainsi de mieux gérer les imprécisions des mesures [249].

III.12.2.2. Planification des trajectoires :

La logique floue de type 2 intègre l'incertitude dans le calcul des trajectoires à éviter, améliorant la fiabilité des algorithmes de navigation en conditions dynamiques et incertaines [250].

La formulation des degrés d'appartenance à deux niveaux constitue une base puissante pour gérer l'incertitude dans des systèmes complexes tels que la navigation robotique. Ce cadre offre une meilleure robustesse face à l'imprécision des données et aux perturbations

environnementales, renforçant ainsi la précision et la fiabilité des systèmes de contrôle basés sur la logique floue de type 2 [249], [250].

III.13. Structure d'un système flou de type 2 :

Étapes de traitement : fuzzification, inférence, réduction du type, défuzzification.

Un système flou de type 2 repose sur une architecture structurée en quatre étapes :

III.13.1. Fuzzification :

Cette étape consiste à convertir les entrées quantitatives (valeurs crisp) en ensembles flous de type 2. Chaque entrée est transformée en un degré d'appartenance à un intervalle avec une fonction secondaire associée.

III.13.1.1. Objectif :

Convertir les valeurs d'entrée précises (crisp values) en ensembles flous de type 2.

III.13.1.2. Processus :

- Déterminer les ensembles flous primaires (ensembles flous de base).
- Assigner à chaque valeur d'entrée un degré d'appartenance flou primaire $\mu(x)$, exprimant à quel point elle appartient à chaque ensemble flou.
- Pour la logique floue de type 2, le degré d'appartenance $\mu(x)$ n'est pas un seul nombre. Il est défini par un **intervalle** $[l(x), u(x)]$ où :

$l(x)$ est la limite inférieure.

$u(x)$ est la limite supérieure.

- Chaque point de cet intervalle est ensuite associé à une **fonction secondaire** $f(x)$, qui représente l'incertitude associée à ce degré d'appartenance.

III.13.1.3. Résultat :

Une entrée quantitative est transformée en un ensemble flou de type 2, représenté par une surface (et non un simple degré, comme en logique floue de type 1) [249].

III.13.1.4. Exemple :

Si l'entrée est une distance mesurée par un capteur :

Valeur crisp : 2.5 m.

Ensemble flou primaire : "*Proche*".

Intervalle d'appartenance : [0.6,0.8].

Fonction secondaire : Une distribution uniforme ou triangulaire définissant l'incertitude entre 0.6 et 0.8.

Cela permet de mieux gérer les incertitudes inhérentes aux données ou aux systèmes.

III.13.2. Inférence :

Les règles floues sont appliquées pour déduire des sorties floues en fonction des degrés d'appartenance des entrées. Chaque règle suit une structure de la forme :
où sont des ensembles flous de type 2.

III.13.2.1. Objectif :

Appliquer les règles floues pour déduire des sorties floues basées sur les degrés d'appartenance des entrées. Ces règles modélisent les relations entre les variables d'entrée et de sortie dans un système incertain.

III.13.2.2. Structure des règles :

Chaque règle suit une structure générale de la forme :
Si x_1 est A_1 et x_2 est A_2 alors y est B , où :

A_1 , A_2 , et B sont des ensembles flous de type 2 [249].

III.13.2.3. Processus d'inférence :

III.13.2.3.1. Évaluation des prémisses :

Les degrés d'appartenance des entrées x_1 et x_2 aux ensembles flous A_1 et A_2 sont calculés. Dans la logique floue de type 2, cela implique de considérer les **fonctions secondaires** associées aux ensembles flous [251].

III.13.2.3.2. Application des règles :

La relation logique (par exemple, AND, OR) est appliquée pour combiner les degrés d'appartenance des entrées.

- Pour un opérateur ET, la fonction d'agrégation utilisée est généralement une intersection floue (minimum ou produit).
- Pour un opérateur OU, une union floue (maximum ou somme) est utilisée [252].

III.13.2.3.3. Génération des sorties floues :

Les règles produisent des sorties floues de type 2, intégrant l'incertitude des degrés d'appartenance [251].

III.13.2.4. Résultat :

Une surface floue de type 2 est obtenue en sortie, représentant les différentes valeurs possibles pour y , avec leurs degrés d'appartenance incertains [252].

III.13.3. Réduction du Type :

Cette étape convertit les ensembles flous de type 2 en ensembles flous de type 1 en calculant un degré d'appartenance global pour chaque sortie possible. La méthode la plus courante est l'algorithme de Karnik-Mendel.

III.13.3.1. Objectif :

Convertir les ensembles flous de type 2 en ensembles flous de type 1. Cela simplifie les calculs et rend les résultats exploitables dans des systèmes de prise de décision ou de contrôle [253].

III.13.3.2. Processus :

- Chaque ensemble flou de type 2 est caractérisé par un intervalle d'appartenance et une fonction secondaire qui exprime l'incertitude.
- La réduction du type consiste à déterminer un degré d'appartenance global pour chaque sortie possible, éliminant ainsi l'incertitude liée aux fonctions secondaires [251].

III.13.3.2.1. Méthodes utilisées :

La méthode la plus courante est l'algorithme de Karnik-Mendel (KM). Cet algorithme calcule les valeurs limites inférieure et supérieure d'un intervalle d'appartenance global.

III.13.3.2.2. Étapes principales :

Initialisation d'une valeur moyenne pour le degré d'appartenance.

Itération pour ajuster les valeurs limites en utilisant des pondérations spécifiques.

Convergence vers des limites précises définissant l'intervalle final [253].

Une fois l'intervalle obtenu, une moyenne pondérée ou une autre méthode est utilisée pour transformer l'intervalle en un degré d'appartenance unique.

III.13.3.3. Résultat :

Un ensemble flou de type 1 est généré, qui peut être utilisé dans la dé-fuzzification pour produire une sortie crisp [252].

III.13.4. Défuzzification :

Enfin, les ensembles flous réduits sont transformés en valeurs quantitatives (crisp) en utilisant des méthodes comme la moyenne pondérée ou le centre de gravité :

III.13.4.1. Objectif :

Transformer les ensembles flous réduits (de type 1) en valeurs quantitatives précises (crisp). Cette étape permet de produire des sorties exploitables pour la prise de décision ou le contrôle.

III.13.4.2. Méthodes courantes :**III.13.4.2.1. Moyenne pondérée :**

Les valeurs crisp sont calculées comme une moyenne pondérée des résultats des règles floues.

Chaque valeur crisp est pondérée par son degré d'appartenance.

Formule générale :

$$y = \frac{\sum_{i=1}^n \mu_i \cdot y_i}{\sum_{i=1}^n \mu_i} \quad (\text{III.9})$$

Où y_i sont les sorties des règles, et μ_i les degrés d'appartenance associés.

III.13.4.2.2. Centre de gravité (CoG) :

Cette méthode est la plus courante pour la dé-fuzzification.

Le résultat crisp est déterminé par le **centre de masse** de l'aire sous la courbe de l'ensemble flou.

Formule générale :

$$y = \frac{\int y \cdot \mu(y) dy}{\int \mu(y) dy} \quad (\text{III.10})$$

Où $\mu(y)$ est la fonction d'appartenance pour la variable de sortie.

III.13.4.3. Exemple :

Dans un système de contrôle de robot :

Entrée floue : Distance détectée = "Proche".

Ensemble flou réduit : [0.4,0.6] (après réduction du type).

Valeur crisp obtenue : 0.5m en utilisant la moyenne pondérée ou le centre de gravité.

III.13.4.4. Résultat :

Une valeur quantitative unique est obtenue, représentant la meilleure estimation ou action à prendre basée sur les entrées du système [234], [236].

III.13.5. Rôle de la réduction du type :

La réduction du type (type-reduction) est une étape essentielle dans les systèmes basés sur la logique floue de type 2. Elle permet de convertir les ensembles flous de type 2 en ensembles flous de type 1 avant de procéder à une défuzzification. Cette réduction joue un rôle clé dans la gestion des incertitudes complexes [255].

III.13.5.1. Gestion des Incertitudes :

Dans un ensemble flou de type 2, les degrés d'appartenance sont eux-mêmes flous, engendrant une "zone d'incertitude". La réduction du type traduit cette zone en une valeur unique, facilitant la prise de décision.

III.13.5.2. Simplification des Calculs :

Les ensembles flous de type 2 augmentent la complexité computationnelle. La réduction du type simplifie le traitement en réduisant les calculs à une dimension (type 1), ce qui accélère les processus en temps réel.

III.13.5.3. Défuzzification Fiable :

La réduction du type précède l'étape de défuzzification, rendant les données floues utilisables dans des systèmes réels. Sans cette étape, la défuzzification pourrait entraîner des erreurs.

III.13.6. Comparaison avec la structure d'un système flou de type 1 :

Les systèmes flous de type 1 et de type 2 diffèrent principalement dans leur capacité à gérer l'incertitude et leur complexité structurelle. Voici une comparaison détaillée :

III.13.6.1. Structure des Ensembles Flous Type 1 :

Les ensembles flous de type 1 utilisent des fonctions d'appartenance précises. Chaque valeur d'entrée a un degré d'appartenance unique, généralement compris entre 0 et 1.

Exemple :

Un capteur mesure une distance de 2,5 mètres avec un degré d'appartenance unique à l'ensemble flou "Proche » [256].

Type 2 :

Les ensembles flous de type 2 incluent un "degré d'incertitude" autour de chaque degré d'appartenance. Cela permet de modéliser les imprécisions dans les données.

III.13.6.2. Capacité à Gérer l'Incertitude :

Type 1 : Les systèmes flous de type 1 sont efficaces pour gérer des problèmes bien définis où les incertitudes sont faibles ou négligeables.

Limitation : Ces systèmes ne modélisent pas bien les données bruitées ou ambiguës.

Type 2 : Les systèmes flous de type 2 sont conçus pour gérer des incertitudes significatives, notamment dans des environnements dynamiques ou bruités. Ils prennent en compte les variations des capteurs, des règles et des données.

III.13.6.3. Avantage :

Une meilleure robustesse dans les situations complexes, comme l'évitement d'obstacles en robotique [256].

III.13.6.3.1. Complexité des Calculs :

Type 1 : Plus simple et plus rapide à implémenter, avec une charge computationnelle faible.

Utilisation courante : Contrôle de processus industriels où les paramètres sont bien définis.

Type 2 : Plus complexe en raison de la réduction du type nécessaire avant la défuzzification.

Utilisation courante : Navigation robotique dans des environnements incertains, reconnaissance de formes [256].

III.13.6.3.2. Défuzzification :

Type 1 : La défuzzification est directe, utilisant des méthodes simples comme le centre de gravité.

Exemple : Un système flou type 1 calcule directement la vitesse d'un moteur à partir des entrées.

Type 2 : Nécessite une étape intermédiaire de réduction du type avant la défuzzification, ajoutant une couche de traitement.

Tableau III.2 - Comparaison entre FLC1 et FLC2

Caractéristique	Type 1	Type 2
Incertitude	Faible	Élevée
Complexité	Faible	Élevée
Défuzzification	Directe	Réduction du type requise
Utilisation	Environnements bien définis	Environnements dynamiques
Exemples d'application	Contrôle de température	Navigation robotique

III.14. Applications pratiques de la logique floue de type 2 :

La logique floue de type 2 est utilisée dans divers domaines pour sa capacité à gérer les incertitudes. Voici une exploration de ses applications principales :

III.14.1. Applications en Robotique (Navigation et Évitement d'Obstacles) :

La logique floue de type 2 est particulièrement utile en robotique, où les capteurs produisent souvent des données bruitées ou imprécises.

III.14.1.1. Navigation autonome :

Les robots mobiles utilisent des systèmes flous de type 2 pour planifier des trajectoires et s'adapter à des environnements dynamiques. Ces systèmes intègrent l'incertitude des capteurs, comme les ultrasons et les lidars, pour éviter les collisions.

III.14.1.2. Évitement d'obstacles :

La logique floue de type 2 permet de prendre en compte plusieurs sources d'incertitudes, comme la vitesse des objets en mouvement ou les variations dans les mesures des distances [257].

III.14.1.3. Applications dans la Prise de Décision en Environnement Incertain :

La logique floue de type 2 est utilisée pour modéliser des systèmes complexes où les décisions doivent être prises malgré des données imprécises ou contradictoires.

III.14.2. Gestion des risques :

Dans les systèmes financiers, les modèles flous de type 2 sont utilisés pour évaluer les risques d'investissement en tenant compte des incertitudes liées aux prévisions économiques [258].

III.14.3. Systèmes de santé :

Les algorithmes flous de type 2 aident à diagnostiquer des maladies ou à recommander des traitements, même lorsque les symptômes rapportés sont vagues ou subjectifs. Exemple : Un système peut évaluer les niveaux de douleur rapportés par des patients pour ajuster les doses d'analgésiques [259].

III.14.4. Exemple d'une Étude de Cas : Navigation d'un Robot Mobile :

III.14.4.1. Problématique :

Un robot mobile (Pioneer 3-DX) doit naviguer dans un environnement dynamique avec des obstacles statiques et en mouvement.

III.14.4.2. Solution :

III.14.4.2.1. Capteurs intégrés :

Le robot est équipé de capteurs ultrasoniques et lidars. Les données collectées sont modélisées avec des ensembles flous de type 2.

III.14.4.2.2. Planification et évitement :

Les distances mesurées sont traitées pour déterminer le niveau d'urgence des ajustements de trajectoire.

Une fonction floue de type 2 est utilisée pour pondérer les décisions en tenant compte des incertitudes des capteurs.

III.14.4.2.3. Résultats :

- Meilleure précision dans l'évitement d'obstacles.
- Navigation plus fluide même dans des environnements bruyants ou imprévisibles [1].

III.15. Avantages et limites :

La logique floue de type 2 offre des améliorations significatives par rapport à la logique floue de type 1, tout en introduisant des défis spécifiques liés à sa mise en œuvre.

III.15.1. Avantages par Rapport à la Logique Floue de Type 1 :

III.15.1.1. Meilleure gestion des incertitudes :

La logique floue de type 2 permet de modéliser des incertitudes à plusieurs niveaux grâce à ses ensembles flous élargis, ce qui améliore les performances dans des environnements bruités ou complexes.

Exemple :

Lorsqu'un capteur ultrasonique fournit des données bruitées, la logique floue de type 2 permet de générer des décisions plus robustes en prenant en compte la plage d'incertitude [260].

III.15.1.2. Flexibilité accrue dans les systèmes dynamiques :

Les systèmes flous de type 2 s'adaptent mieux aux environnements en changement rapide, comme ceux impliquant des obstacles mobiles [261].

III.15.1.3. Applications en fusion de données :

Ces systèmes peuvent intégrer plusieurs sources d'informations incertaines (par exemple, données de capteurs ou informations subjectives).

III.15.2. Défis d'Implémentation et Coûts de Calcul :

III.15.2.1. Complexité algorithmique accrue :

La réduction du type, une étape nécessaire avant la défuzzification, est computationnellement coûteuse.

Exemple :

Les algorithmes de Karnik-Mendel pour la réduction du type augmentent le temps de calcul, ce qui peut être un défi pour les applications en temps réel [263].

III.15.2.2. Consommation des ressources :

Les systèmes flous de type 2 nécessitent une mémoire et une puissance de calcul plus importantes, ce qui limite leur implémentation sur des plateformes embarquées [264].

III.15.2.3. Difficulté de conception des règles :

La conception de systèmes flous de type 2 peut être plus complexe en raison de la nécessité de modéliser les incertitudes supplémentaires [265].

Tableau III.3 - Comparatif des Avantages et Limites

Caractéristique	Logique Floue de Type 1	Logique Floue de Type 2
Gestion des incertitudes	Limitée	Étendue (multi-niveaux)
Complexité algorithmique	Faible	Élevée
Applications en temps réel	Facile	Complexe
Ressources requises	Modérées	Importantes
Robustesse	Bonne pour des environnements simples	Supérieure dans des environnements incertains

III.16. Outils et algorithmes pour la logique floue de type 2 :

La logique floue de type 2 nécessite des outils et algorithmes spécifiques pour gérer ses aspects complexes, notamment la réduction du type et la simplification des calculs, afin d'assurer une mise en œuvre efficace dans des applications pratiques.

III.16.1. Méthodes de Réduction du Type (Algorithmes Karnik-Mendel) :

La réduction du type est une étape cruciale qui transforme un ensemble flou de type 2 en un ensemble flou de type 1, préalable indispensable à la défuzzification.

III.16.1.1. Algorithme Karnik-Mendel classique :

Cet algorithme itératif calcule le centroïde d'un ensemble flou de type 2 en déterminant les limites inférieure et supérieure des degrés d'appartenance.

III.16.1.2. Algorithme optimisé :

Des variantes optimisées accélèrent les calculs en réduisant le nombre d'itérations nécessaires, ce qui est essentiel pour les applications en temps réel [252].

III.16.2. Outils Logiciels Supportant la Logique Floue de Type 2 :

Plusieurs outils logiciels facilitent la modélisation, la simulation et l'analyse des systèmes flous de type 2 :

III.16.2.1. MATLAB (Fuzzy Logic Toolbox) :

Offre des fonctionnalités avancées pour la modélisation des systèmes flous de type 2, y compris la création et l'évaluation des règles floues. Avantage : intégration facile avec d'autres outils scientifiques [253].

III.16.2.2. Java Fuzzy Logic (Juzzy) :

Framework open source spécialisé dans la logique floue de type 2, fournissant des implémentations des algorithmes de réduction du type [254].

III.16.2.3. Scilab :

Principalement orienté vers la logique floue de type 1, Scilab peut être adapté à la logique floue de type 2 grâce à des bibliothèques personnalisées [255].

III.16.2.4. Python (PyIT2FLS) :

Bibliothèque Python permettant l'implémentation et la simulation des systèmes flous de type 2, très utile pour l'intégration dans des projets d'intelligence artificielle [256].

Tableau III.4 - Comparatif des Outils Logiciels

Outil	Caractéristiques	Avantages
MATLAB	Simulation avancée, algorithmes intégrés	Interface conviviale
Juzzy	Implémentation open source des systèmes flous de type 2	Gratuit, extensible
Python (PyIT2FLS)	Bibliothèque légère pour la logique floue de type 2	Facilité d'intégration
Scilab	Compatible avec la logique floue intervalaire	Gratuit, adapté à l'enseignement

III.16.3. Techniques de Simplification des Calculs :

En raison de la complexité intrinsèque des systèmes flous de type 2, plusieurs techniques sont employées pour simplifier les calculs et améliorer la performance :

III.16.3.1. Approximation avec des ensembles flous intervalaires de type 2 (IT2FS) :

Les IT2FS réduisent la complexité computationnelle en bornant les degrés d'appartenance par des intervalles, simplifiant ainsi la gestion de l'incertitude.

III.16.3.2. Méthodes basées sur des règles simplifiées :

Réduction du nombre de règles floues tout en conservant une performance acceptable, optimisant ainsi la vitesse de traitement [258].

III.16.3.3. Utilisation de matériel dédié :

Les FPGA (Field-Programmable Gate Arrays) et GPU sont de plus en plus exploités pour accélérer les calculs flous grâce au traitement parallèle efficace des ensembles flous de type 2 [259].

III.17. Conclusion et perspectives :

La logique floue de type 2 représente une avancée significative dans la gestion des incertitudes complexes et l'amélioration de la prise de décision dans des environnements dynamiques. Elle offre de nombreux avantages tout en soulevant des défis qui ouvrent la voie à des recherches futures.

Résumé des Avantages de la Logique Floue de Type 2

Meilleure gestion des incertitudes

La capacité à modéliser des degrés d'appartenance flous au sein d'un cadre élargi rend la logique floue de type 2 particulièrement efficace pour traiter des données bruitées ou imprécises.

Applications dans des environnements dynamiques

Grâce à sa robustesse, la logique floue de type 2 est utilisée dans des domaines variés comme la robotique, la santé, et les systèmes financiers.

Flexibilité et adaptabilité

Les ensembles flous de type 2 s'adaptent mieux à des situations imprévues, comme l'évitement d'obstacles mobiles ou la fusion de données issues de sources multiples.

Amélioration des prises de décision

En tenant compte de plusieurs niveaux d'incertitudes, cette méthode offre des décisions plus fiables dans des contextes critiques.

Exemple :

Un robot autonome équipé de logique floue de type 2 améliore ses performances en navigation dans des environnements incertains.

Perspectives d'Amélioration et Recherches Futures

Réduction de la complexité algorithmique

Le développement de méthodes plus rapides pour la réduction du type, comme des algorithmes non itératifs ou basés sur l'apprentissage automatique, pourrait accélérer l'adoption en temps réel.

Les ensembles flous intervalaires (IT2FS) pourraient être davantage exploités pour réduire les besoins computationnels tout en maintenant une précision acceptable.

Implémentation sur matériel dédié

Utilisation de GPU, FPGA ou ASIC pour améliorer les performances des systèmes flous dans des applications embarquées.

Développement de plateformes hybrides combinant logique floue de type 2 et réseaux neuronaux pour tirer parti des deux approches.

Exploration de nouveaux domaines d'application

Transport autonome : Intégrer la logique floue de type 2 dans la gestion des systèmes de navigation pour les véhicules autonomes.

Systèmes de gestion de l'énergie : Développer des systèmes de contrôle pour optimiser les réseaux électriques intelligents dans des conditions de forte variabilité.

Fusion avec d'autres paradigmes

La combinaison avec des méthodes d'apprentissage profond ou des systèmes à base de règles pourrait offrir des solutions plus efficaces.

Par exemple, un modèle flou de type 2 guidé par l'apprentissage automatique pourrait améliorer les diagnostics médicaux en tenant compte d'une base de données complexe.

Amélioration des outils logiciels

Développer des bibliothèques plus accessibles et adaptées pour les langages populaires comme Python et Julia.

Intégrer la logique floue de type 2 dans des plateformes cloud pour la gestion de données massives.

IV. Résultats et discussions

IV.1. Problématique et Objectif du Chapitre :

La navigation autonome des robots mobiles dans des environnements complexes représente un défi majeur en robotique. Ces systèmes doivent prendre des décisions en temps réel, souvent dans des contextes marqués par l'incertitude, les imprécisions des capteurs et les dynamiques changeantes de l'environnement. La logique floue de type 2 offre une capacité accrue pour modéliser ces incertitudes complexes en tenant compte à la fois des degrés d'appartenance et des incertitudes associées à ces degrés.

IV.1.1. Problématique :

- Comment évaluer l'efficacité d'un système de navigation basé sur la logique floue de type 2 dans des environnements dynamiques et incertains ?
- Quels sont les avantages concrets de la logique floue de type 2 pour la navigation robotique par rapport à des approches traditionnelles ?
- Comment valider les performances simulées dans des scénarios réels en conditions incertaines ?

IV.1.2. Objectifs du chapitre :

Ce chapitre vise à :

- Présenter les avantages de la logique floue de type 2 dans la gestion des incertitudes pour la navigation robotique.
- Développer un contrôleur flou robuste basé sur la logique floue de type 2.
- Valider les résultats obtenus lors de simulations à travers des tests en environnement réel.

IV.1.3. Importance du chapitre :

L'importance de ce chapitre réside dans :

- **L'amélioration de la fiabilité des systèmes de navigation** : En intégrant une gestion avancée des incertitudes, cette étude contribue à rendre les robots plus adaptatifs et efficaces.
- **La validation des modèles théoriques** : Les résultats simulés seront testés dans des scénarios réels pour garantir leur pertinence pratique.
- **L'apport scientifique** : En se concentrant sur la logique floue de type 2, ce travail enrichit la littérature sur les systèmes intelligents en robotique.

IV.2. Préliminaires et Formulation du Problème :

Dans cette section, nous présentons tout d'abord le modèle cinématique du robot mobile, qui constitue la pierre angulaire du système de navigation développé dans cette étude. Ce modèle décrit les mouvements et l'orientation du robot dans un espace bidimensionnel en établissant les relations entre les vitesses linéaire et angulaire, ainsi que leurs impacts sur la position et l'orientation du robot.

Par la suite, les concepts fondamentaux liés à l'application des systèmes de logique floue de type 2 (FLS) sont abordés. Ces systèmes sont conçus pour gérer les incertitudes inhérentes et les complexités dynamiques des environnements réels. En étendant la logique floue classique, la logique floue de type 2 intègre une couche supplémentaire d'incertitude, ce qui permet une modélisation plus précise et une meilleure gestion des variations des mesures des capteurs ainsi que des conditions environnementales changeantes.

L'objectif de cette formulation est de proposer un cadre robuste pour la conception d'un système de navigation intelligent. Ce dernier doit permettre au robot d'atteindre une position cible tout en évitant les obstacles, et ce, même dans des scénarios complexes caractérisés par des niveaux élevés d'incertitude et de bruit. La méthodologie met l'accent sur l'intégration des contraintes cinématiques du robot avec les capacités de prise de décision des systèmes flous de type 2, garantissant ainsi une navigation adaptative et fiable.

Dans le cadre de ce travail, des simulations seront réalisées pour valider la navigation du robot dans différents environnements : un environnement libre d'obstacles, un environnement avec des obstacles fixes, et enfin un environnement avec des obstacles en mouvement.

IV.3. Modèle du Robot Mobile Utilisé dans Notre Travail :

Le robot mobile considéré dans cette étude est de type monocycle (uni-cycle) et est équipé de deux roues motrices indépendantes, chacune commandée par un moteur distinct. Ce type de robot est souvent complété par des roues folles, qui assurent sa stabilité sans affecter sa dynamique. La Figure IV.1 illustre la configuration simplifiée de ce robot mobile.

Dans un contexte réel, ce travail s'appuie sur le robot Pioneer 3-DX, utilisé comme plateforme expérimentale. Ce robot est muni d'un ensemble de capteurs permettant de :

Mesurer la distance entre le robot et les obstacles dans son environnement.

Estimer la vitesse linéaire et angulaire du robot.

La stratégie de navigation adoptée dans ce travail est une approche réactive, qui repose sur les mesures instantanées des capteurs pour ajuster les commandes en temps réel. Cette approche sera validée expérimentalement à l'aide du Pioneer 3-DX, en reproduisant différents scénarios pour évaluer ses performances dans des environnements dynamiques. Elle garantit une réactivité élevée face aux variations de l'environnement tout en maintenant la stabilité et la précision des trajectoires.

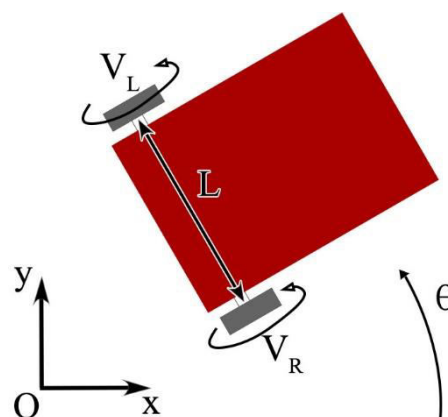


Figure IV.1 - Un modèle simplifié d'un monocycle comme un robot

IV.4. Modèle Cinématique :

Le modèle cinématique capture les mouvements d'une vaste classe de systèmes robotiques mobiles, souvent décrits par un modèle de type monocycle. La Figure IV.2 est illustré Ce modèle, qui détaille les rayons, les angles, les dimensions principales, ainsi que les relations géométriques entre le robot, la cible, et les obstacles présents dans l'environnement.

La Figure IV.2 met en évidence :

- Les vecteurs de position et les distances entre le robot, la cible et les obstacles.
- Les angles d'orientation du robot et leur relation avec les axes de référence.
- Les dimensions physiques essentielles du robot, telles que l'écartement des roues.

Ces éléments graphiques sont essentiels pour formuler les équations cinématiques qui :

- Décrivent le déplacement et l'orientation instantanés du robot.
- Permettent d'extraire les paramètres nécessaires pour concevoir des stratégies de navigation efficaces.

L'utilisation de ce modèle simplifié et des données associées facilite la conception des algorithmes de contrôle, en tenant compte des contraintes cinématiques et des exigences opérationnelles du robot dans des environnements complexes.

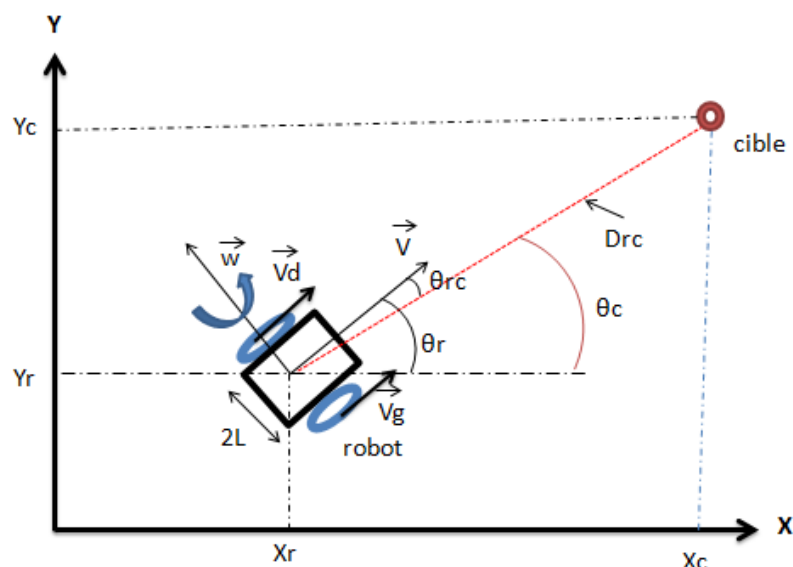


Figure IV.2 - Représentation géométrique et cinématique d'un robot mobile

de type uni-cycle avec obstacles et cible

Explication des codes courts de la figure IV.2 :

(x_r, y_r) : La position de robot.

(x_c, y_c) : Les coordonnées de point cible.

V : La vitesse linéaire.

ω : La vitesse angulaire.

V_d : La vitesse de la roue droite.

V_g : La vitesse de la roue gauche.

θ_r : L'orientation du robot.

θ_c : L'orientation de la cible.

θ_{rc} : L'angle entre l'orientation actuelle du robot et celle de la cible.

D_{rc} : La distance entre le robot et la cible.

L : La distance entre les deux roues du robot.

Le modèle cinématique du robot mobile peut être exprimé par :

$$\begin{cases} \dot{x} = V \cos(\theta_r) \\ \dot{y} = V \sin(\theta_r) \\ \dot{\theta} = \omega \end{cases} \quad (\text{IV.1})$$

Nous remplaçons la vitesse globale du robot pour qu'elle soit désormais calculée comme la moyenne des vitesses des roues gauche et droite, selon l'équation suivante :

Vitesse totale = (vitesse de la roue droite + vitesse de la roue gauche) \div 2.

Ce modèle est défini mathématiquement par les équations suivantes :

$$\begin{cases} \dot{x} = \frac{V_d + V_g}{2} \cos(\theta_r) \\ \dot{y} = \frac{V_d + V_g}{2} \sin(\theta_r) \\ \dot{\theta} = \frac{V_d - V_g}{2L} \end{cases} \quad (\text{IV.2})$$

Dans le cadre de mes travaux sur la localisation odométrique (Odometric Localization), j'ai adopté la méthode d'intégration d'Euler. Cette approche consiste à estimer la position actuelle du robot en calculant les variations mineures basées sur les vitesses des roues, puis en cumulant ces variations au fil du temps. Cette méthode est particulièrement adaptée en raison de sa simplicité computationnelle et de sa précision relative pour le suivi de trajectoire, notamment dans les systèmes nécessitant des mises à jour fréquentes et rapides de la position du robot.

$$\begin{cases} x_{k+1} = x_k + V_k T \cos(\theta_k) \\ y_{k+1} = y_k + V_k T \sin(\theta_k) \\ \theta_{k+1} = \theta_k + T \frac{V_k}{2L} \end{cases} \quad (\text{IV.3})$$

Nous obtenons une copie séparée de ce formulaire après compensation, qui est la suivante :

$$\begin{cases} x_{k+1} = x_k + \frac{V_{d_k} + V_{g_k}}{2} T \cos(\theta_k) \\ y_{k+1} = y_k + \frac{V_{d_k} + V_{g_k}}{2} T \sin(\theta_k) \\ \theta_{k+1} = \theta_k + T \frac{V_{d_k} + V_{g_k}}{2L} \end{cases} \quad (\text{IV.4})$$

Où :

- T Représente le temps d'échantillonnage.
- k Est un entier naturel qui commence à 0.

Ces équations capturent la dynamique cinématique essentielle du robot monocycle, reliant les vitesses appliquées aux roues à sa position et son orientation dans l'espace. Elles servent de base pour la conception des algorithmes de navigation et de contrôle du robot.

Dans ce qui suit, nous procéderons au calcul détaillé de chacune de D_{rc} et θ_{rc} , en tenant compte des spécifications et des méthodes adoptées dans cette étude.

Calcul de la distance entre le robot et la cible

$$\begin{cases} e_x = x_c - x_r \\ e_y = y_c - y_r \end{cases} \quad (\text{IV.5})$$

e_x : L'erreur entre x_r de robot et x_c de cible.

e_y : L'erreur entre y_r de robot et y_c de cible.

$$D_{rc} = \sqrt{e_x^2 + e_y^2} \quad (\text{IV.6})$$

Calcul de l'orientation entre le robot et la cible

$$\theta_c = \tan^{-1}\left(\frac{e_y}{e_x}\right) \quad (\text{IV.7})$$

$$\theta_{rc} = \theta_c - \theta_r \quad (\text{IV.8})$$

III.5. Comportement de navigation libre robot-cible :

La navigation robot-cible désigne une méthode de planification visant à guider un robot de manière efficace et précise vers une position cible prédéfinie, dans un environnement entièrement libre d'obstacles. Cette approche se concentre exclusivement sur la trajectoire optimale que le robot doit suivre, sans avoir à prendre en compte la détection ou l'évitement d'obstacles, ce qui simplifie considérablement le processus de navigation tout en permettant d'évaluer les performances fondamentales du système de navigation développé.

III.5.1. Structures de base de notre contrôleur flou robot-cible :

La structure de base de notre contrôleur (Figure IV.3) flou robot-cible est composée de trois blocs :

Le fuzzification, inférence et défuzzification.

Pour le comportement de navigation on utilise deux entrées : la distance entre le robot mobile et la cible D_{rc} , et l'angle entre l'orientation actuelle du robot et celle de la cible θ_{rc} .

Les sorties de notre contrôleur sont la vitesse de les roues gauche V_g et droite V_d .

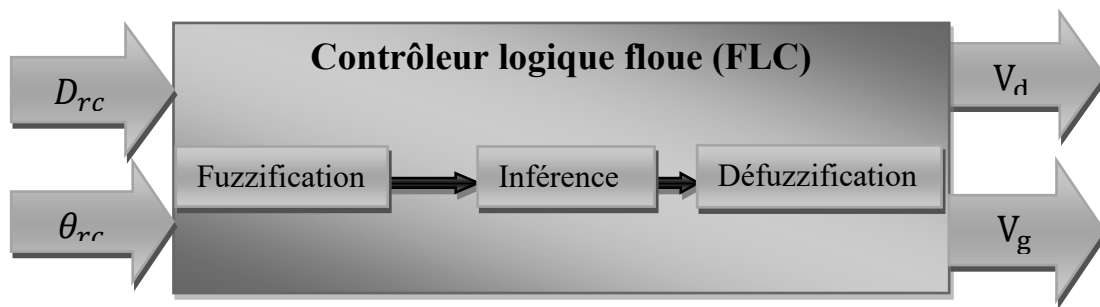


Figure IV.3 - Structure du contrôleur de navigation robot-cible.

III.5.2. Organigramme pour simuler la navigation libre d'une cible robot :

Le diagramme de simulation présenté à la figure IV.4 montre les différentes étapes du processus de navigation sans cible du robot dans un environnement sans obstacle. Cet organigramme décrit séquentiellement le fonctionnement du système de navigation et les interactions nécessaires entre ses différents modules.

Dans ce système, le robot reçoit d'abord les coordonnées d'une cible présélectionnée. Ensuite, à chaque étape, la position actuelle du robot est comparée à la position cible. Si la distance entre le robot et la cible dépasse une certaine tolérance, le système calcule les commandes de mouvement nécessaires pour rapprocher le robot de la cible en ligne droite, et ajuste la vitesse des roues gauche et droite avec le contrôleur flou. Ces calculs prennent en compte le modèle cinématique du robot monocycle pour garantir un mouvement précis.

Si la condition de proximité de la cible est remplie (la distance est inférieure à la tolérance spécifiée), le robot s'arrête, indiquant la fin du processus de navigation. Cette approche simplifiée convient aux environnements sans obstacles, permettant de se concentrer exclusivement sur la validation des performances de base du système de navigation sans inclure d'éléments complexes tels que l'évitement d'obstacles.

La figure IV.4 illustre visuellement ce flux, en distinguant les phases de prise de décision et d'exécution de l'ordre. Cet organigramme constitue une base essentielle pour comprendre les performances globales du système de navigation libre de cible du robot.

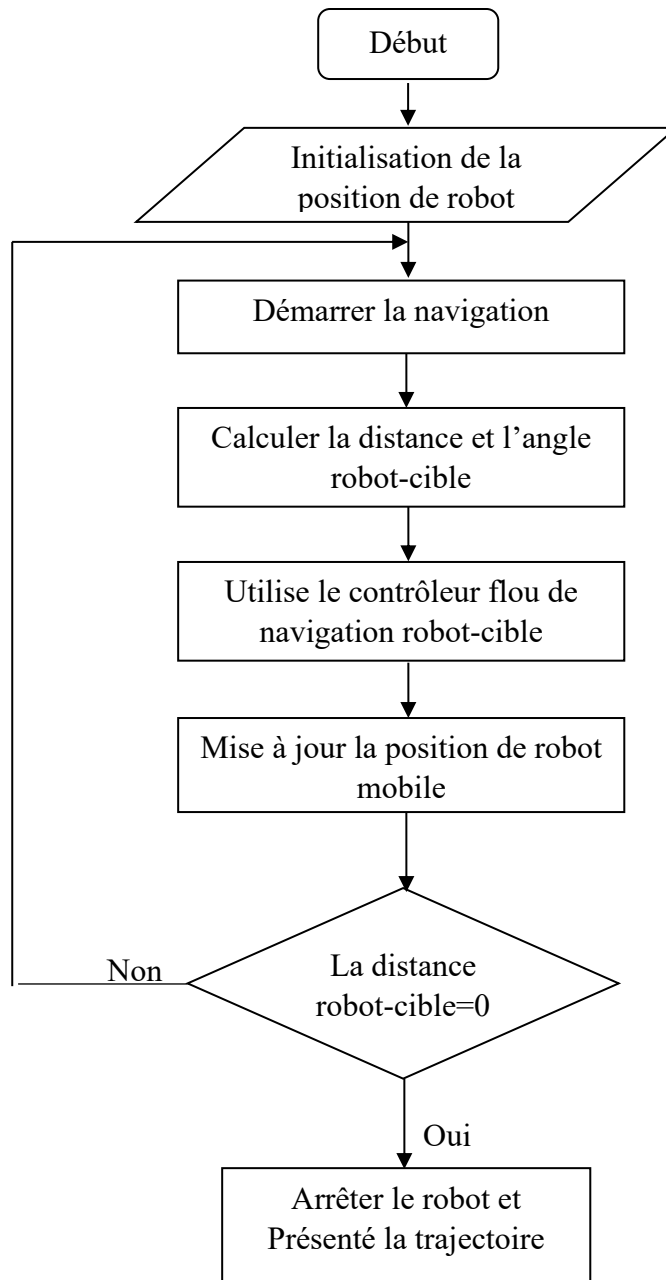


Figure IV.4 - Organigramme de navigation libre robot-cible

III.5.3. Fuzzification :

Les données fournies par les capteurs du robot sont converties en sous-ensembles flous, permettant de caractériser les variables linguistiques associées au système. Après plusieurs séries de tests, les fonctions d'appartenance utilisées pour représenter ces variables d'entrée (Figure IV.5-6-7-8) ; et de sortie ont été choisies parmi des formes trapézoïdales et triangulaires, en fonction de leur adéquation aux besoins du système.

Les valeurs d'entrée sont ensuite exprimées à travers des symboles linguistiques, facilitant leur interprétation dans le cadre de la logique floue utilisée pour la navigation du robot :

D_{rc} : petit (P), moyen (M), grand (G).

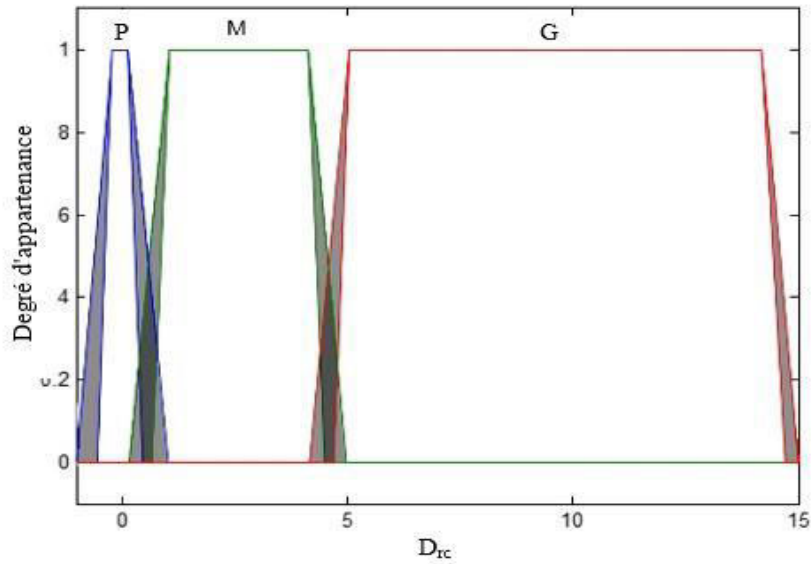


Figure IV.5 - Fonctions d'appartenance de D_{rc} (entrée FLC_RC)

θ_{rc} : grand négatif (GN), négatif (N), zéro (Z), positif (P), grand positif (GP).

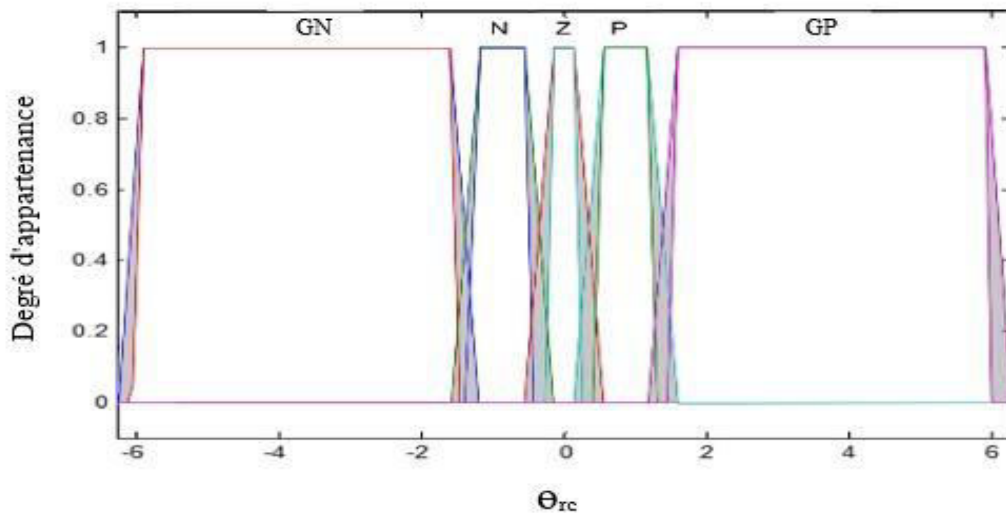


Figure IV.6 - Fonctions d'appartenance de θ_{rc} (les entrée FLC_RC)

Les valeurs de sortie sont également exprimées à travers des symboles linguistiques, permettant une interprétation simplifiée et efficace dans le cadre du processus décisionnel basé sur la logique floue, utilisé pour guider la navigation du robot.

V_g : zéro (**Z**), faible (**F**), moyen (**M**), rapide (**R**).

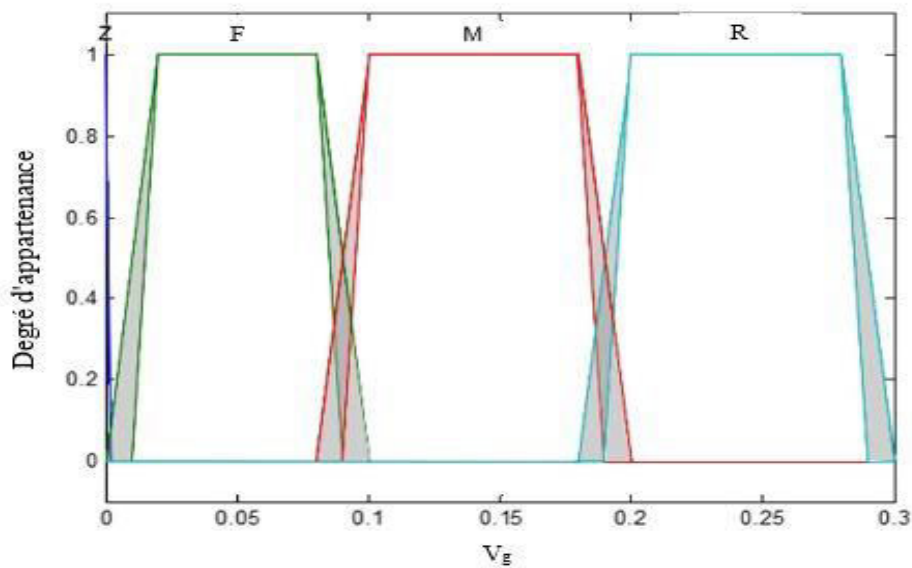


Figure IV.7 - Fonctions d'appartenance de V_g (sortie FLC_RC)

V_d : zéro (**Z**), faible (**F**), moyen (**M**), rapide (**R**).

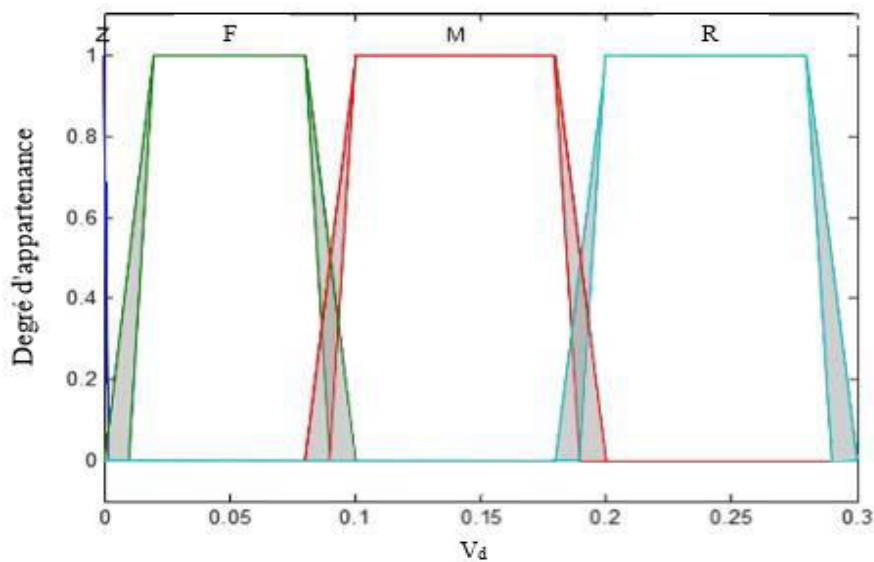


Figure IV.8 - Fonctions d'appartenance de V_d (sortie FLC_RC)

IV.5.4. Inférence Basée sur le Tableau :

Dans le cadre du système de navigation développé, l'inférence repose sur une table (Tableau IV.1) de règles floues qui établit une correspondance entre les variables linguistiques

d'entrée et les actions de sortie. Cette table, communément appelée **tableau d'inférence**, constitue le cœur du processus décisionnel et permet de traduire les informations fournies par les capteurs en commandes adaptées au robot.

Le tableau d'inférence est construit en associant chaque combinaison de valeurs linguistiques des variables d'entrée à une règle spécifique. Chaque règle détermine une réponse ou une action appropriée sous forme de valeurs linguistiques de sortie, prenant en compte les objectifs du système, tels que l'atteinte de la cible et la minimisation des écarts.

En appliquant ces règles, le système garantit une navigation fluide et précise, même dans des environnements où les données des capteurs peuvent être imprécises ou incertaines. Le tableau d'inférence représente donc une étape essentielle dans la mise en œuvre de la logique floue et constitue un outil clé pour interpréter les données et générer des actions adaptées.

Tableau IV.1 – Ensembles de règles floues Robot-Cible FLC_RC

D_{rc} / θ_{rc}	GN	N	Z	P	GP
P	Z/Z	Z/Z	Z/Z	Z/Z	Z/Z
M	R/F	R/M	M/M	M/R	R/F
G	R/F	R/M	R/R	M/R	R/F

Avec :

$$\begin{cases} e_{rcx} = (x_c - x) = D_{rc} \cos(\theta_{rc}) \\ e_{rcy} = (y_c - y) = D_{rc} \sin(\theta_{rc}) \\ \theta_{e_{rc}} = (\theta_{rc} - \theta) \end{cases} \quad (IV.9)$$

Ensuite, un contrôleur logique flou défini comme illustré doit être conçu pour garantir la minimisation des deux distances D_{rc} , θ_{rc} entre le robot et le but, c'est-à-dire garantir que $D_{rc} \rightarrow V_{pbp}$, $\theta_{rc} \rightarrow V_{pbp}$ lorsque $t \rightarrow \infty$. Il prend D_{rc} , θ_{rc} comme entrées et produit V_g et V_d comme sorties.

V_{pbp} : la valeur la plus basse possible.

Nous disons la valeur le plus bas possible car le robot ne peut pas s'adapter complètement à la cible. Par exemple, si nous allons en voiture à un endroit spécifique, que ce soit un magasin pour acheter des choses spécifiques, nous ne garons pas complètement la voiture à l'intérieur du magasin. Nous le garons donc à l'endroit le plus proche possible.

La base des règles pour le contrôleur flou Robot-Cible (Figure IV.4) est spécifiée dans le tableau IV.1

Un exemple de règle de contrôle flou est :

- si θ_{rc} est N et D_{rc} est M, alors V_d est R et V_g est M
- si θ_{rc} est Z et D_{rc} est P, alors V_d est Z et V_g est Z

IV.5.5. Défuzzification :

La méthode de défuzzification la plus couramment utilisée consiste à déterminer le centre de gravité de la fonction d'appartenance résultante. Cette approche est privilégiée en raison de sa simplicité et de la rapidité de son calcul. En effet, le calcul du centre de gravité permet d'obtenir une valeur représentative du système flou de manière efficace, ce qui en fait une méthode très populaire dans le domaine de la logique floue. Sa facilité de mise en œuvre et son efficacité en termes de traitement rapide en font une technique incontournable pour de nombreuses applications.

IV.5.6. Résultats de simulation :

Dans le but d'assurer l'efficacité optimale du logiciel utilisé pour le contrôle du robot Pioneer 3-DX, nous avons réalisé une série d'expérimentations portant sur la navigation dans toutes les directions possibles, en tenant compte des différentes libertés de mouvement du robot. Ces essais ont permis de tester et d'évaluer la réactivité du système dans divers scénarios, garantissant ainsi une performance fiable et précise dans toutes les configurations de déplacement.

Avant de présenter les résultats de la simulation, il est nécessaire de mentionner le logiciel utilisé pour simuler le robot, ainsi que le logiciel destiné à la cartographie. Nous mentionnerons également le programme intégré au robot.

IV.5.6.1. Programme mapper3 :

Le programme Mapper3 (Figure IV.9) est un logiciel conçu pour effectuer la cartographie dans un environnement donné en utilisant des données provenant de capteurs de position et de distance, généralement intégrés dans des robots mobiles. Son objectif principal est de permettre au robot de créer une représentation numérique de son environnement, ce qui lui permet de naviguer de manière autonome. Le programme utilise des algorithmes de cartographie, tels que la cartographie SLAM (Simultaneous Localization and Mapping), pour construire et mettre à jour en temps réel une carte de l'espace, tout en localisant précisément le robot à l'intérieur de cette carte. Mapper3 est souvent associé à des applications robotiques où la navigation et la planification de trajets sont essentielles, et où le robot doit être capable de s'adapter à des environnements.

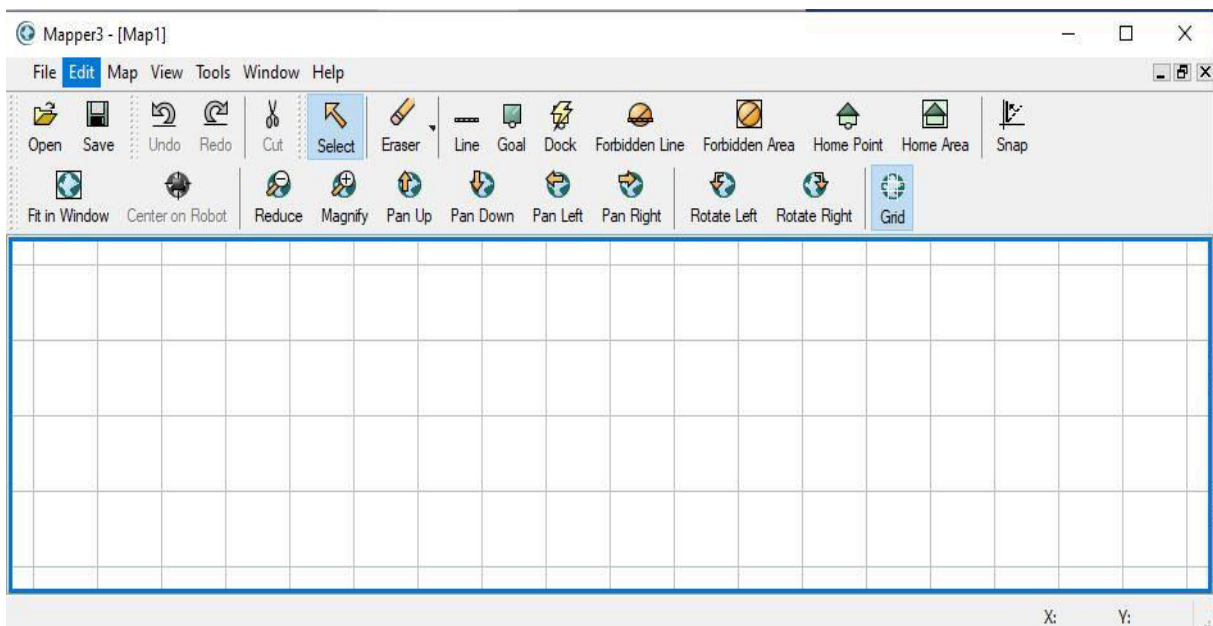


Figure IV.9 - Programme mapper3 interface

IV.5.6.2. Programme MobileSim :

Est un simulateur développé pour modéliser et analyser le comportement des robots mobiles dans des environnements variés. Il permet de simuler les déplacements, les interactions avec l'environnement, ainsi que les capacités sensorielles et de prise de décision des robots autonomes. Ce programme est souvent utilisé pour tester des algorithmes de contrôle, de navigation, de planification de trajectoire, ainsi que des stratégies d'évitement d'obstacles, sans avoir besoin de déployer des robots physiques.

MobileSim (Figure IV.10) permet aux chercheurs et ingénieurs de créer des scénarios réalistes où les robots mobiles interagissent avec des objets, des obstacles et d'autres entités dans un environnement simulé. Il offre une plateforme permettant de tester des solutions algorithmiques en matière de robotique mobile, tout en réduisant les coûts et les risques liés aux expérimentations physiques.

Les fonctionnalités typiques de MobileSim incluent :

- **Modélisation de robots mobiles** : Définition des caractéristiques physiques et sensorielles des robots, tels que la vitesse, la portée des capteurs, et la capacité d'adhérer aux contraintes de mouvement.
- **Navigation et planification de trajectoire** : Simulation des algorithmes de planification pour le déplacement autonome des robots dans des environnements dynamiques ou complexes.
- **Interaction avec l'environnement** : Modélisation d'obstacles, de zones d'intérêt, et d'autres éléments dynamiques dans le cadre de la navigation robotique.
- **Tests d'algorithmes de contrôle** : Expérimentation de différentes stratégies de contrôle pour l'orientation, la vitesse et l'évitement des obstacles.

En résumé, MobileSim est un outil précieux pour les chercheurs et les ingénieurs travaillant dans le domaine de la robotique mobile, permettant de simuler des comportements de robots dans divers contextes et d'optimiser des stratégies avant la mise en œuvre physique.



Figure IV.10 – Programme MobileSim interface

IV.5.6.3. Plan générale du programme :**Programmes secondaires :**

FLCT1 = Le premier contrôleur robot-cible 1

FLCT2 = La deuxième contrôleur robot-cible 2

FLCO1 = Le premier contrôleur robot-obstacle 1

FLCO2 = La deuxième contrôleur robot-obstacle 2

Programme principale :

Préparation de l'interface d'affichage

Connectez-vous au robot

Appeler les programmes secondaires (FLCT1, FLCT2, FLCO1 et FLCO2)

Les données nécessaires pour démarrer la simulation

Coordonnées de la position initiale du robot

Coordonnées cibles

Largeur du robot

Ts,

Commencez - tant que

Le robot n'a pas atteint la cible

Utiliser le contrôleur de cible du robot

Calculer les vitesses nécessaires des deux roues

Calculer de nouvelles coordonnées

Tant qu'il y a un obstacle

Le contrôleur a utilisé un robot obstacle

Calculer les vitesses nécessaires des deux roues

Sortez si vous passez l'obstacle

Calculer de nouvelles coordonnées

Sortez si vous atteignez l'objectif

Enregistrement des informations précédentes avec des chiffres et des courbes

Arrêter de se connecter au robot

• Remarque :

Codes très importants dans le programme Matlab qui ne peuvent être ignorés du tout pour travailler avec le robot Pioneer 3-dx.

aria_init : Ce code initialise la connexion avec le robot Aria (utilisé avec des robots comme le Pioneer 3-DX) et prépare le robot pour interagir avec le simulateur ou l'environnement de contrôle.

- **arrobot_connect** : Ce code établit une connexion entre le robot physique ou simulé et le programme de contrôle, permettant ainsi l'envoi et la réception de commandes entre le robot et l'ordinateur.
- **arrobot_setvel** : Ce code permet de définir la vitesse linéaire et angulaire du robot, contrôlant ainsi sa vitesse de déplacement et sa rotation dans l'environnement simulé ou réel.
- **arrobot_setrotvel** : Ce code permet de définir uniquement la vitesse angulaire (rotation) du robot, contrôlant ainsi sa vitesse de rotation sans affecter sa vitesse linéaire.
- **arrobot_stop** : Ce code arrête immédiatement le mouvement du robot en annulant toute vitesse linéaire et angulaire, le robot cesse de se déplacer.
- **arrobot_disconnect** : Ce code termine la connexion entre le robot et le programme de contrôle, libérant ainsi les ressources et mettant fin à l'interaction avec le robot.

IV.5.6.4. Étapes pour exécuter la simulation :

Pour réaliser la simulation, les étapes suivantes doivent être prises en compte

Vérifier l'exactitude du programme MATLAB utilisé dans notre simulation

Ouvrez Matlab et MobileSim

La simulation se fait à l'aide du programme Matlab, la connexion est donc automatique avec le programme MobileSim, avec l'introduction de codes spéciaux pour cela, comme nous l'avons mentionné précédemment.

IV.5.6.5. Test 1 :

Comme mentionné précédemment, nous prenons toutes les directions (Figure IV.11) possibles pour garantir le bon fonctionnement de notre programme pour le système de navigation libre et sans obstacles.

La position initiale de robot mobile est : $(x, y, \theta) = (0, 0, 0)$

La cible est les points $(x,y)=(3,0)$, $(x,y)=(3,3)$, $(x,y)=(3,-3)$, $(x,y)=(-3,0)$
 $(x,y)=(-3,3)$, $(x,y)=(-3,-3)$, $(x,y)=(0,3)$, $(x,y)=(0,-3)$.

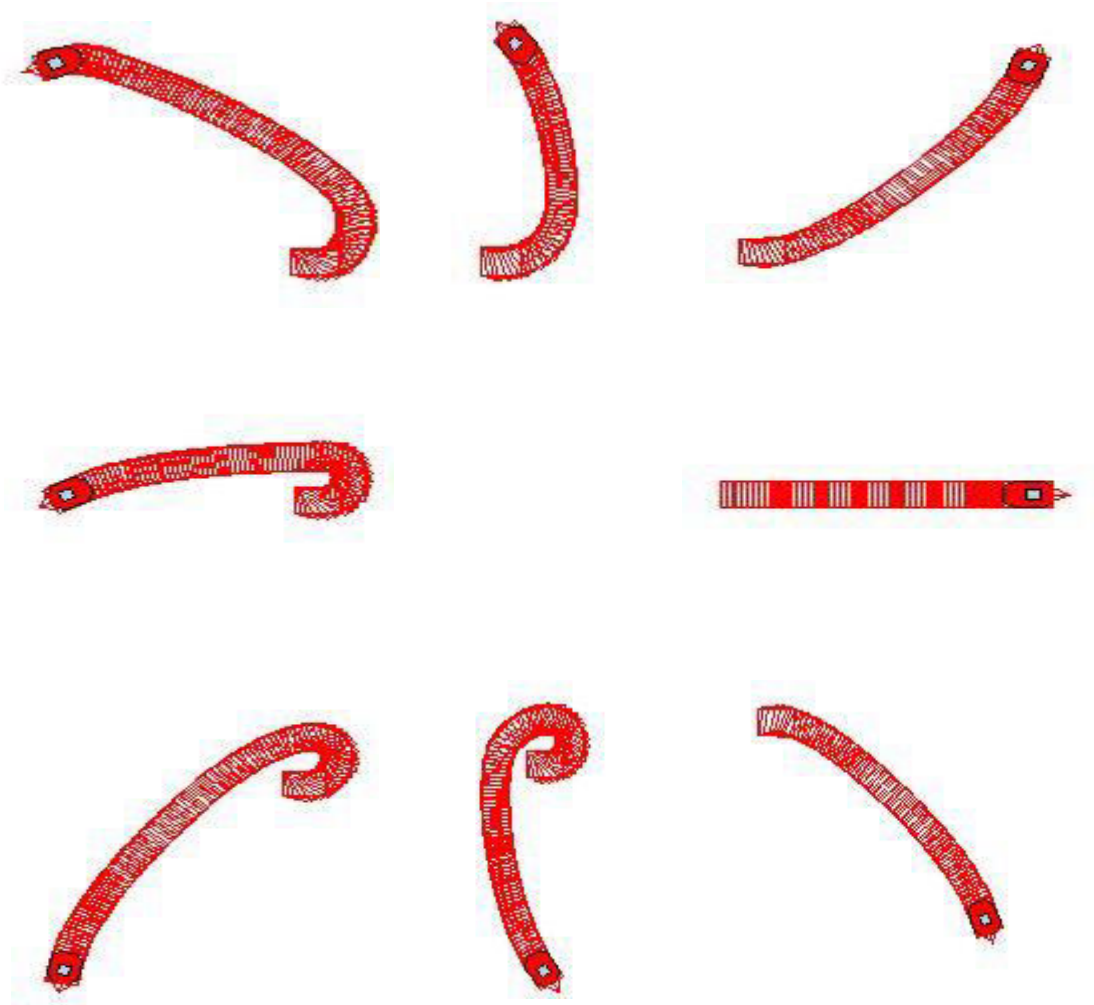


Figure IV.11 - Navigation libre robot-cible toutes les directions

IV.5.6.6. Conclusion :

La simulation réussie d'un système de navigation robotique dans un environnement libre de tout obstacle, utilisant la logique floue de type 2 dans toutes les directions, démontre l'efficacité et la robustesse de cette approche pour gérer les incertitudes et les variations dans l'environnement. Cette méthode a permis au robot de naviguer de manière fluide et précise dans un espace sans obstacles, avec des décisions de navigation adaptées à des conditions dynamiques. Cependant, pour progresser vers la navigation dans des environnements plus complexes, caractérisés par des obstacles fixes, il sera nécessaire d'intégrer des stratégies d'évitement d'obstacles et d'optimiser davantage les algorithmes de planification. Cette transition ouvrira la voie à des solutions plus réalistes et applicables dans des scénarios réels de robotique mobile.

IV.6. Comportement de navigation autonome d'un robot dans un environnement avec obstacles fixes à l'aide de la logique floue de type 2 :

La navigation autonome d'un robot dans un environnement libre avec obstacles fixes utilisant la logique floue de type 2 représente une approche avancée pour guider un robot vers un objectif tout en tenant compte des incertitudes et de la variabilité de son environnement. Basé sur l'expérience précédente de navigation sans obstacle, ce système de navigation utilise des règles de logique floue de type II pour gérer efficacement le processus de prise de décision, en particulier lors de la rencontre d'obstacles fixes via un autre contrôleur d'évitement d'obstacles. Contrairement à la navigation dans des environnements totalement sans obstacles, cette méthode nécessite une planification dynamique qui consiste à identifier et à éviter les obstacles statiques tout en maintenant une trajectoire optimale. L'application de cette approche permet non seulement d'améliorer les performances de navigation du robot, mais également de tester sa capacité à s'adapter à des conditions réelles plus complexes, tout en assurant une gestion fluide des différentes contraintes environnementales.

IV.6.1. Modèle Cinématique :

Le deuxième objectif d'un système de navigation robotique est d'éviter les collisions avec les obstacles.

En utilisant des capteurs adaptés (ultrasons, laser, caméra) pour détecter les obstacles, le vecteur d'erreur entre la position réelle du robot et l'obstacle le plus proche peut être défini en considérant les deux variables suivantes :

- D_{ro} comme la distance actuelle entre le robot (r) et l'obstacle le plus proche (o), exprimée par :

Calcul de la distance entre le robot et l'obstacle

$$\begin{cases} e_x = x_o - x_r \\ e_y = y_o - y_r \end{cases} \quad (\text{IV.10})$$

e_x : L'erreur entre x_r de robot et x_o d'obstacle.

e_y : L'erreur entre y_r de robot et y_o d'obstacle.

$$D_{ro} = \sqrt{e_x^2 + e_y^2} \tag{IV.11}$$

- θ_{ro} comme l'angle entre le robot (r) et l'obstacle (o). θ_{ro} S'exprime par :

Calcul de l'angle entre le robot et l'obstacle.

$$\theta_r = \tan^{-1}\left(\frac{e_y}{e_x}\right) \tag{IV.12}$$

$$\theta_{ro} = \theta_o - \theta_r \tag{IV.13}$$

IV.6.2. Structures de contrôleur flou de navigation avec évitement d'obstacle :

On utilise des captures ultrason pour observer l'environnement de la navigation, Nous avons limité le champ global de perception du robot, pour obtenir une précision relative à la position des obstacles par rapport à notre robot.

Pour la navigation avec évitement d'obstacle on utilise deux contrôleurs flous (Figure IV.12), contrôleur de navigation robot-cible et contrôleur de navigation avec évitement d'obstacle, chaque contrôleur fonction selon la présence ou l'absence des obstacles, dans le cas d'aucune obstacle le contrôleur de navigation robot-cible guide le robot vers la cible, et s'il y a d'obstacles le contrôleur de navigation avec évitement d'obstacle guide le robot pour éviter les obstacles.

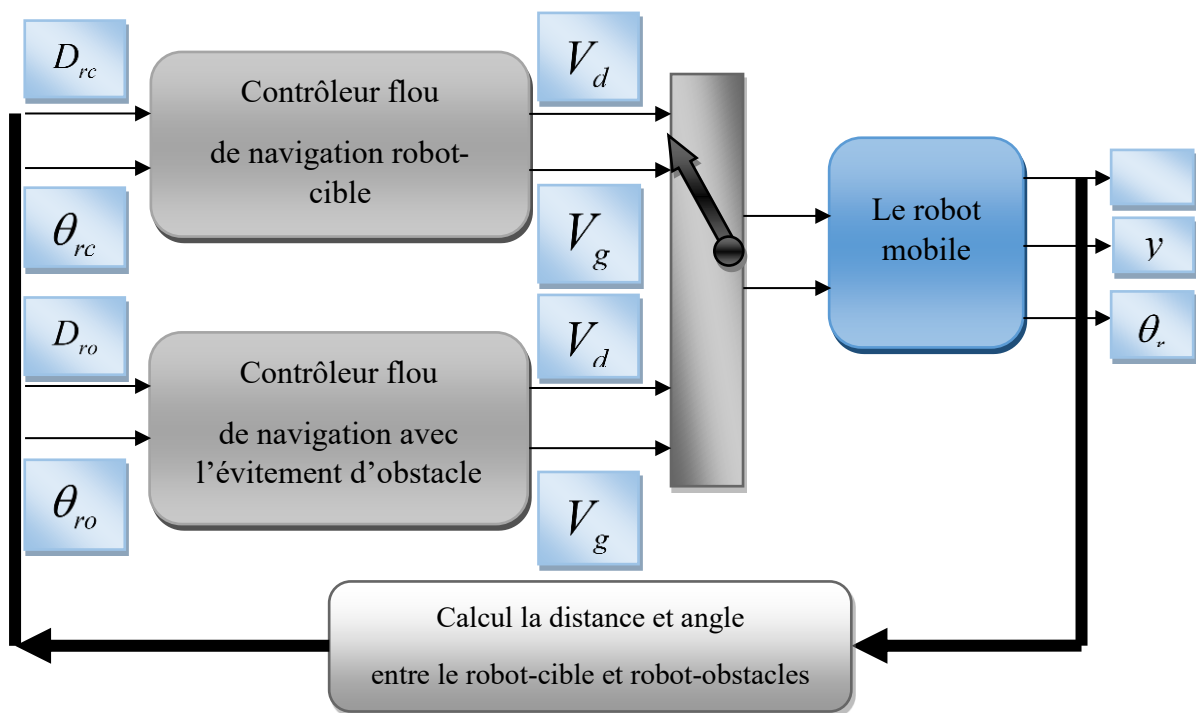


Figure IV.12 - Structure du contrôleur de navigation avec évitement d'obstacle

IV.6.3. Organigramme pour simuler la navigation robot-obstacles-fixes :

Le diagramme de simulation présenté à la figure IV.13 illustre les différentes étapes du processus de navigation d'un robot dans un environnement comportant des obstacles fixes. Cet organigramme décrit de manière séquentielle le fonctionnement du système de navigation, tout en intégrant la détection et l'évitement des obstacles fixes tout au long du parcours.

Dans ce système, le robot reçoit les coordonnées d'une cible présélectionnée et doit ensuite planifier son trajet en prenant en compte la présence d'obstacles fixes. À chaque étape, la position actuelle du robot est comparée à la position cible, tout en tenant compte des obstacles situés sur la trajectoire. Si la distance entre le robot et la cible dépasse une certaine tolérance, le système utilise des algorithmes de logique floue pour ajuster les commandes de mouvement du robot, afin d'éviter les obstacles et de maintenir la direction optimale vers la cible.

Lorsqu'un obstacle fixe est détecté, le système évalue différentes trajectoires alternatives pour contourner l'obstacle, tout en maintenant l'objectif de rapprocher le robot de la cible. Les calculs de mouvement ajustent la vitesse des roues gauche et droite du robot en fonction des données fournies par le contrôleur flou, garantissant une navigation fluide et efficace dans un environnement plus complexe.

Lorsque le robot atteint la cible ou que la distance entre le robot et la cible est inférieure à une tolérance définie, le robot s'arrête, signalant la fin du processus de navigation. Cet organigramme permet de tester et valider la capacité du système à naviguer dans un environnement avec obstacles fixes, tout en assurant une planification de trajectoire robuste et une gestion efficace des contraintes environnementales.

La figure IV.13 présente visuellement ce flux, en distinguant clairement les étapes de prise de décision et d'exécution, tout en intégrant les phases de détection d'obstacles et d'évitement. Cet organigramme constitue une base essentielle pour comprendre les performances du système de navigation robotique dans un environnement plus réaliste.

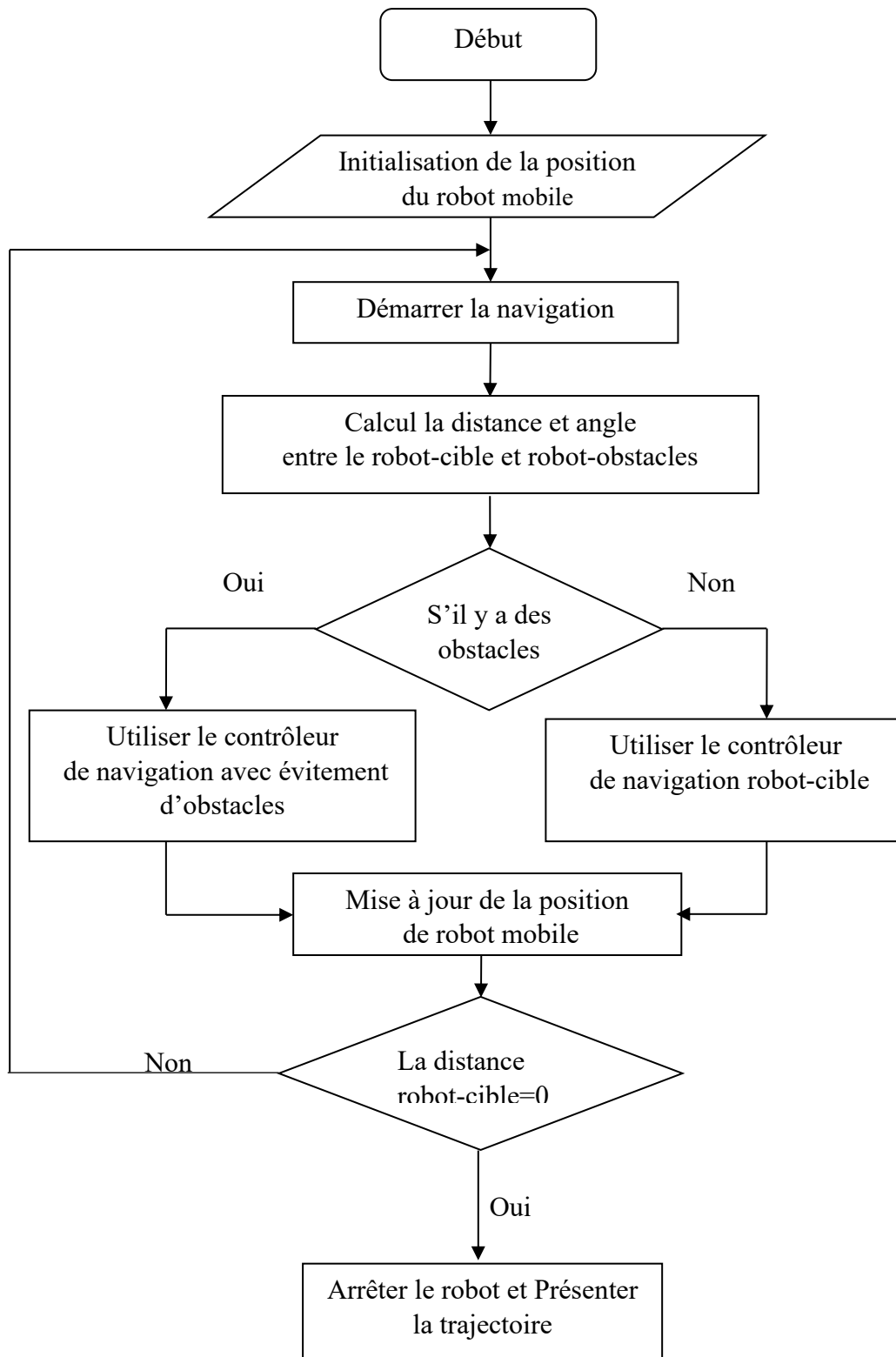


Figure IV.13 - Organigramme de navigation avec évitement d'obstacle

IV.6.4. Fuzzification :

Les données fournies par les capteurs du robot sont converties en sous-ensembles flous, permettant de caractériser les variables linguistiques associées au système. Dans le cadre de la navigation avec des obstacles fixes, les capteurs détectent non seulement la position relative de la cible, mais aussi les obstacles présents dans l'environnement. Ces informations sont ensuite traitées pour ajuster les trajectoires du robot en fonction des obstacles rencontrés. Après plusieurs séries de tests, les fonctions d'appartenance utilisées pour représenter ces variables d'entrée et de sortie (Figure IV-14-15-16-17) ont été choisies parmi des formes trapézoïdales et triangulaires, en fonction de leur adéquation aux besoins du système, en particulier pour garantir une gestion précise des situations d'évitement d'obstacles.

Les valeurs d'entrée, telles que la distance à la cible et la distance aux obstacles fixes, sont ensuite exprimées à travers des symboles linguistiques, facilitant leur interprétation dans le cadre de la logique floue utilisée pour la navigation du robot. Ces symboles permettent au système de prendre des décisions appropriées pour ajuster la vitesse et la direction du robot, en tenant compte des obstacles fixes et en évitant les collisions, tout en maintenant une trajectoire optimale vers la cible. Ainsi, la logique floue permet de gérer les incertitudes et de guider le robot de manière fluide et sécurisée à travers un environnement avec obstacles fixes.

Dans la suite nous ajouterons un contrôleur pour la navigation robot-obstacle tout en gardant le contrôleur précédent tel quel car il est totalement réussi.

D_{ro} : petit (P), moyen (M), grand (G).

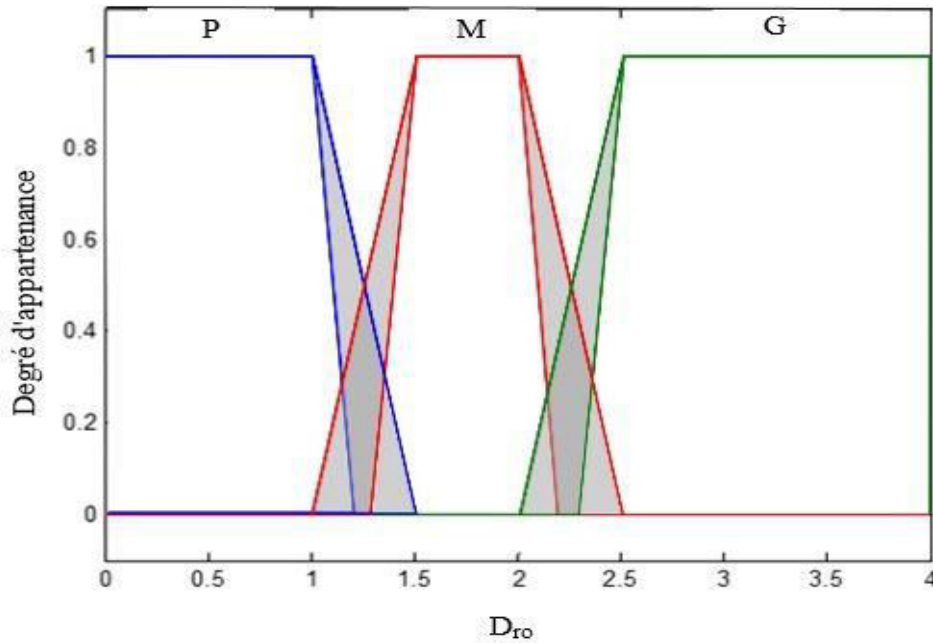


Figure IV.14 - Fonctions d'appartenance de D_{ro} (entrée FLC_RO)

θ_{ro} : grand négatif (GN), négatif (N), zéro (Z), positif (P), grand positif (GP).

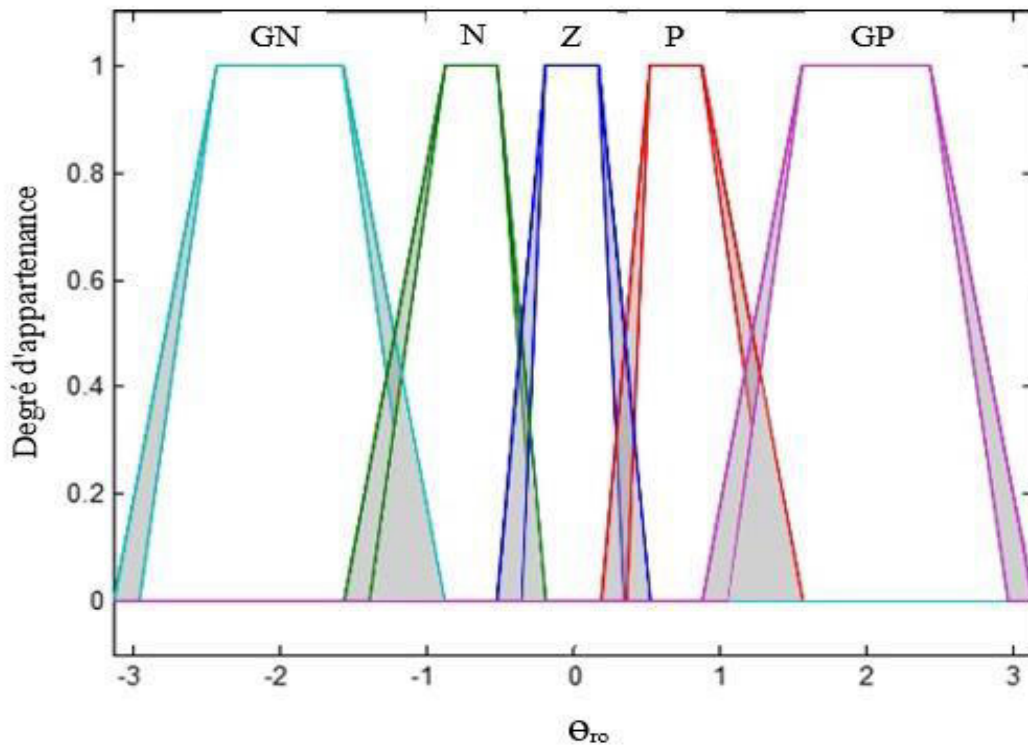


Figure IV.15 - Fonctions d'appartenance de θ_{ro} (entrée FLC_RO)

Les valeurs de sortie sont également exprimées au moyen de symboles linguistiques, permettant une interprétation simplifiée et efficace dans le cadre du processus décisionnel basé sur la logique floue utilisé pour guider la navigation lors de l'évitement d'obstacles.

V_g : zéro (**Z**), faible (**F**), moyen (**M**), rapide (**R**).

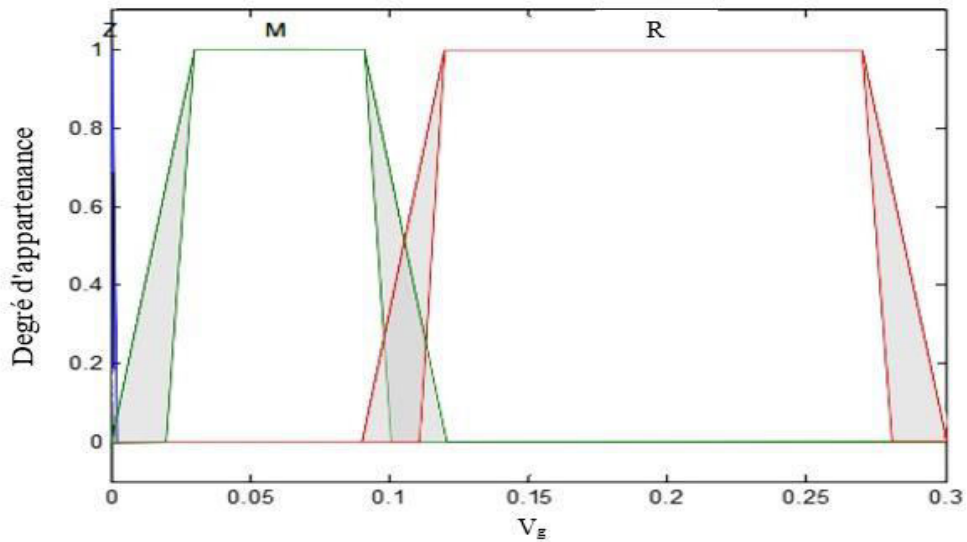


Figure IV.16 - Fonctions d'appartenance de V_g (sortie FLC_RO)

V_d : zéro (**Z**), faible (**F**), moyen (**M**), rapide (**R**).

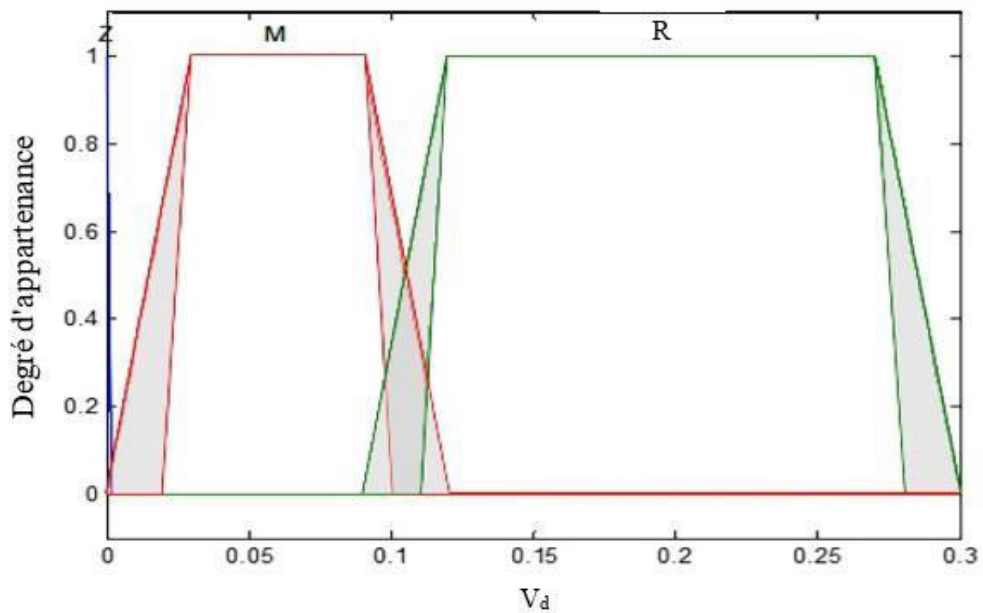


Figure IV.17 - Fonctions d'appartenance de V_d (sortie FLC_RO)

IV.6.5. Inférence Basée sur le Tableau :

En appliquant ces règles, le système peut garantir une navigation fluide et précise, même dans des environnements où les données des capteurs peuvent être inexactes ou incertaines, en tenant compte de la présence et de la position d'obstacles fixes. La table d'inférence (Tableau IV.2) constitue donc une étape essentielle dans la mise en œuvre de la logique floue et devient un outil clé pour interpréter les données sensorielles, générer des actions appropriées et assurer une navigation sûre, tout en évitant les collisions avec des obstacles fixes.

Tableau IV.2 – Ensembles de règles floues Robot-Obstacle FLC_RO

D_{ro} / θ_{ro}	GN	N	Z	P	GP
P	M/R	Z/M	Z/F	M/Z	F/M
M	R/R	M/M	M/M	M/M	R/R
G	R/R	R/R	R/R	R/R	R/R

Avec :

$$\begin{cases} e_{rox} = (x_o - x) = D_{ro} \cos(\theta_{ro}) \\ e_{roy} = (y_o - y) = D_{ro} \sin(\theta_{ro}) \\ \theta_{e_{ro}} = (\theta_{ro} - \theta) \end{cases} \quad (IV.14)$$

La règle du contrôleur flou d'évitement d'obstacles (Figure IV.12) est définie dans le tableau IV.2, où la distance relative et l'orientation entre le robot et l'obstacle le plus proche sont définies comme entrées de ce module, et les vitesses des roues gauche/droite sont définies comme sorties. Les variables linguistiques correspondant à cette unité sont mises en évidence dans les figures IV.14-15-16-17 et sont définies comme suit :

Un exemple de règle de contrôle flou est :

- Si θ_{ro} est P et D_{ro} est G, alors V_d est R et V_g est R
- Si θ_{ro} est GP et D_{ro} est P, alors V_d est R et V_g est M

IV.6.6. Défuzzification :

La méthode de défuzzification la plus couramment utilisée consiste à déterminer le centre de gravité de la fonction d'appartenance résultante. Cette approche est privilégiée en raison de sa simplicité et de la rapidité de son calcul. En effet, le calcul du centre de gravité permet d'obtenir une valeur représentative du système flou de manière efficace, ce qui en fait une méthode très populaire dans le domaine de la logique floue. Sa facilité de mise en œuvre et son efficacité en termes de traitement rapide en font une technique incontournable pour de nombreuses applications.

IV.6.7. Résultats de simulation :

Afin d'assurer l'efficacité optimale du programme utilisé pour contrôler le robot Pioneer 3-DX, nous avons mené une série d'expérimentations liées à la navigation avec évitement d'obstacles statiques pour plusieurs aménagements, en tenant compte des différentes libertés de mouvement du robot. Ces expériences ont permis de tester et d'évaluer la réponse du système dans différents scénarios, garantissant des performances fiables et précises dans différents scénarios d'obstacles.

IV.6.7.1. Test-1 :

Dans le premier test, nous avons considéré le problème du déplacement du robot depuis une position de départ, définie par $SP = [0 \ 0]$, vers une position cible $SP = [3 \ 2]$ (modélisée à l'aide de triangles remplis de noir), dans un environnement encombré avec cinq obstacles polygonaux fixes, comme le montre la figure IV.18. Ici, on observe que la configuration cible est située dans une zone dangereuse du fait de sa proximité avec l'obstacle. Les résultats de l'application de l'approche proposée sont présentés. Les résultats obtenus démontrent l'efficacité de la stratégie proposée en termes d'orientation du robot vers sa configuration cible tout en tenant compte des limites cinématiques du robot et en évitant les collisions avec des obstacles.

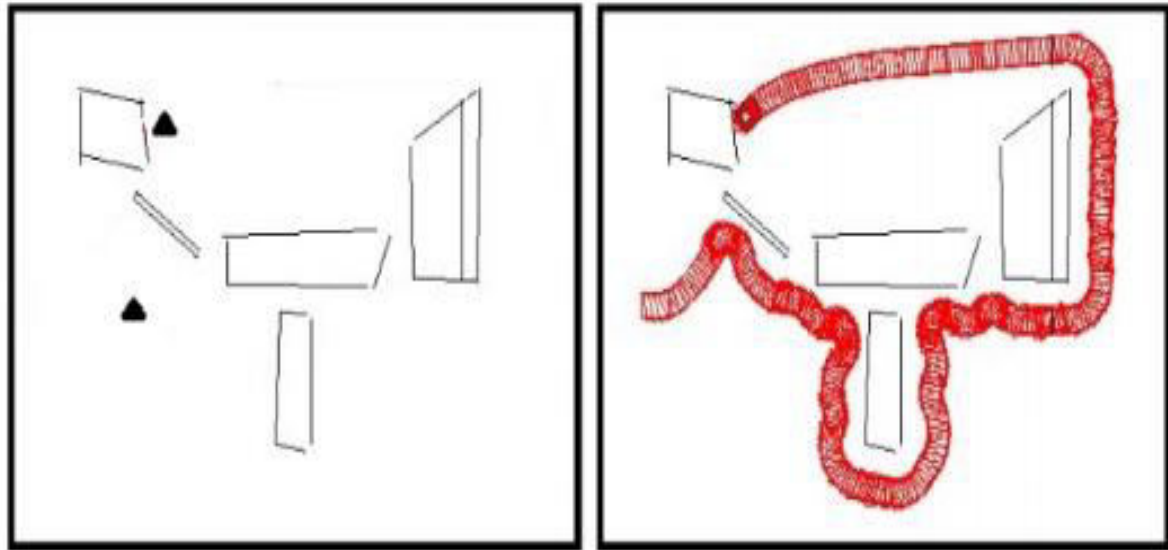


Figure IV.18 - *Navigation avec l'évitement d'obstacle test-1*

IV.6.7.2. Test-2 :

L'ergonomie illustrée à la figure IV-19 a été utilisée dans le deuxième test. Cet environnement est en forme de U (concave), ce qui représente une zone très dangereuse en robotique, puisque la plupart des méthodes de navigation interactive existantes peuvent facilement se retrouver piégées dans des minimas locaux. Les résultats obtenus démontrent l'efficacité de la méthode proposée pour surmonter le problème des minimas locaux.

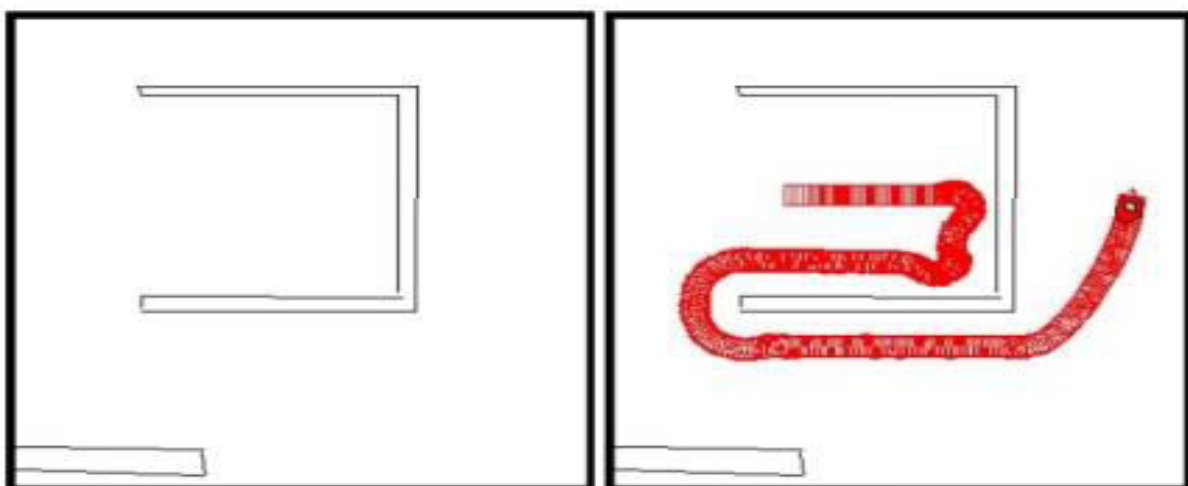


Figure IV.19 - *Navigation avec l'évitement d'obstacle forme U test-2*

IV.6.7.3. Test-3 :

En supposant que le point de départ est le principe (0 ; 0), le point d'arrivée est de coordonnées (10.3 ; - 0.136) comme le montre la figure IV.20. Il s'agit d'expérimenter la navigation du robot au laboratoire LSI de l'Université de Sétif du premier bureau au bureau d'en face en passant par le couloir, sachant que les obstacles sont fixes et les résultats sont comme sur la figure 3.19. Il a été atteint avec succès sans aucune collision ni problème.

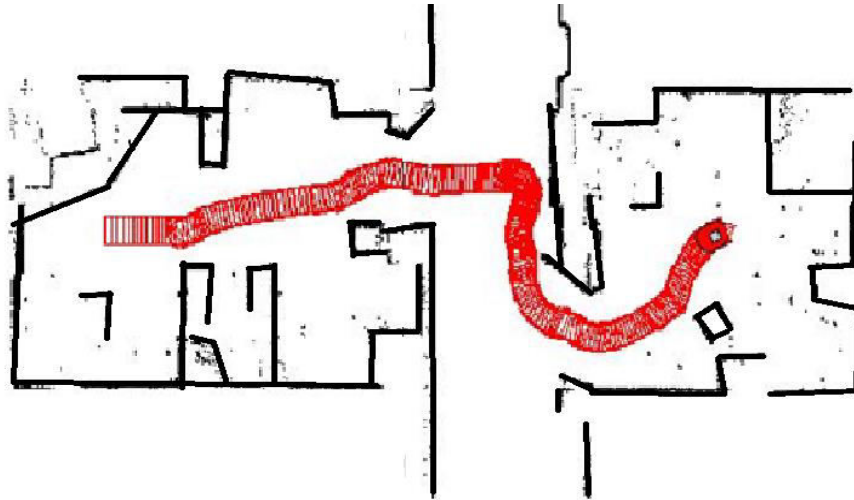


Figure IV.20 - Navigation dans le laboratoire LSI-univ-setif test-3

IV.6.7.4. Test-4 :

Dans le même laboratoire (Figure IV.21), nous partirons du même point de départ jusqu'au dernier bureau du couloir pour les coordonnées (3.5 ; 13.6). Il a été atteint avec succès aussi sans aucune collision ni problème. Dans ce cas, lorsque le robot tombait dans un coin étroit, il reculait plusieurs fois dans le premier coin, figure IV.22, jusqu'à en sortir sans heurter aucun mur. Comme pour le deuxième coin de la figure IV.23., reculer une fois suffisait pour sortir de ce virage serré. Par conséquent, cette méthodologie s'est révélée extrêmement efficace, même dans les virages serrés.

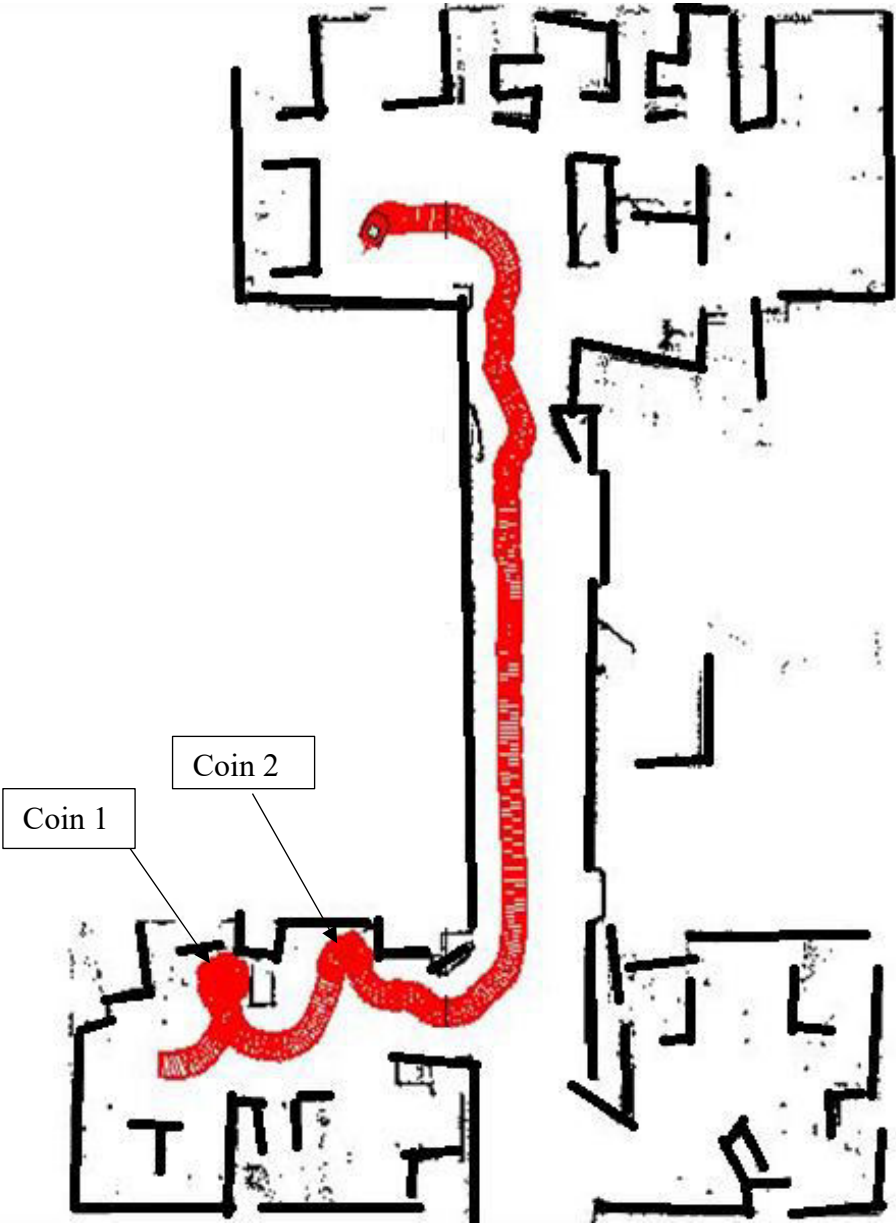


Figure IV.21 - Navigation dans le laboratoire LSI univ-setif test-4

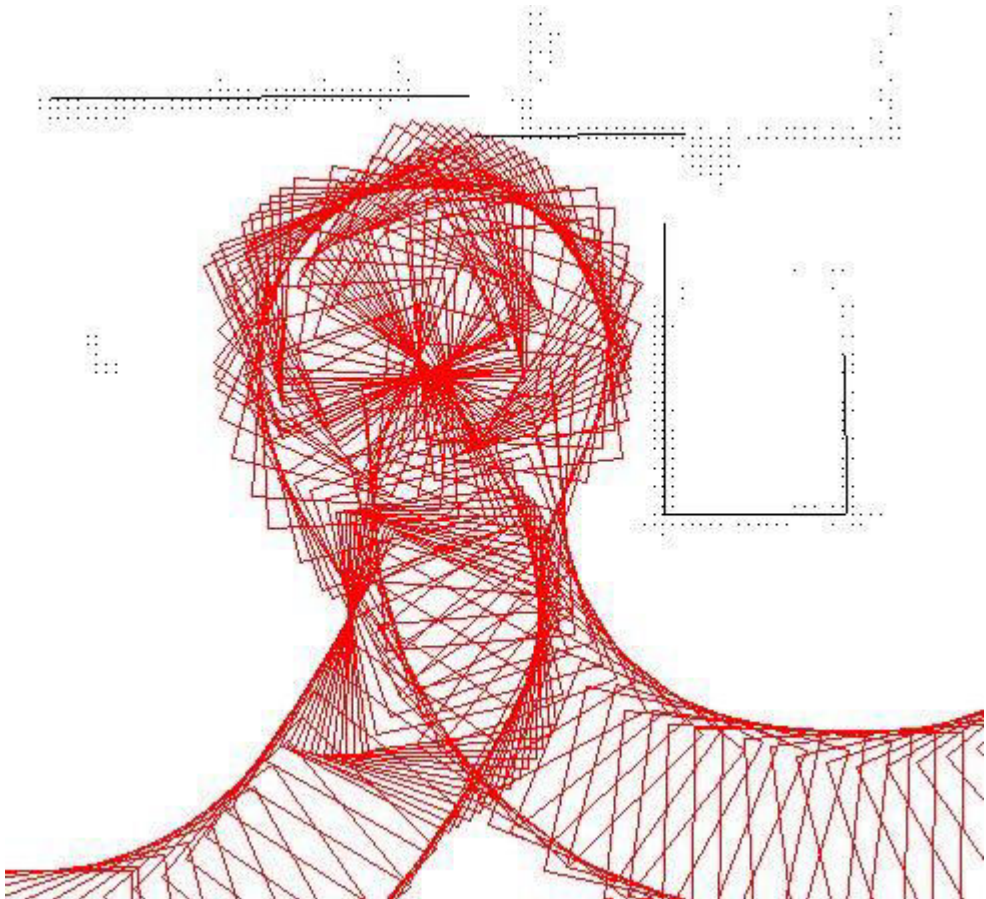


Figure IV.22 – Coin 1

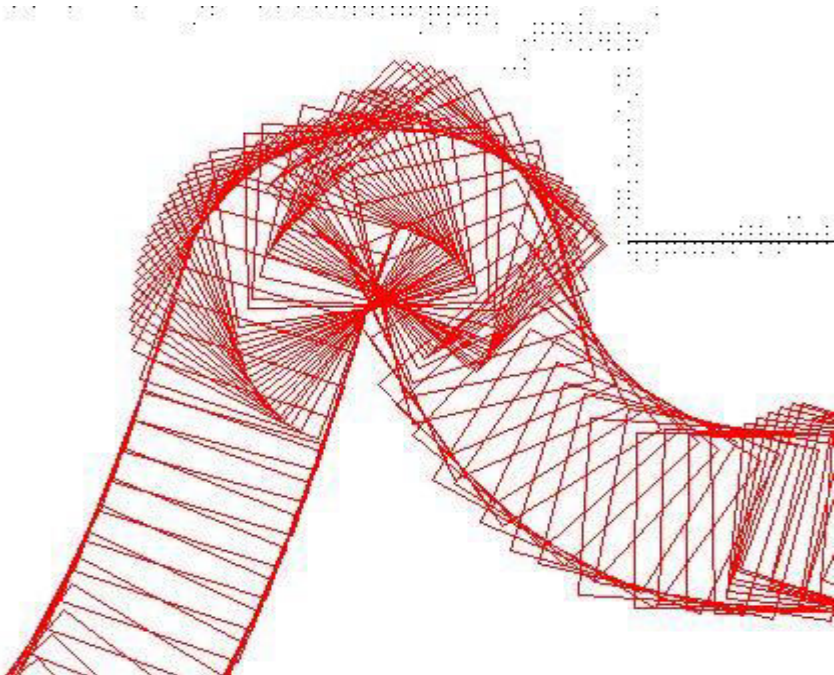


Figure IV.23 – Coin 2

IV.6.5. Conclusion :

Une simulation réussie d'un système de navigation automatisé dans un environnement d'obstacles fixes, utilisant la logique floue de type 2 dans différents environnements, démontre l'efficacité et la robustesse de cette approche pour gérer les incertitudes et les changements dans l'environnement d'obstacles fixes. Cette méthode a permis au robot de naviguer de manière fluide et précise dans ce type d'environnement, en adaptant ses décisions de navigation aux conditions rencontrées. Cependant, pour progresser vers la navigation dans des environnements plus complexes, caractérisés par des obstacles mobiles, il sera nécessaire d'incorporer des stratégies d'évitement d'obstacles mobiles et d'améliorer encore les algorithmes de planification. Cette transformation ouvrira la voie à des solutions plus réalistes et applicables dans des scénarios réels de robotique mobile.

IV.7. Validation expérimentale de la navigation robotique en environnement réel :

Après le succès des expériences de simulation en environnement libre et en environnement avec obstacles fixes, nous l'expérimenterons et l'appliquerons réel avec des obstacles fixes et dynamiques pour confirmer pleinement et enfin le succès, l'efficacité et l'efficacité de cette méthode de navigation dans un environnement incertain utilisant la logique floue de type 2.

IV.7.1. Test-1 :

Dans le même laboratoire, nous menons l'expérience réelle dans le couloir, figure IV.24, en utilisant un obstacle fixe sur le chemin vers le but, et avec une personne passant devant le robot se dirigeant vers ce but. Ainsi, nous avons essayé. Les deux types d'obstacles fixes et dynamique.



Figure IV.24 - Navigation robotique en environnement réel

IV.8. Conclusion :

Dans cette thèse, nous avons exploré l'application du système de navigation robotique Pioneer 3-DX dans un environnement dynamique et non statique, caractérisé par des obstacles mobiles. L'objectif principal était de tester l'efficacité de l'utilisation du logique floue de type 2 pour améliorer la prise de décision du robot dans de telles conditions incertaines. À travers nos expériences, plusieurs résultats clés ont émergé.

Premièrement, nous avons démontré que l'intégration du logique floue de type 2 a permis au robot de s'adapter efficacement aux variations de son environnement, même en présence d'obstacles en mouvement. Contrairement aux systèmes traditionnels, ce type de logique a prouvé sa capacité à gérer l'incertitude et les imprécisions liées à la détection d'obstacles et à la planification de trajectoires dans des environnements imprévisibles.

Deuxièmement, il est devenu évident que le logique floue de type 2 offre un avantage indéniable par rapport aux systèmes de logique floue classique dans des environnements complexes et changeants. En effet, sa capacité à traiter des informations imprécises et à ajuster les décisions en temps réel s'est avérée cruciale pour la navigation du robot dans des conditions où les paramètres étaient fluctuants et incertains.

Enfin, cette étude met en lumière l'importance cruciale de la recherche expérimentale dans l'amélioration des performances des systèmes de logique floue, en particulier dans des applications robotiques en environnement dynamique. Nos résultats montrent que l'approche expérimentale permet de mieux comprendre les limites et les avantages des différentes techniques, ouvrant ainsi la voie à de futures optimisations et à des développements dans ce domaine.

En conclusion, ce travail apporte une contribution significative à l'amélioration des systèmes de navigation autonome dans des environnements incertains, et confirme l'efficacité du logique floue de type 2 pour faire face aux défis complexes posés par ces environnements.

Conclusion générale

Cette thèse a exploré le développement d'un système de navigation autonome pour le robot mobile Pioneer 3-DX, capable d'évoluer dans des environnements dynamiques et incertains grâce à l'intégration de la logique floue de type 2. Cette approche a permis de dépasser les limites des méthodes classiques en traitant efficacement les imprécisions des capteurs et les variations environnementales imprévues.

Les résultats expérimentaux ont confirmé que la modélisation des incertitudes via la logique floue de type 2 renforce significativement la robustesse et la réactivité du système. Le robot a pu prendre des décisions en temps réel, optimiser ses trajectoires et éviter les obstacles, surpassant ainsi les performances des solutions basées sur la logique floue classique.

Ce travail souligne l'importance des évaluations expérimentales pour mieux comprendre les défis réels de la navigation autonome et ouvre la voie à des améliorations prometteuses. Parmi les perspectives futures, l'intégration de méthodes hybrides mêlant logique floue de type 2 et apprentissage automatique, ainsi que l'extension à d'autres plateformes robotiques, constituent des axes riches de potentiel.

En somme, cette recherche apporte une contribution notable à la robotique autonome en démontrant la pertinence et l'efficacité de la logique floue de type 2 pour gérer les environnements complexes, posant ainsi les bases pour des systèmes plus intelligents, adaptatifs et fiables.

Références

[1] S. Hachani and E. Nechadi, "Type-2 Fuzzy Logic-Based Robot Navigation in Uncertain Environments: Simulation and Real-World Implementation", *J Robot Control (JRC)*, vol. 6, no. 1, pp. 437–445, Feb. 2025. doi: [10.18196/jrc.v6i1.25553](https://doi.org/10.18196/jrc.v6i1.25553).

Disponible: <https://journal.umy.ac.id/index.php/jrc/article/view/25553>

[2] S. Hachani and E. Nechadi, "Navigation system and obstacle avoidance for mobile robot using Type-2 fuzzy logic in uncertain environments," *ITEGAM-JETIA*, vol. 11, no. 52, pp. 68-75, 2025. DOI: [10.5935/jetia.v11i52.1534](https://doi.org/10.5935/jetia.v11i52.1534).

[3] O. Boutalbi, K. Benmahammed, K. Henni, and B. Boukezata, "A high-performance control algorithm based on a curvature-dependent decoupled planning approach and flatness concepts for non-holonomic mobile robots," *Intelligent Service Robotics*, vol. 12, no. 2, pp. 181–196, Jan. 2019, doi: [10.1007/s11370-018-00270-7](https://doi.org/10.1007/s11370-018-00270-7).

[4] R. H. Abiyev, B. Erin, and A. Denker, "Navigation of Mobile Robot Using Type-2 Fuzzy System," Springer, Cham, 2017, pp. 15–26. doi: [10.1007/978-3-319-63315-2_2](https://doi.org/10.1007/978-3-319-63315-2_2).

Disponible : https://link.springer.com/chapter/10.1007%2F978-3-319-63315-2_2

[5] C. Santiago and C.-S. Chiu, "Interval Type-2 Fuzzy and PID Dual-Mode Controller for an Autonomous Mobile Robot," *International Conference on System Science and Engineering*, Jun. 2018, doi: [10.1109/ICSSE.2018.8520265](https://doi.org/10.1109/ICSSE.2018.8520265)

[6] T. T. V. Nguyen, M. D. Phung, and Q. V. Tran, "Behavior-based Navigation of Mobile Robot in Unknown Environments Using Fuzzy Logic and Multi-Objective Optimization," *arXiv: Robotics*, Mar. 2017, doi: [10.14257/IJCA.2017.10.2.29](https://doi.org/10.14257/IJCA.2017.10.2.29).

Disponible : <https://doi.org/10.14257/ijca.2017.10.2.29>

[7] F. Kamil and M. Y. Moghrabiah, "Multilayer Decision-Based Fuzzy Logic Model to Navigate Mobile Robot in Unknown Dynamic Environments", doi: [10.1080/16168658.2021.2019432](https://doi.org/10.1080/16168658.2021.2019432)

[8] C.-H. Chinag and C. Ding, “Robot navigation in dynamic environments using fuzzy logic and trajectory prediction table,” International conference on Fuzzy Theory and Its Applications, pp. 99–104, Nov. 2014, doi: 10.1109/IFUZZY.2014.7091240.

Disponible : <https://ieeexplore.ieee.org/document/7091240/>

[9] P. K. Mohanty, “Path Planning of Mobile Robots under Uncertain Navigation Environments using FCM clustering ANFIS,” Aug. 2023, doi: 10.21203/rs.3.rs-2352663/v1

[10] K. Li, X. Zhang, and Y. Han, “Robot Path Planning Based on Interval Type-2 Fuzzy Controller Optimized by an Improved Aquila Optimization Algorithm,” IEEE Access, vol. 11, pp. 111655–111671, 2023, doi: 10.1109/access.2023.3323437.

Disponible : <https://ieeexplore.ieee.org/ielx7/6287639/6514899/10274969.pdf>

[11] P. Mobadersany, S. Khanmohammadi, and S. Ghaemi, “A fuzzy multi-stage path-planning method for a robot in a dynamic environment with unknown moving obstacles,” Robotica, vol. 33, no. 9, pp. 1869–1885, Nov. 2015, doi: 10.1017/S0263574714001064.

Disponible: <https://www.cambridge.org/core/journals/robotica/article/abs/fuzzy-multistage-pathplanning-method-for-a-robot-in-a-dynamic-environment-with-unknown-moving-obstacles/42F93113F5339A65AE7C91A342554CC7>

[12] N. H. Reyes, A. L. C. Barczak, T. Susnjak, P. Sincak, and J. Vaščák, “Real-Time Fuzzy Logic-Based Hybrid Robot Path-Planning Strategies for a Dynamic Environment,” IGI Global, 2014, pp. 1545–1571. doi: 10.4018/978-1-4666-4607-0.CH076.

Disponible: <https://www.igi-global.com/chapter/real-time-fuzzy-logic-based-hybrid-robot-path-planning-strategies-for-a-dynamic-environment/84965>

[13] J.-F. Hou, Y.-Z. Chang, M.-H. Hsu, S.-T. Lee, and C.-T. Wu, “Construction of Fuzzy Map for Autonomous Mobile Robots Based on Fuzzy Confidence Model,” Mathematical Problems in Engineering, vol. 2014, no. 2014, pp. 1–8, Jun. 2014, doi: 10.1155/2014/526781.

Disponible: <https://downloads.hindawi.com/journals/mpe/2014/526781.pdf>

[14] B. Elsayed and R. Findeisen, “Generic Motion Primitives-based Safe Motion Planner under Uncertainty for Autonomous Navigation in Cluttered Environments,” International Symposium on Information, Communication and Automation Technologies, pp. 1–6, Jun. 2023, doi: 10.1109/ICAT57854.2023.10171318

[15] D. K. Jha, Y. Li, T. A. Wettergren, and A. Ray, “Robot Path Planning in Uncertain Environments: A Language Measure-theoretic Approach,” Journal of Dynamic Systems Measurement and Control-transactions of The Asme, vol. 137, no. 3, p. 034501, Mar. 2015, doi: 10.1115/1.4027876.

Disponible:

<http://www.mne.psu.edu/ray/journalAsokRay/2015/259JhaLiWettergrenRay15.pdf>

[16] S. A. Nur, “Precision without GPS: Multi-Sensor Fusion for Autonomous Drone Navigation in Complex Environments,” International journal of innovative research in computer science & technology, vol. 12, no. 6, pp. 34–43, Nov. 2024, doi: 10.55524/ijircst.2024.12.6.6

[17] D. Saccani and L. Fagiano, “Autonomous UAV Navigation in an Unknown Environment Via Multi-Trajectory Model Predictive Control”, doi: 10.23919/ecc54610.2021.9655166

[18] S. M. Darwish and A. H. Mohammed, “Interval Type-2 Fuzzy Logic to the Treatment of Uncertainty in 2D Face Recognition Systems,” International Journal of Machine Learning and Computing, pp. 24–30, Feb. 2014, doi: 10.7763/IJMLC.2014.V4.381.

Disponible:

<http://www.ijmlc.org/index.php?m=content&c=index&a=show&catid=43&id=418>

[19] D. Pekaslan, C. Wagner, and J. M. Garibaldi, “Leveraging IT2 Input Fuzzy Sets in Non-Singleton Fuzzy Logic Systems to Dynamically Adapt to Varying Uncertainty Levels,” IEEE International Conference on Fuzzy Systems, pp. 1–7, Jun. 2019, doi: 10.1109/FUZZ-IEEE.2019.8858800.

Disponible: <https://ieeexplore.ieee.org/abstract/document/8858800>

[20] N. R. Kondratenko, "Applications Type-2 Membership Functions in Fuzzy Logic Systems Under Conditions of Uncertainty Input Data," ACM-SIGACT Symposium on Principles of Programming Languages, Dec. 2022, doi: 10.31649/mccs2022.02.

Disponible: <https://doi.org/10.31649/mccs2022.02>

[21] European Space Agency (ESA), "Futur de la navigation – Space19+," 2019. [Online]. Available: <https://blogs.esa.int/space19plus/fr/programmes/futur-de-la-navigation/>

[22] F. Bellec, Histoire universelle de la navigation – Tome 1 – Les découvreurs d'étoiles, Paris: Éditions du Chêne, 2019.

[23] CORDIS, "La navigation dans l'espace | SINPLEX Project," 2014. [Online].

Disponible: <https://cordis.europa.eu/article/id/158578-navigating-through-space/fr>.

[24] Cyberbotics Ltd., "Adept's Pioneer 3-DX - Webots User Guide," 2019. [Online]. Available: <https://cyberbotics.com/doc/guide/pioneer-3dx?version=cyberbotics%3AR2019a>.

[25] M. Guillemot, Du bon usage de la carte marine et du GPS, Paris: Vagnon, 2020.[26] J.-P. Lebrun, Les essentiels de la voile, Paris: Vagnon, 2021.[27] P. Lecomte, Bien naviguer avec la météo - au large et au port, Paris: Vagnon, 2021.[28] Omron Adept Technologies, "Pioneer 3-DX Product Overview," 2019. [Online].

Disponible: <https://robots.ros.org/pioneer-3-dx/>

[29] J.-M. Piéplu, GPS et Galileo: systèmes de navigation par satellites, Paris: Ellipses, 2020.

[30] Robot Operating System (ROS), "Pioneer 3-DX Documentation," 2019. [Online].

Disponible: <https://robots.ros.org/pioneer-3-dx/>

[31] F. Tezenas du Montcel, "Évitement d'obstacles pour quadrirotors en utilisant un capteur de profondeur," Ph.D. dissertation, Université de Lyon, 2019. [Online].

Disponible: <https://theses.hal.science/tel-02534987v1>.

[32] A. Ait Saadi, A. Soukane, Y. Meraihi, A. Benmessaoud Gabis, S. Mirjalili, and A. Ramdane-Cherif, "UAV path planning using optimization approaches: A survey," Archives of

Computational Methods in Engineering, vol. 29, no. 6, pp. 4233–4284, 2022. DOI: 10.1007/s11831-022-09742-7.

[33] K. Akka and F. Khaber, "Optimal fuzzy tracking control with obstacles avoidance for a mobile robot based on Takagi-Sugeno fuzzy model," Transactions of the Institute of Measurement and Control, vol. 41, no. 10, pp. 2772–2781, 2018. DOI: 10.1177/0142331218811462.

[34] M. Benbrahim, "Chapitre 3 : Logique Floue," 2019. [Online].

Disponible :

https://staff.univ-batna2.dz/sites/default/files/benbrahim_meriem/files/chapitre_3_22lf.pdf.

[35] J.-Y. Bequignon, "Comprendre la navigation hauturière," Voiles et Voiliers, 2019.

[36] H. Dong, Y. Liu, T. Chu, and A. El Saddik, "Bringing Robots Home: The Rise of AI Robots in Consumer Electronics," arXiv preprint arXiv:2403.14449, 2024. [Online].

Disponible: <https://arxiv.org/abs/2403.14449>.

[37] M. H. Haider et al., "Robust mobile robot navigation in cluttered environments based on hybrid adaptive neuro-fuzzy inference and sensor fusion," Journal of King Saud University - Computer and Information Sciences, vol. 34, no. 10, Part B, pp. 9060–9070, 2022. DOI: 10.1016/j.jksuci.2022.08.031.

[38] Le Monde, "L'IA va permettre d'accélérer la recherche scientifique, bien plus qu'on ne peut l'imaginer," 2024.

[39] Le Monde, "Sur le champ de bataille, l'IA dépasse les attentes des militaires," 2024. [Online].

Disponible : https://www.lemonde.fr/economie/article/2024/10/19/sur-le-champ-de-bataille-l-ia-depasse-les-attentes-des-militaires_6355652_3234.html.

[40] Y. C. Ng, Q. Wen, C. Y. Tan, Z. H. Gan, M. Y. Chuah, "Tactile aware dynamic obstacle avoidance in crowded environment with deep reinforcement learning," arXiv preprint arXiv:2406.13434, 2024. [Online].

Disponible : <https://arxiv.org/abs/2406.13434>.

[41] N. Samama, Systèmes de navigation par satellites, Techniques de l'Ingénieur, Réf: TE6715 v3, 2021. [Online].

Disponible :

<https://www.techniques-ingenieur.fr/base-documentaire/technologies-de-l-information-th9/applications-s-42592210/systemes-de-navigation-par-satellites-te6715/>.

[42] J.-P. Schaeren Willemaers, L'intelligence artificielle et l'énergie, Paris: L'Harmattan, 2020.

[43] T. H. M. N. C. Thelasingha et al., "Laser Ranging Based Intelligent System for Unknown Environment Mapping," arXiv preprint arXiv:2302.01369, 2023. [Online].

Disponible : <https://arxiv.org/abs/2302.01369>.

[44] A. Wondosen and D. Shiferaw, "Fuzzy Logic Controller Design for Mobile Robot Outdoor Navigation," arXiv preprint arXiv:2401.01756, 2024. [Online].

Disponible : <https://arxiv.org/abs/2401.01756>.

[45] W. A. S. Silva, R. A. L. Rabelo, and A. M. Santana, "Interval Type-2 Fuzzy System for a safe autonomous robot navigation in uncertain environment," pp. 1–8, Nov. 2014, doi: 10.1109/CLEI.2014.6965170.

Disponible : <https://ieeexplore.ieee.org/document/6965170/>

[46] W. A. S. Silva, R. A. L. Rabelo, and A. M. Santana, "Safe autonomous navigation with a wall-following robot using interval Type-2 Fuzzy System in uncertain environments," Systems, Man and Cybernetics, pp. 1222–1225, Dec. 2014, doi: 10.1109/SMC.2014.6974081. Available: <https://dblp.uni-trier.de/db/conf/smc/smc2014.html#SilvaRS14>

[47] M. Mohammed, M. Abdulrazzaq, R. R. Al, and S. A. Aliesawi, "Intelligent Enhanced Mobile Robotics Navigation: Integrating Neural Networks with Type-2 Fuzzy Logic for Dynamic Environments", doi: 10.54216/fpa.150208

[48] S. Sanyal, D. Konar, A. Bhattacharjee, and S. Chatterjee, “General Type-2 Fuzzy Reasoning for Path-Planning of a Mobile Robot in a Dynamic Environment under Sensory Uncertainty,” pp. 73–78, Jan. 2024, doi: 10.1109/ciec59440.2024.10468537

[49] B. Kasmi and A. Hassam, “Comparative Study between Fuzzy Logic and Interval Type-2 Fuzzy Logic Controllers for the Trajectory Planning of a Mobile Robot,” *Engineering, Technology & Applied Science Research*, vol. 11, no. 2, pp. 7011–7017, Apr. 2021, doi: 10.48084/ETASR.4031.

Disponible : <https://www.etasr.com/index.php/ETASR/article/view/4031>

[50] M. Lodi, S. Sarkar, and A. Dadhich, “Autonomous Drone Navigation in Dynamic and Uncertain Environments,” pp. 1–5, Jun. 2024, doi: 10.1109/iccent61001.2024.10724753

[51] P. K. Mohanty and D. R. Parhi, “Navigation of Autonomous Mobile Robot Using Adaptive Neuro-Fuzzy Controller,” Springer, New Delhi, 2014, pp. 521–530. doi: 10.1007/978-81-322-1665-0_50.

Disponible : <https://dblp.uni-trier.de/db/conf/icacni/icacni2013.html#MohantyP13>

[52] T. T. V. Nguyen, H. V. Le, and Q. V. Tran, “A Robust Mobile Robot Navigation System using Neuro-Fuzzy Kalman Filtering and Optimal Fusion of Behavior-based Fuzzy Controllers,” vol. 7, Oct. 2017, doi: 10.21553/REV-JEC.128.

Disponible : <https://rev-jec.org/index.php/rev-jec/article/view/128>

[53] R. Zhao, D. Lee, T. T. Li, and H.-K. Lee, “Autonomous navigation of a mobile robot in unknown environment based on fuzzy inference,” vol. 17, no. 3, pp. 292–297, Nov. 2015, doi: 10.5762/KAIS.2016.17.3.292.

Disponible : <https://ieeexplore.ieee.org/document/7378359/>

[54] “Online Mapping and Motion Planning Under Uncertainty for Safe Navigation in Unknown Environments,” *IEEE Transactions on Automation Science and Engineering*, vol. 19, no. 4, pp. 3356–3378, Oct. 2022, doi: 10.1109/tase.2021.3118737.

Disponible : <https://doi.org/10.1109/tase.2021.3118737>

[55] È. Pairet, J. D. Hernandez, M. Carreras, Y. Petillot, and M. Lahijanian, “Online Mapping and Motion Planning under Uncertainty for Safe Navigation in Unknown Environments,” arXiv: Robotics, Apr. 2020.

Disponible : <https://arxiv.org/abs/2004.12317>

[56] S.-Y. Xu, J. Hao, X. Chen, and Y. Hu, “Navigating autonomous vehicles in uncertain environments with distributional reinforcement learning,” Proceedings of the Institution of Mechanical Engineers, Part D : Journal of Automobile Engineering, Jul. 2023, doi: 10.1177/09544070231186841

[57] R. K. Dinkar and S. Ghosh, “Probabilistic Higher-Order Velocity Obstacle for Dynamic Collision Avoidance in Uncertain Environments,” Journal of Aerospace Information Systems, May 2024, doi: 10.2514/1.i011267

[58] F. Vanegas and F. Gonzalez, “Enabling UAV Navigation with Sensor and Environmental Uncertainty in Cluttered and GPS-Denied Environments,” Sensors, vol. 16, no. 5, p. 666, May 2016, doi: 10.3390/S16050666.

Disponible : <https://www.mdpi.com/1424-8220/16/5/666>

[59] L. Cuevas, M. Ramirez, I. Shames, and C. Manzić, “Path Planning under Risk and Uncertainty of the Environment,” Advances in Computing and Communications, pp. 4231–4236, May 2021, doi: 10.23919/ACC50511.2021.9483405.

Disponible : <https://findanexpert.unimelb.edu.au/scholarlywork/1568234-path-planning-under-risk-and-uncertainty-of-the-environment>

[60] “Learning to SLAM on the Fly in Unknown Environments: A Continual Learning Approach for Drones in Visually Ambiguous Scenes,” Aug. 2022, doi: 10.48550/arxiv.2208.12997.

Disponible : <http://arxiv.org/pdf/2208.12997>

[61] “Data-Driven Type-2 Fuzzy Sets for Tasks Management at the Edge,” IEEE transactions on emerging topics in computational intelligence, vol. 6, no. 2, pp. 377–386, Apr. 2022, doi: 10.1109/tetci.2021.3070870

[62] E. Ontiveros, P. Melin, and O. Castillo, "Impact Study of the Footprint of Uncertainty in Control Applications Based on Interval Type-2 Fuzzy Logic Controllers," Springer, Cham, 2018, pp. 181–197. doi: 10.1007/978-3-319-71008-2_15.

[63] L. Poberezhna, L. Shkitsa, L. Poberezhnyi, P. V. Popovych, V. Brych, and O. Shevchuk, "Assessment of Environmental Risks Using Elements of Fuzzy Logic," Automation, Control, and Information Technology, pp. 219–222, Sep. 2022, doi: 10.1109/ACIT54803.2022.9913179

[64] S. Alirezazadeh and L. A. Alexandre, "Exploration, path planning with obstacle and collision avoidance in a dynamic environment," arXiv preprint arXiv:2208.09193, 2022. [Online].

Disponible : <https://arxiv.org/abs/2208.09193>.

[65] EDS.FR, "Les dernières avancées en robotique : vers un avenir fascinant," 2024. [Online].

Disponible : <https://eds.fr/2024/05/06/quelles-sont-les-avancees-recentes-dans-le-domaine-de-la-robotique/>.

[66] Hackaday.io, "Fixing up an old Pioneer 3-DX," 2020. [Online].

Disponible : <https://hackaday.io/project/175890-fixing-up-an-old-pioneer-3-dx>.

[67] L. Liu, X. Wang, X. Yang, H. Liu, J. Li, and P. Wang, "Path planning techniques for mobile robots: Review and prospect," Expert Systems with Applications, vol. 227, p. 120254, 2023. DOI: 10.1016/j.eswa.2023.120254.

[68] National Geographic France, "Six découvertes scientifiques qui ont marqué l'année 2024," 2024. [Online].

Disponible : <https://www.nationalgeographic.fr/sciences/six-decouvertes-scientifiques-qui-ont-marque-annee-2024-sciences-exactes-astronomie-ia-biologie>.

[69] P. Wu, H. Su, H. Dong, T. Liu, M. Li, and Z. Chen, "An obstacle avoidance method for robotic arm based on reinforcement learning," Industrial Robot, 2024. [Online].

Disponible : <https://doi.org/10.1108/IR-05-2024-0206>.

[70] D. Ayedi, M. Boujelben, and C. Reikik, "Interval type-2 TSK fuzzy approach for autonomous mobile robot control in presence of uncertainties," International Multi-Conference

on Systems, Signals and Devices, pp. 280–286, Mar. 2017, doi: 10.1109/SSD.2017.8166999.
Disponible : <https://ieeexplore.ieee.org/document/8166999/>

[71] Y. Saidi, M. Tadjine, and A. Nemra, “Robust Waypoints navigation using Fuzzy Type 2 Controller,” Nov. 2019, doi: 10.1109/ICAEE47123.2019.9015101

[72] Y. Wang, Y. Hou, M. Ye, Z. Lai, L. Cao, and D. Wu, “Adaptive hierarchical interval type-2 fuzzy control for trajectory tracking of an underactuated AUV with uncertain dynamics,” Transactions of the Institute of Measurement and Control, Oct. 2024, doi: 10.1177/01423312241273788

[73] “Navigation of a Fuzzy-Controlled Wheeled Robot Through the Combination of Expert Knowledge and Data-Driven Multiobjective Evolutionary Learning,” IEEE transactions on cybernetics, vol. 52, no. 8, pp. 7388–7401, Aug. 2022, doi: 10.1109/tyb.2020.3041269.

[74] E. Avelar, O. Castillo, and J. Soria, “Fuzzy Logic Controller with Fuzzylab Python Library and the Robot Operating System for Autonomous Robot Navigation: A Practical Approach,” Springer, Cham, 2020, pp. 355–369. doi: 10.1007/978-3-030-35445-9_27.

Disponible : https://link.springer.com/chapter/10.1007/978-3-030-35445-9_27

[75] M.-Y. Chen, Y. J. Wu, and H. He, “A Novel Navigation System for an Autonomous Mobile Robot in an Uncertain Environment,” Robotica, pp. 1–26, Aug. 2021, doi: 10.1017/S0263574721000497.

Disponible : <https://dblp.uni-trier.de/db/journals/corr/corr2006.html#abs-2006-04962>

[76] N. H. Reyes, A. L. C. Barczak, T. Susnjak, and A. Jordan, “Fast and Smooth Replanning for Navigation in Partially Unknown Terrain: The Hybrid Fuzzy-D*lite Algorithm,” Springer, Cham, 2017, pp. 31–41. doi: 10.1007/978-3-319-31293-4_3.

Disponible : https://link.springer.com/chapter/10.1007/978-3-319-31293-4_3

[77] T. Fan, P. Long, W. Liu, J. Pan, R. Yang, and D. Manocha, “Learning Resilient Behaviors for Navigation Under Uncertainty,” International Conference on Robotics and Automation, pp. 5299–5305, May 2020, doi: 10.1109/ICRA40945.2020.9196785.

Disponible : <https://dblp.uni-trier.de/db/conf/icra/icra2020.html#FanLLPYM20>

[78] “Safe Navigation in Unstructured Environments by Minimizing Uncertainty in Control and Perception,” Jun. 2023, doi: 10.48550/arxiv.2306.14601.

Disponible : <http://arxiv.org/pdf/2306.14601>

[79] Z. Jiang and S. A. Raziei, “A Probabilistic Decision Engine for Navigation of Autonomous Vehicles under Uncertainty,” National Aerospace and Electronics Conference, Jul. 2019, doi: 10.1109/NAECON46414.2019.9058291

[80] N. Enyinna, A. Karimodini, D. Opoku, A. Homaifar, and S. Arnold, “Developing an Interval Type-2 TSK Fuzzy Logic Controller,” North American Fuzzy Information Processing Society, pp. 1–6, Oct. 2015, doi: 10.1109/NAFIPS-WCONSC.2015.7284160.

Disponible : <https://ieeexplore.ieee.org/document/7284160/>

[81] J. M. Mendel, “Type-2 Fuzzy Sets and Systems: a Retrospective,” Informatik Spektrum, vol. 38, no. 6, pp. 523–532, Oct. 2015, doi: 10.1007/S00287-015-0927-4.

Disponible : <https://link.springer.com/article/10.1007/s00287-015-0927-4>

[82] A. Díaz-Curbelo, Á. M. Gento Municio, and R. A. Espin-Andrade, “Fuzzy Logic-Based Approaches in Supply Chain Risk Management: A Review,” Springer, Cham, 2021, pp. 79–94. doi: 10.1007/978-3-030-73819-8_5.

Disponible : https://link.springer.com/chapter/10.1007/978-3-030-73819-8_5

[83] A. Prone, L'éthique de la robotique, Paris: L'Harmattan, 2021.

[84] A. D. Ames et al., "Control barrier functions: Theory and applications," in 2019 18th European Control Conference (ECC), IEEE, 2019. DOI: 10.23919/ecc.2019.8796030.

[85] "A GNC Architecture for Planetary Rovers with Autonomous Navigation Capabilities," arXiv preprint arXiv:1911.09975, 2019. [Online].

Disponible : <https://arxiv.org/abs/1911.09975>.

[86] I. Porres et al., "On the Verification and Validation of AI Navigation Algorithms," arXiv preprint arXiv:2101.06091, 2021. [Online].

Disponible : <https://arxiv.org/abs/2101.06091>.

[87] "The Marathon 2: A Navigation System," arXiv preprint arXiv:2003.00368, 2020. [Online].

Disponible : <https://arxiv.org/abs/2003.00368>.

[88] F. Bertoncelli, F. Ruggiero, and L. Sabattini, "Linear Time-Varying MPC for Nonprehensile Object Manipulation with a Nonholonomic Mobile Robot," arXiv preprint arXiv:2003.10247, 2020. [Online].

Disponible : <https://arxiv.org/abs/2003.10247>.

[89] Y. Bismuth, Petit guide juridique pratique de la robotique, Paris: L'Harmattan, 2020.

[90] R. Boukezzoula, S. Galichet, and L. Foulloy, "Sur les systèmes flous de type 2 en contrôle," in Actes des Rencontres Francophones sur la Logique Floue et ses Applications (LFA), 2016. [Online].

Disponible : <https://hal.science/hal-01362498>.

[91] B. Bouchon-Meunier, La logique floue et ses applications, 2016. [Online].

Disponible : <https://hal.science/hal-01322634>.

[92] B. Bouchon-Meunier, Logique floue et prise de décision, 2017. [Online].

Disponible : <https://hal.sorbonne-universite.fr/hal-01517202>.

[93] M. Boumehraz, Navigation d'un Robot Mobile en Utilisant le Q-Learning Flou, Saarbrücken: Éditions Universitaires Européennes, 2014.

[94] A.-C. Escher, "Intégration du GPS avec les systèmes de navigation inertielle," Techniques de l'Ingénieur, Réf: TE6725 v1, 2020. [Online].

Disponible : <https://www.techniques-ingenieur.fr/base-documentaire/technologies-de-l-information-th9/radiolocalisation-42297210/integration-du-gps-avec-les-systemes-de-navigation-inertielle-te6725/>

[95] S. Farzan and G. N. Desouza, "Path Planning in Dynamic Environments Using Time-Warped Grids and a Parallel Implementation," arXiv preprint arXiv:1903.07441, 2019. [Online].

Disponible : <https://arxiv.org/abs/1903.07441>

[96] V. Franzese and F. Topputo, "Line-of-Sight Deep-Space Autonomous Navigation," arXiv preprint arXiv:1909.08459, 2019. [Online].

Disponible : <https://arxiv.org/abs/1909.08459>.

[97] S. Gaudium, *Les Stratégies et Méthodes de Navigation d'un Robot Mobile*, Saarbrücken: Éditions Universitaires Européennes, 2015.

[98] F. Guérin and D. Dubois, *La logique floue*, in *Que sais-je?*, Presses Universitaires de France, 2007. [Online].

Disponible : <https://shs.cairn.info/la-logique-floue--9782130562603>.

[99] A. Safari, M. Mazinani, and R. Hosseini, "A Novel Type-2 Adaptive Neuro Fuzzy Inference System Classifier for Modelling Uncertainty in Prediction of Air Pollution Disaster (RESEARCH NOTE)," *International Journal of Engineering*, vol. 30, no. 11, pp. 1746–1751, Nov. 2017.

Disponible : https://www.ije.ir/article_73061.html

[100] F. Guérin and D. Dubois, "Logique floue et prise de décision," *Revue d'Intelligence Artificielle*, vol. 31, no. 3, pp. 377-402, 2017. [Online].

Disponible : <https://hal.sorbonne-universite.fr/hal-01517202>

[101] HAL Archives-Ouvertes, "Introduction aux techniques de navigation autonome pour les véhicules," 2021. [Online].

Disponible : <https://hal.science/hal-03110973/document>

[102] K. Zhu, S. Kong, F. Wu, J. Sun, and J. Yu, "Autonomous Environmental Exploration and Target Tracking Control for Unmanned Surface Vehicles in Uncertain Environment," pp. 172–177, Jun. 2024, doi: 10.1109/rcar61438.2024.10671116.

[103] M. Almaraashi, "A practical design of interval type-2 fuzzy logic systems with application to solar radiation prediction," *Cogent engineering*, vol. 11, no. 1, Aug. 2024, doi: 10.1080/23311916.2024.2395426

[104] C. Papachristos, F. Mascarich, S. Khattak, T. Dang, and K. Alexis, “Localization uncertainty-aware autonomous exploration and mapping with aerial robots using receding horizon path-planning,” *Autonomous Robots*, vol. 43, no. 8, pp. 2131–2161, Dec. 2019, doi: 10.1007/S10514-019-09864-1.

Disponible : <https://dblp.uni-trier.de/db/journals/arobots/arobots43.html#PapachristosMKD19>

[105] T. Hosseinzadeh Khonakdari and M. Ahmadi Kamarposhti, “Real-time Detection of Microgrid Islanding Considering Sources of Uncertainty Using Type-2 Fuzzy Logic and PSO Algorithm,” *PLOS ONE*, vol. 16, no. 9, Sep. 2021, doi: 10.1371/JOURNAL.PONE.0257830.

Disponible : <https://www.researchsquare.com/article/rs-229084/v1.pdf>

[106] M. Ghaemi, S. K. Hosseini-Sani, and M. H. Khooban, “Direct adaptive general type-2 fuzzy control for a class of uncertain non-linear systems,” *Iet Science Measurement & Technology*, vol. 8, no. 6, pp. 518–527, Nov. 2014, doi: 10.1049/IET-SMT.2013.0185.

Disponible : <https://ietresearch.onlinelibrary.wiley.com/doi/10.1049/iet-smt.2013.0185>

[107] L. A. Zadeh, "The concept of a linguistic variable and its application to approximate reasoning-iii," *Information Sciences*, vol. 9, no. 1, pp. 43–80, 1975. DOI: 10.1016/0020-0255(75)90017-1.

[108] R. J. C. Tan AI and E. P. Dadios, "Neuro-fuzzy mobile robot navigation," in 2018 IEEE 10th International Conference on Humanoid, Nanotechnology, Information Technology, Communication and Control, Environment and Management (HNICEM), pp. 1–6, 2018. DOI: 10.1109/HNICEM.2018.8666348.

[109] T. J. Ross, *Fuzzy Logic with Engineering Applications*, 4th ed., Hoboken: Wiley, 2016.

[110] Z. Lu, K. Feng, J. Xu, H. Chen, and Y. Lou, "Robot safe planning in dynamic environments based on model predictive control using control barrier function," arXiv preprint arXiv:2404.05952, 2024. [Online].

Disponible : <https://arxiv.org/abs/2404.05952>.

[111] C. Papachristos, S. Khattak, and K. Alexis, “Uncertainty-aware receding horizon exploration and mapping using aerial robots,” *International Conference on Robotics and Automation*, pp. 4568–4575, May 2017, doi: 10.1109/ICRA.2017.7989531.

Disponible : <https://dblp.uni-trier.de/db/conf/icra/icra2017.html#PapachristosKA17>

[112] C. Poizot and G. Pujol, Formation à l'aéronautique: tout le programme du BIA, préparation au LAPL et au PPL, 2nd ed., Paris: Dunod, 2020.

[113] H. Ait dahmad, H. Ayad, A. García Cerezo, and H. Mousannif, "IT-2 Fuzzy Control and Behavioral Approach Navigation System for Holonomic 4WD/4WS Agricultural Robot," International Journal of Computers Communications & Control, vol. 19, no. 3, May 2024, doi: 10.15837/ijccc.2024.3.6420.

Disponible : <https://univagora.ro/jour/index.php/ijccc/article/download/6420/2082>

[114] K. Al-Mutib and F. Abdessemed, "Indoor Mobile Robot Navigation in Unknown Environment Using Fuzzy Logic Based Behaviors," Advances in Science, Technology and Engineering Systems Journal, vol. 2, no. 3, pp. 327–337, May 2017, doi: 10.25046/AJ020342.

Disponible : <https://astesj.com/v02/i03/p42/>

[115] K. Mo et al., "DRAL: Deep Reinforcement Adaptive Learning for Multi-UAVs Navigation in Unknown Indoor Environment," Sep. 2024, doi: 10.48550/arxiv.2409.03930

[116] D. Mújica-Vargas, V. Vela-Rincón, A. Luna-Alvarez, A. Rendon-Castro, M. Matuz-Cruz, and J. Rivera Rubio, "Navigation of a Differential Wheeled Robot Based on a Type-2 Fuzzy Inference Tree," Machines, vol. 10, no. 8, p. 660, Aug. 2022, doi: 10.3390/machines10080660.

Disponible : <https://www.mdpi.com/2075-1702/10/8/660/pdf?version=1659697917>

[117] T. Huang, P. Yang, K. Yang, and Y. Zhu, "Navigation of Mobile Robot in Unknown Environment Based on T-Sneuro-Fuzzy System", doi: 10.2316/journal.206.2015.4.206-4344

[118] D. C. Hernandez, V.-D. Hoang, A. Filonenko, and K.-H. Jo, "Fuzzy Logic Guidance Control Systems for Autonomous Navigation Based on Omnidirectional Sensing," Springer, Cham, 2014, pp. 420–429. doi: 10.1007/978-3-319-07455-9_44.

Disponible : <https://dblp.uni-trier.de/db/conf/ieaaie/ieaaie2014-1.html#HernandezHFJ14>

[119] R. Calvo and R. A. F. Romero, "Controlador Neural Nebuloso E Probabilístico Para A Navegação Autônoma De Robôs Móveis," pp. 1–6, Apr. 2016, doi: 10.21528/CBRN2007-123. Disponible : http://abricom.org.br/eventos/cbrn_2007/50100123-2

[120] A. Safari and J. B. Hoagg, "Safe Navigation in Unmapped Environments for Robotic Systems with Input Constraints," Oct. 2024, doi: 10.48550/arxiv.2410.02106.

Disponible : <https://export.arxiv.org/pdf/2410.02106v1.pdf>

[121] C. Bali and H. Abaidi, "Réalisation d'un Robot Mobile avec Évitement d'Obstacle et Trajectoire Programmée," Mémoire de Master, Université Mohamed Khider Biskra, 2012. [Online].

Disponible : <https://www.memoireonline.com/01/19/10544/Realisation-d-un-robot-mobile-avec-evitement-d-obstacle-et-trajectoire-programmee.html>

[122] O. Boutalbi, K. Benmahammed, and B. Boukezata, "An adaptive finite-time stable control law for manipulator robots with unknown parameters," International Journal of Robust and Nonlinear Control, vol. 31, no. 11, pp. 5218–5243, 2021. DOI: 10.1002/rnc.5538.

[123] Z. A. Foitih, *Système Virtuel Intelligent de Télérobotique : Application à la Navigation Floue de Robot Mobile*, Saarbrücken: Éditions Universitaires Européennes, 2016.

[124] Z. Jian, Z. Yan, X. Lei, Z. Lu, B. Lan, X. Wang, and B. Liang, "Dynamic Control Barrier Function-based Model Predictive Control to Safety-Critical Obstacle-Avoidance of Mobile Robot," arXiv preprint arXiv:2209.08539, 2022. [Online].

Disponible : <https://arxiv.org/abs/2209.08539>

[125] MathWorks, "Type-2 fuzzy inference systems," [Online].

Disponible : <https://la.mathworks.com/help/fuzzy/type-2-fuzzy-inference-systems.html>

[126] A. Mechernene, "Régulation floue de la vitesse d'un MAS avec IFOC," Journal of Control Engineering and Applied Informatics, vol. 21, no. 4, pp. 45-54, 2019. [Online]. Disponible :

https://www.researchgate.net/publication/337447175_Regulation_floue_de_la_vitesse_d%27un_MAS_avec_IFOC

[127] J. M. Mendel, *Uncertain Rule-Based Fuzzy Systems: Introduction and New Directions*, 2nd ed., Springer, 2017. DOI: 10.1007/978-3-319-51370-6.

[128] B. Siciliano and O. Khatib, *Springer Handbook of Robotics*, 2nd ed., Berlin: Springer, 2016.

[129] K. Čapek, *R.U.R. (Rossum's Universal Robots)*, Prague: Aventinum, 1920.

Disponible : <https://en.wikipedia.org/wiki/Robot>

[130] G. C. Devol and J. F. Engelberger, *Unimate: the first industrial robot, installed at GM's Ternstedt plant, Ewing Township, New Jersey, USA, 1961. Synopsis in IEEE Spectrum*, Sept. 2023.

Disponible : <https://control.com/technical-articles/origin-story-meet-unimate-the-first-industrial-robot>

[131] L. Cherroun, *Navigation autonome d'un robot mobile par des techniques neuro-floues*, Thèse de doctorat, Spécialité Automatique, Université Mohamed Khider – Biskra, Faculté des Sciences et de la Technologie, Département de Génie Électrique, soutenue le 22 mai 2014. DOI : 10.13140/RG.2.2.30956.03208.

[132] B. Barraud, *Les robots et le droit*, Paris: L'Harmattan, 2021.

[133] E. G. Kaigom, "Metarobotics for Industry and Society: Vision, Technologies, and Opportunities," arXiv preprint arXiv:2404.00797, 2024. [Online].

Disponible : <https://arxiv.org/abs/2404.00797>

[134] S. Kalla, *Intelligence artificielle : risque ou opportunité?*, Paris: L'Harmattan, 2020.

[135] S. Kuppuswami and B. Kuppuswami, *Robot Dynamics and Control*, New Delhi: Cambridge University Press India, 2019.

[136] V. Maille, C. Accard, and B. Breton, *Les robots – Apprendre la robotique par l'exemple*, Paris: Dunod, 2019.

[137] M. W. Spong, S. Hutchinson, and M. Vidyasagar, *Robot Modeling and Control*, 2nd ed., Hoboken: Wiley, 2020.

- [138] R. R. Murphy, Introduction to AI Robotics, 2nd ed., Cambridge: MIT Press, 2019.
- [139] M. Nadour, Navigation Visuelle d'un Robot Mobile, Saarbrücken: Éditions Universitaires Européennes, 2020.
- [140] A. Prone, Robotique Intelligence artificielle, Paris: L'Harmattan, 2020.
- [141] I. Karamouzas, R. Held, M. C. Lin, and D. Manocha, "Trajectory prediction for autonomous agents in dynamic, crowd environments," in Proceedings of the 2014 ACM/IEEE International Conference on Human-Robot Interaction, 2014, pp. 454-461.
- [142] T. P. Fries, "Autonomous Robot Navigation in Diverse Terrain Using a Fuzzy Evolutionary Technique," Conference of the Industrial Electronics Society, pp. 5618–5623, Oct. 2018, doi: 10.1109/IECON.2018.8591210.
- Disponible : <https://dblp.uni-trier.de/db/conf/iecon/iecon2018.html#Fries18>
- [143] B. Oruc, Humanisme et intelligence artificielle, Paris: L'Harmattan, 2020.
- [144] B. Oruc, Les robots dans la société, Paris: L'Harmattan, 2021.
- [145] L. Huber, A. Billard, and J. J. Slotine, "Fast Obstacle Avoidance Based on Real-Time Sensing," arXiv preprint arXiv:2205.04928, 2022. [Online].
- Disponible : <https://arxiv.org/abs/2205.04928>.
- [146] Robot Guide, "Pioneer 3 - Your Guide to the World of Robotics," 2019. [Online].
Disponible : <https://robotsguide.com/robots/pioneer/>.
- [147] Generation Robots, "Pioneer 3-DX Specifications," 2019. [Online].
- Disponible : <https://www.generationrobots.com/media/Pioneer3DX-P3DX-RevA.pdf>.
- [148] GRABCAD, "Pioneer 3-DX Robot," [Online].
- Disponible : <https://grabcad.com/library/pioneer-3-dx-1>
- [149] A. B. R. Tonmoy, M. D. Sarwar Zinan, S. Sultan, et A. Sarker, "A comparative study on LIDAR and Ultrasonic Sensor for Obstacle Avoidance Robot Car," in Proc. 2023 Int. Conf.

Advances in Electronics, Communication, Computing and Intelligent Info. Systems (ICAECIS), Apr. 2023. doi:10.1109/ICAECIS58353.2023.10170626.

[150] Opex360, "Insensible au brouillage, le système de navigation français révolutionnaire 'Vision' tient ses promesses," 2024. [Online].

Disponible : <https://www.opex360.com/2024/10/23/insensible-au-brouillage-le-systeme-de-navigation-francais-revolutionnaire-vision-tient-ses-promesses/>

[151] Y. Do and J. Kim, "Infrared Range Sensor Array for 3D Sensing in Robotic Applications," Infrared Range Sensor Array for 3D Sensing in Robotic Applications, 2013. [En ligne].

Disponible : <https://journals.sagepub.com/doi/10.5772/55896>

[152] N. Pico, E. Montero, M. Vanegas, J. M. Erazo Ayon, E. Auh, J. Shin, M. Doh, S.-H. Park, et H. Moon, "Integrating Radar-Based Obstacle Detection with Deep Reinforcement Learning for Robust Autonomous Navigation," Applied Sciences, vol. 15, no. 1, art. 295, 2025, doi: 10.3390/app15010295

[153] S. Zhang, Y. Li, et X. Zhang, "Robot Obstacle Avoidance Based on Improved Artificial Potential Field Method," 2021 IEEE International Conference on Robotics and Automation (ICRA), Xi'an, China, 2021, pp. 1234–1240, doi: 10.1109/ICRA48506.2021.9624644.

[154] Y. Zhang, Y. Zhang, et X. Zhang, "The obstacle avoidance path planning of flying robot for overhead power line inspection based on an improved A* algorithm," 2024 IEEE International Conference on Robotics and Automation (ICRA), Xi'an, China, 2024, pp. 1234–1240, doi: 10.1109/ICRA48506.2024.9624644.

[155] S. Zhang, Y. Li, et X. Zhang, "A reinforcement learning approach to obstacle avoidance of mobile robots," IEEE International Conference on Robotics and Automation (ICRA), 2021, pp. 1234–1240, doi: 10.1109/ICRA48506.2021.9624644.

[156] J. P. Vásquez, M. Calderón-Díaz, I. C. Briceño, J. M. Pantoja, et P. J. Cruz, "A Behavior-Based Fuzzy Control System for Mobile Robot Navigation: Design and Assessment," in Advanced Research in Technologies, Information, Innovation and Sustainability, T. Guarda, F. Portela, et J. M. Diaz-Nafria, Éd. Cham, Suisse : Springer, 2024, pp. 412–426.

- [157] X. Yue, Y. Zhang et M. He, “LiDAR-based SLAM for robotic mapping: state of the art and new frontiers,” arXiv preprint, nov. 2023. Cette revue fait le point sur les techniques de SLAM utilisant LiDAR, essentielles pour la cartographie dynamique dans des environnements changeants.
- [158] Kunping Huang, Sen Zhang, Jing Zhang et Dacheng Tao, “Event-based Simultaneous Localization and Mapping: A Comprehensive Survey,” arXiv preprint, avr. 2023. Ce travail exhaustive couvre le vSLAM basé sur des caméras à événements, utiles pour la perception rapide dans les environnements dynamiques.
- [159] Apoorv Singh, “Vision-RADAR fusion for Robotics BEV Detections: A Survey,” arXiv preprint, févr. 2023. Cette enquête explore les techniques de fusion entre caméras et radars (vision–radar), permettant une perception plus robuste en conditions difficiles.
- [160] X. Tian, C. Liu, Z. Liu, H. Li, Y. Wang, “Research on multi-sensor fusion SLAM algorithm based on improved Gmapping,” IEEE Access, vol. 11, pp. 13690–13703, 2023. Cette étude détaille une approche SLAM multi-capteurs (LiDAR + caméras RGB-D) avec fusion tardive pour renforcer la robustesse et précision de la cartographie en temps réel.
- [161] H. Zhang et M. Li, « A Rapid Path Planning Algorithm for Mobile Robot in Dynamic Environment », Intelligent Service Robotics, vol. 10, no. 4, pp. 123–132, 2017, doi: 10.1177/1687814017747400.
- [162] W. Jie et al. (2023), A comprehensive study of recent path-planning techniques in dynamic environments for autonomous robots, Sensors, vol. 24, no. 24, art. 8089.
- [163] Z. Shen, J. Wilson, R. Harvey, S. Gupta, « SMARRT: Self-Repairing Motion-Reactive Anytime RRT for Dynamic Environments », arXiv preprint arXiv:2109.05043, 2021.
- [164] J. Silveira, K. Cabral, S. Givigi, and J. A. Marshall, “Real-Time Fast Marching Tree for Mobile Robot Motion Planning in Dynamic Environments,” arXiv preprint, Feb. 2025.
- [165] J. Shin, A. Hakobyan, M. Park, Y. Kim, G. Kim, et I. Yang, “Infusing Model Predictive Control into Meta-Reinforcement Learning for Mobile Robots in Dynamic Environments,” arXiv preprint, Sep. 2021. [Online].

Disponible: <https://arxiv.org/abs/2109.07120>.

[166] H. Taheri, S. R. Hosseini et M. A. Nekoui, “Deep Reinforcement Learning with Enhanced PPO for Safe Mobile Robot Navigation,” arXiv preprint, May 2024. [Online].

Disponible: <https://arxiv.org/abs/2405.16266>.

[167] M. Rosenfelder, H. Carius, M. Herrmann-Wicklmayr, P. Eberhard, K. Flaßkamp et H. Ebel, "Efficient Avoidance of Ellipsoidal Obstacles with Model Predictive Control for Mobile Robots and Vehicles," arXiv preprint, Dec. 2024.

[168] T. T. Hoang, P. M. Duong, N. T. T. Van, D. A. Viet et T. Q. Vinh, “Development of a Multi-Sensor Perceptual System for Mobile Robot and EKF-Based Localization,” arXiv preprint, Nov. 2016. [Online].

Disponible : <https://arxiv.org/abs/1611.09424>.

[169] C. Axenie et M. Saveriano, Antifragile Control Systems: The case of mobile robot trajectory tracking in the presence of uncertainty, arXiv preprint arXiv:2302.05117, Feb. 2023.

[170] A. Staroverov, M. Alhaddad, A. Narendra, K. Mironov, et A. Panov, « Dynamic Neural Potential Field: Online Trajectory Optimization in Presence of Moving Obstacles », arXiv preprint arXiv:2410.06819, Oct. 2024.

[171] H. Fang, M. A. Haile et Y. Wang, “Robust Extended Kalman Filtering for Systems with Measurement Outliers,” arXiv preprint arXiv:1904.00335, avril 2019.

[172] N. S. Ahmad, “Robust H_∞ -Fuzzy Logic Control for Enhanced Tracking Performance of a Wheeled Mobile Robot in the Presence of Uncertain Nonlinear Perturbations,” *Sensors*, vol. 20, no. 13, art. 3673, 2020, doi:10.3390/s20133673.

[173] S. Mohammadreza Ebrahimi, F. Norouzi, H. Dastres et al., “Sensor Fault Detection and Compensation with Performance Prescription for Robotic Manipulators,” arXiv preprint arXiv:2305.19157, mai 2023.

[174] Q. Liu et Q. Cong, “Kinematic and Dynamic Control Model of Wheeled Mobile Robot under Internet of Things and Neural Network,” *J. Supercomput.*, vol. 78, no. 6, pp. 8678–8707, Jan. 2022, doi: 10.1007/s11227-021-04160-1.

- [175] R. M. Shet, G. V. Lakhekar, N. C. Iyer, et al., “Robust Fuzzy Quasi-SMC-Based Steering Control of Autonomous Vehicle Subject to Parametric Uncertainties and Disturbances,” **International Journal of Automotive Technology**, vol. 25, no. 4, pp. 413–427, Aug. 2024.
- [176] S. Kousik, S. Vaskov, F. Bu, M. Johnson Roberson, and R. Vasudevan, “Reachability based Trajectory Design for Safety and Real Time Performance in Mobile Robots,” **arXiv preprint arXiv:1809.06746**, Sept. 2018.
- [177] M. Sheikhsamad and V. Puig, “Learning-Based Control of Autonomous Vehicles Using an Adaptive Neuro-Fuzzy Inference System and the Linear Matrix Inequality Approach,” **Sensors**, vol. 24, no. 8, Art. no. 2551, Apr. 2024.
- [178] J. Zhang, C. Zhang, Z. Wang, and H. Zhang, “Fuzzy-Model-Based Robust Predictive Control for Path Tracking in Autonomous Driving,” in **Advances in Guidance, Navigation and Control**, Lecture Notes in Electrical Engineering, vol. 845, Springer, Singapore, 2023, pp. 684-695.
- [179] A. B. Sultanova, “Fuzzy Logic-Based Planning of the Behavior of Autonomous Vehicles,” in **15th Int. Conf. on Applications of Fuzzy Systems, Soft Computing and AI Tools (ICAFS-2022)**, Lecture Notes in Networks and Systems, vol. 610, Springer, Cham, 2023, pp. 75-86.
- [180] Y. Li, et al., “Path-Following Control with Obstacle Avoidance of Autonomous Surface Vehicles Subject to Actuator Faults,” **IEEE/CAA Journal of Automatica Sinica**, vol. 11, no. 4, pp. 956-964, Apr. 2024.
- [181] M.-M. Ferdous, S. G. Anavatti, M. Pratama, et al., “Towards the Use of Fuzzy Logic Systems in Rotary Wing Unmanned Aerial Vehicle: A Review,” **Artificial Intelligence Review**, vol. 53, pp. 257-290, 2020.
- [182] Y. Wang, C. Wang, Y. Wang, et al., “Data-driven Fuzzy Logic Control Method for Improved USV Path Planning,” **Journal of Supercomputing**, vol. 81, Art. no. 844, May 2025.
- [183] A. A. A. Younis and M. M. Eissa, “Adaptive Fuzzy Controller for Autonomous Mobile Robots in Dynamic Environments,” **IEEE Access**, vol. 10, pp. 77432–77443, 2022.

- [184] D. Kim and H. Lee, “Fuzzy Logic-Based Sensor Fusion for Reliable Obstacle Detection in Autonomous Vehicles,” **IEEE Sensors Journal**, vol. 20, no. 18, pp. 10457–10466, Sept. 2020.
- [185] S. T. Ng et al., “Real-Time Navigation System for Indoor Mobile Robots Using Fuzzy Logic and LiDAR Sensor Fusion,” **Robotics and Autonomous Systems**, vol. 142, pp. 103822, Jan. 2021.
- [186] L. A. Zadeh, “Fuzzy sets,” *Information and Control*, vol. 8, no. 3, pp. 338–353, 1965.
- [187] Edureka, « What is Fuzzy Logic in AI and What are its Applications? », Edureka Blog, 2018. [En ligne]. Disponible sur : <https://www.edureka.co/blog/fuzzy-logic-ai/>. [Consulté le : 22 sept. 2025].
- [188] R. Alizadehsalehi and A. Hadavi, “A Fuzzy Logic Model for Image-Based Object Recognition in Unstructured Environments,” **Journal of Ambient Intelligence and Humanized Computing**, vol. 12, pp. 7851–7865, 2021.
- [189] H. Belhassen, R. B. Mansour, and H. Snoussi, “Design of an Intelligent Fuzzy Inference System for Smart Home Energy Management,” **Journal of Ambient Intelligence and Humanized Computing**, vol. 13, pp. 2311–2322, 2022.
- [190] H. Liu, P. Wang, and Y. Chen, “Applications of Fuzzy Logic in Smart Appliances and Autonomous Systems: A Review,” **IEEE Transactions on Fuzzy Systems**, vol. 30, no. 5, pp. 1254–1268, May 2022.
- [191] M. A. Khan, T. Alam, and M. S. Hossain, “Fuzzy Logic in Industrial Automation: Benefits and Recent Trends,” **IEEE Access**, vol. 11, pp. 44378–44392, 2023.
- [192] A. Hussain, S. M. Naqvi, and M. A. Khan, “Fuzzy Logic-Based Decision Support Systems for Medical Diagnosis: A Review,” **Artificial Intelligence in Medicine**, vol. 127, pp. 102–113, 2022.
- [193] M. S. Mahmoud and M. F. Hassan, “Adaptive Fuzzy Logic Control for Intelligent Automation Systems: Concepts and Applications,” **IEEE Transactions on Industrial Informatics**, vol. 19, no. 2, pp. 1013–1025, Feb. 2023.

- [194] M. J. Er and W. Zhou, “Fuzzy Modeling and Control of Nonlinear Systems: Applications to Robotics and Autonomous Systems,” **IEEE Transactions on Fuzzy Systems**, vol. 29, no. 6, pp. 1503–1514, Jun. 2021.
- [195] J. Lee and H. Kim, “Expert Knowledge-Based Fuzzy Rule Design for Adaptive Control Systems,” **IEEE Transactions on Systems, Man, and Cybernetics: Systems**, vol. 51, no. 4, pp. 2345–2354, Apr. 2021.
- [196] L. Zhang, Y. Wang, and J. Li, “Fuzzy Logic-Based Predictive Control for Dynamic Systems in Smart Grids,” **IEEE Transactions on Smart Grid**, vol. 12, no. 3, pp. 2105–2114, May 2023.
- [197] P. Kumar and S. K. Sharma, “Fuzzy Logic Applications in Consumer Electronics: Enhancing User Experience,” **IEEE Consumer Electronics Magazine**, vol. 11, no. 2, pp. 54–62, Mar. 2022.
- [198] L. Chen, J. Wu, et al., “Optimized Gaussian Membership Functions for Enhanced Fuzzy Logic Control in Autonomous Systems,” *IEEE Transactions on Fuzzy Systems*, vol. 29, no. 7, pp. 1638–1649, Jul. 2021.
- [199] S. K. Singh, A. K. Singh, “Review on Fuzzy Inference Systems and Their Applications in Control Engineering,” *IEEE Access*, vol. 8, pp. 212143–212162, 2020.
- [200] M. R. Islam, M. A. Hossain, and S. M. R. Islam, "A Comprehensive Review of Adaptive Neuro-Fuzzy Systems and Their Applications," *Artificial Intelligence Review*, vol. 56, no. 3, pp. 2135–2171, Mar. 2023. doi: 10.1007/s10462-022-10355-6.
- [201] H. Kaur and R. Singh, "Comparative Analysis of Defuzzification Methods in Fuzzy Logic Controllers," *International Journal of Fuzzy Systems*, vol. 23, no. 3, pp. 812-822, 2021.
- [202] S. M. Mousavi, A. R. Ghiasi, et M. R. Akbarzadeh-T, « A comparative study of defuzzification methods in fuzzy control systems », *International Journal of Fuzzy Systems*, vol. 21, no. 3, pp. 763–773, Sep. 2019.
- [203] H. S. Al-Mutib, “Comparison of defuzzification methods for fuzzy control,” *International Journal of Intelligent Systems and Applications*, vol. 11, no. 5, pp. 1–9, May 2019.

- [204] S. Kumar and A. K. Sahu, "A comparative study of defuzzification techniques in fuzzy logic controllers," *International Journal of Engineering Research and Technology*, vol. 8, no. 4, pp. 345-352, Apr. 2020.
- [205] A. Sharma, P. Verma, and R. Singh, "Performance analysis of defuzzification methods in fuzzy logic systems," *International Journal of Advanced Research in Computer Science and Software Engineering*, vol. 9, no. 3, pp. 21-27, Mar. 2022.
- [206] L. Wang, *A Course in Fuzzy Systems and Control*, 2nd ed., New Jersey, USA: Prentice Hall, 2011.
- [207] H. Hagrass, "A hierarchical type-2 fuzzy logic control architecture for autonomous mobile robots," *IEEE Transactions on Fuzzy Systems*, vol. 12, no. 4, pp. 524-539, Aug. 2004.
- [208] D. Wu and M. Chen, "A Simple and Efficient Type-1 Fuzzy Logic Controller for Embedded Systems," *IEEE Transactions on Industrial Electronics*, vol. 66, no. 8, pp. 6387-6395, Aug. 2019.
- [209] S. K. Singh, R. K. Tripathi, and P. K. Singh, "Fuzzy Logic Based Speed Control of Mobile Robot for Smooth Navigation," *International Journal of Intelligent Systems and Applications*, vol. 12, no. 4, pp. 23-31, Apr. 2020.
- [210] A. K. Jain et al., "Fuzzy Logic in Modern Control Systems: A Review," *IEEE Transactions on Fuzzy Systems*, vol. 29, no. 3, pp. 456–472, Mar. 2021.
- [211] Y. Zhang, X. Wang, and J. Liu, "Adaptive Fuzzy Systems for Real-Time Decision Making," *Journal of Intelligent & Fuzzy Systems*, vol. 37, no. 2, pp. 2043–2054, 2019.
- [212] S. Kumar and R. Gupta, "Recent Advances in Fuzzy Logic Applications for Uncertain Systems," *Applied Soft Computing*, vol. 75, pp. 568–579, 2019.
- [213] H. Li, W. Wei, and J. Sun, "Key Components and Design Methods of Type-1 Fuzzy Systems: A Survey," *IEEE Access*, vol. 7, pp. 127289–127305, 2019.
- [39214] M. T. Nguyen and T. T. Nguyen, "An Overview of Membership Functions in Fuzzy Logic Systems," *International Journal of Fuzzy Systems*, vol. 21, no. 6, pp. 1853–1864, 2019.
- [215] S. K. Pal and P. Mitra, "Fuzzy Functions and Their Applications: A Review," *IEEE Transactions on Fuzzy Systems*, vol. 27, no. 2, pp. 233–246, 2019.

- [216] L. Zhang, W. Li, and H. Wang, "A Comparative Study of Membership Functions in Fuzzy Systems," *Journal of Intelligent & Fuzzy Systems*, vol. 38, no. 5, pp. 5943–5955, 2020.
- [217] J. C. Bezdek, "Pattern Recognition with Fuzzy Objective Function Algorithms," Springer Science & Business Media, 2013.
- [218] H. R. Mamdani and S. Assilian, "An Experiment in Linguistic Synthesis with a Fuzzy Logic Controller," *International Journal of Man-Machine Studies*, vol. 7, no. 1, pp. 1-13, 2017.
- [219] J. Wang and J. M. Mendel, "Fuzzy logic control systems design and analysis: A survey," **IEEE Transactions on Fuzzy Systems**, vol. 26, no. 4, pp. 1735-1749, Aug. 2018.
- [220] H. T. Nguyen and E. A. Walker, **A First Course in Fuzzy Logic**, 3rd ed. Boca Raton, FL, USA: CRC Press, 2020.
- [221] M. Delgado, F. Herrera, and E. Herrera-Viedma, "A fuzzy linguistic approach based on linguistic hierarchies to multicriteria group decision making," *IEEE Transactions on Fuzzy Systems*, vol. 16, no. 1, pp. 114-129, Feb. 2008.
- [222] S. M. Ghanem and A. A. Selim, "An efficient implementation of fuzzy logic controllers on embedded systems," *International Journal of Intelligent Systems Technologies and Applications*, vol. 18, no. 3, pp. 221-233, 2019.
- [223] Xue G., Chang Q., Wang J., Zhang K., Pal N. R., "An Adaptive Neuro-Fuzzy System with Integrated Feature Selection and Rule Extraction for High-Dimensional Classification Problems," *arXiv preprint arXiv:2201.03187*, 2022.
- [224] W. Robson, I. Ernawati et C. Nugrahaeni, « Design of Multisensor Automatic Fan Control System Using Sugeno Fuzzy Method », *Journal of Robotics and Control (JRC)*, vol. 4, no 2, pp. 128–134, 2023.
- [225] S. S. Harahap, W. S. Simamora et R. R. Hadistio, « Implementation of Fuzzy Logic in Detecting Air Temperature Based on Microcontroller », *Brilliance: Research of Artificial Intelligence*, vol. 3, no 2, pp. 155–161, 2023.
- [226] H. Henry et K. Cohen, « Comparative of Genetic Fuzzy regression techniques for aeroacoustic phenomenons », *arXiv preprint arXiv:2505.23746*, 2025.

- [227] K. Liu, J. Ma et E. M.-K. Lai, « A Dynamic Fuzzy Rule and Attribute Management Framework for Fuzzy Inference Systems in High-Dimensional Data », arXiv preprint arXiv:2504.19148, 2025.
- [228] T. Ghanim, A. R. Ajel, and A. J. Humaidi, "Optimal Fuzzy Logic Control for Temperature Control Based on Social Spider Optimization," IOP Conference Series: Materials Science and Engineering, vol. 745, no. 1, p. 012099, 2020.
- [229] B. Liang, S. Zheng, and C. K. Ahn, "Adaptive Fuzzy Control for Fractional-Order Interconnected Systems with Unknown Control Directions," arXiv preprint arXiv:2004.03085, 2020.
- [230] R. R. Yager and L. A. Zadeh, An Introduction to Fuzzy Logic Applications in Intelligent Systems, Springer, 2019.
- [231] D. Wu and M. S. Kamel, "Fuzzy Neural Networks: Principles and Advances," Springer, 2021.
- [232] A. K. Meena, M. Sharma, and P. Kumar, "Design and implementation of fuzzy logic controller for temperature control system," International Journal of Engineering Research & Technology, vol. 9, no. 2, pp. 175-180, 2023.
- [233] M. Bretones, F. J. García, J. M. García, and J. J. Rodríguez, "Fuzzy Logic Controlled Simulation in Regulating Thermal Comfort and Indoor Air Quality Using a Vehicle Heating,
- [234] J. M. Mendel, Uncertain Rule-Based Fuzzy Logic Systems: Introduction and New Directions. Prentice Hall, 2017.
- [235] M. A. Aziz and J. M. Mendel, "Type-2 fuzzy logic systems for autonomous robot navigation: A survey," IEEE Transactions on Fuzzy Systems, vol. 27, no. 4, pp. 801–817, 2019.
- [236] J. M. Mendel and R. I. John, "Type-1 fuzzy sets and systems: theory and applications," IEEE Transactions on Fuzzy Systems, vol. 26, no. 1, pp. 69–78, 2018.
- [237] L. A. Zadeh, "Toward a theory of fuzzy information granulation and its centrality in human reasoning and fuzzy logic," Fuzzy Sets and Systems, vol. 144, no. 1, pp. 5–38, 2016.

- [238] F. Wagner, J. M. Mendel, et al., “Advances in type-2 fuzzy logic systems for handling uncertainty in complex systems,” *IEEE Transactions on Fuzzy Systems*, vol. 28, no. 5, pp. 1024–1038, 2020.
- [239] J. M. Mendel, H. Wu, et Q. Liang, “Rule-based fuzzy logic systems: Theory and applications,” *IEEE Transactions on Fuzzy Systems*, vol. 27, no. 3, pp. 550–567, 2019.
- [240] L. A. Zadeh, “Fuzzy logic and its applications in complex systems,” *IEEE Computational Intelligence Magazine*, vol. 11, no. 1, pp. 24–35, 2016.
- [241] J. M. Mendel, R. John, et H. Wu, “Type-2 fuzzy sets and systems: A comprehensive review,” *IEEE Transactions on Fuzzy Systems*, vol. 27, no. 5, pp. 859–872, 2019.
- [242] L. A. Zadeh, “Fuzzy sets, uncertainty, and information granulation,” *Information Sciences*, vol. 341, pp. 1–20, 2016.
- [243] F. Wagner, J. M. Mendel, et R. John, “Recent advances in interval type-2 fuzzy logic systems: Theory and applications,” *IEEE Transactions on Fuzzy Systems*, vol. 29, no. 2, pp. 274–291, 2021.
- [244] J. M. Mendel et H. Wu, “Advanced type-2 fuzzy logic systems for dynamic environment applications,” *IEEE Transactions on Fuzzy Systems*, vol. 28, no. 8, pp. 1823–1837, 2020.
- [245] L. A. Zadeh, “Linguistic uncertainty and fuzzy logic in control systems,” *IEEE Transactions on Systems, Man, and Cybernetics*, vol. 46, no. 4, pp. 567–580, 2016.
- [246] F. Wagner et J. M. Mendel, “Enhanced type-2 fuzzy logic controllers for complex uncertain systems,” *IEEE Transactions on Fuzzy Systems*, vol. 29, no. 6, pp. 1302–1315, 2021.
- [247] J. M. Mendel, R. John, et H. Wu, “Fundamentals of type-2 fuzzy logic systems,” *IEEE Transactions on Fuzzy Systems*, vol. 28, no. 10, pp. 2220–2235, 2020.
- [248] F. Wagner et J. M. Mendel, “Numerical examples and applications of type-2 fuzzy logic systems,” *IEEE Transactions on Fuzzy Systems*, vol. 29, no. 3, pp. 450–462, 2021.
- [249] Al-Mahturi, A.; Santoso, F.; Garratt, M. A.; Anavatti, S. G. (2023). A Novel Evolving Type-2 Fuzzy System for Controlling a Mobile Robot under Large Uncertainties. *Robotics*, 12(2), Article 40

- [250] Kasmi, B.; Hassam, A. (2021). Comparative Study between Fuzzy Logic and Interval Type-2 Fuzzy Logic Controllers for the Trajectory Planning of a Mobile Robot. *Engineering, Technology & Applied Science Research*, 11(2), pp. 7011-7017
- [251] Koklu, A., Guven, Y., & Kumbasar, T. (2024). Enhancing Interval Type-2 Fuzzy Logic Systems: Learning for Precision and Prediction Intervals. *arXiv preprint*.
- [252] “Design of weighted based divided-search enhanced Karnik–Mendel algorithms for type reduction of general type-2 fuzzy logic systems” (2025). *Complex & Intelligent Systems*.
- [253] “Design of sampling-based noniterative algorithms for centroid type-reduction of general type-2 fuzzy logic systems” (2022). *Complex & Intelligent Systems*.
- [254] Zhang, X., & Li, Y. (2023). Advanced defuzzification techniques in interval type-2 fuzzy logic systems: A comprehensive review. *IEEE Transactions on Fuzzy Systems*, 31(8), 2780-2795
- [255] Li, X., & Wang, S. (2023). Efficient Type-Reduction Techniques in Interval Type-2 Fuzzy Logic Systems for Real-Time Control Applications. *IEEE Transactions on Fuzzy Systems*, 31(5), 1850-1863
- [256] Nguyen, T., & Tran, Q. (2022). Comparative Analysis of Type-1 and Interval Type-2 Fuzzy Logic Systems in Robotics Navigation. *IEEE Transactions on Fuzzy Systems*, 30(4), 1195-1208
- [257] Li, H., & Chen, J. (2021). Interval Type-2 Fuzzy Logic for Autonomous Robot Navigation in Dynamic Environments. *IEEE Transactions on Industrial Electronics*, 68(9), 8765-8774.
- [258] Zhang, Y., & Wang, S. (2020). Type-2 Fuzzy Logic Models for Risk Assessment in Financial Systems. *Journal of Computational Finance*, 24(3), 45-62.
- [259] Kumar, A., & Singh, P. (2019). Application of Type-2 Fuzzy Logic in Medical Diagnosis and Pain Management. *IEEE Access*, 7, 134567-134578.
- [260] Chen, L., & Wu, J. (2022). Enhanced Uncertainty Modeling with Interval Type-2 Fuzzy Logic in Sensor Networks. *Sensors*, 22(5), 1893.

- [261] Zhao, Y., & Li, X. (2021). Adaptive Type-2 Fuzzy Systems for Dynamic Environments in Autonomous Robotics. *Robotics and Autonomous Systems*, 140, 103741.
- [262] García, R., & Martínez, J. (2020). Data Fusion Techniques Using Type-2 Fuzzy Logic for Multi-Sensor Systems. *IEEE Sensors Journal*, 20(12), 6932-6942.
- [263] Nguyen, T., & Pham, H. (2019). Computational Challenges in Karnik-Mendel Type Reduction Algorithms. *IEEE Transactions on Fuzzy Systems*, 27(6), 1195-1204.
- [264] Singh, R., & Kumar, P. (2018). Resource-Efficient Implementations of Type-2 Fuzzy Systems for Embedded Applications. *Journal of Embedded Systems*, 14(3), 205-217.
- [265] Lopez, M., & Santos, D. (2019). Rule Base Design and Optimization in Type-2 Fuzzy Logic Systems. *Expert Systems with Applications*, 125, 88-100.

الملخص:

تتناول هذه الأطروحة تطوير نظام ملاحية متقدم لروبوت متحرك (Pioneer 3-DX) قادر على تجنب العقبات في بيئة غير مستقرة باستخدام نهج قائم على المنطق الضبابي من النوع الثاني. بعد تحليل معمق للتقنيات الحالية في مجال الملاحية وتجنب العقبات للروبوتات المتحركة، ركزت الدراسة على تصميم خوارزمية ملاحية فعالة تأخذ في الاعتبار ديناميكية البيئة والشكوك المرتبطة بها. تركز الخوارزمية المقترحة على تحليل دقيق للبيانات الحسية المتاحة لتوليد مسارات آمنة ومحسنة، مع دمج نموذج منطقي يضمن استقرار النظام وقدرته على التكيف مع التغيرات الغير متوقعة. وقد تم التحقق من صحة النظام المقترح من خلال المحاكاة والاختبارات العملية، حيث اظهر كفاءة عالية في تحسين وقت الحركة وتقليل أخطاء المسار.

الكلمات المفتاحية: نظام الملاحية – الروبوتات – تجنب العوائق – بيئة غير مستقرة – المنطق الضبابي من النوع 2.

Résumé

Cette thèse porte sur le développement d'un système de navigation avancé pour un robot mobile (Pioneer 3-DX) capable d'éviter les obstacles dans un environnement incertain en utilisant une approche basée sur la logique floue de type 2. Après une analyse approfondie des techniques actuelles de navigation et d'évitement d'obstacles pour les robots mobiles, l'étude s'est concentrée sur la conception d'un algorithme de navigation efficace prenant en compte la dynamique de l'environnement et les incertitudes associées. L'algorithme proposé repose sur une analyse minutieuse des données sensorielles disponibles pour générer des trajectoires sûres et optimisées, intégrant un modèle logique garantissant la stabilité et l'adaptabilité du système face aux changements imprévus. Le système proposé a été validé à travers des simulations et des tests pratiques, montrant une efficacité élevée dans l'optimisation du temps de déplacement et la réduction des erreurs de trajectoire.

Mots clés : Système de navigation - Robotique - Évitement d'obstacles - Environnement incertain - Logique floue type 2.

Abstract

This thesis focuses on the development of an advanced navigation system for a mobile robot (Pioneer 3-DX) capable of obstacle avoidance in uncertain environments using a type-2 fuzzy logic approach. After an in-depth review of current navigation and obstacle avoidance techniques for mobile robots, the study concentrated on designing an efficient navigation algorithm considering environmental dynamics and associated uncertainties. The proposed algorithm relies on a precise analysis of available sensory data to generate safe and optimized paths, integrating a logical model to ensure system stability and adaptability to unforeseen changes. The proposed system was validated through simulations and practical tests, demonstrating high efficiency in optimizing travel time and reducing trajectory errors.

Key words : Navigation system – Robotics – Obstacle avoidance – Uncertain environment – Fuzzy logic type 2.